



INSTITUȚIA ORGANIZATOARE DE STUDII UNIVERSITARE DE
DOCTORAT UNIVERSITATEA PETROL-GAZE DIN PLOIEȘTI
DOMENIUL FUNDAMENTAL – ȘTIINȚE INGINEREȘTI
DOMENIUL DE DOCTORAT – INGINERIE CHIMICĂ

TEZĂ DE DOCTORAT

Rezumat

Studiu privind sinteza sistemelor fotocatalitice
de tipul materialelor nanocompozite hibride
semiconductoare utilizate pentru diferite
aplicații

Autor: Usman Abubakar Katsina

Conducător științific: Prof. dr. ing. habil. Cursaru Diana-Luciana

Ploiești 2024



INSTITUȚIA ORGANIZATOARE DE STUDII UNIVERSITARE DE DOCTORAT
UNIVERSITATEA PETROL-GAZE DIN PLOIEȘTI
DOMENIU FUNDAMENTAL – ȘTIINȚE INGINEREȘTI
DOMENIU DE DOCTORAT – INGINERIE CHIMICĂ

TEZĂ DE DOCTORAT

Rezumat

Studiu privind sinteza sistemelor fotocatalitice de tipul materialelor nanocompozite hibride semiconductoare utilizate pentru diferite aplicații

The synthesis of photocatalytic systems based on semiconductor hybrid nanocomposite materials for various applications.

Autor: Usman Abubakar Katsina

Conducător științific: Prof.univ.habil.dr.ing. Cursaru Diana-Luciana

Nr. Decizie 508 din 26.06.2024

Comisia de doctorat:

Președinte	Prof. univ. dr. ing. habil. Petrescu Marius Gabriel	de la	Universitatea Petrol-Gaze din Ploiești
Conducător științific	Prof. univ. dr. ing. habil. Cursaru Diana-Luciana	de la	Universitatea Petrol-Gaze din Ploiești
Referent oficial	Conf. univ. dr. chim. Mihai Sonia	de la	Universitatea Petrol-Gaze din Ploiești
Referent oficial	Prof. univ. dr. ing. habil. Orbeci Cristina	de la	Universitatea Națională de Știință și Tehnologie Politehnica București
Referent oficial	Prof. univ. dr. ing. habil. Voicu Ioan Stefan	de la	Universitatea Națională de Știință și Tehnologie Politehnica București

Ploiești 2024

CUPRINS

Pagina titlu	i
Cuprins	iii
Dedicătie	viii
Mulțumiri	ix
Abstract	xi
CAPITOLUL I: INTRODUCERE GENERALĂ	1
1.1 Contextul cercetării	1
1.2 Descrierea contextului studiului	4
1.3 Scopurile și obiectivele tezei	5
1.4 Importanța cercetării	7
1.5 Structura tezei	8
Concluzii	9
Referințe bibliografice	10
CAPITOLUL II: DATE DE LITERATURĂ	14
2.1 Fotocatalizatorul polimeric semiconductor g-C ₃ N ₄	15
2.2 Tehnici de sinteză a structurilor pe bază de g-C ₃ N ₄	15
2.2.1 Precursori și mecanismul de sinteză pentru g-C ₃ N ₄ pur	15
2.2.2 Căi de sinteză pentru materialele g-C ₃ N ₄ nanostructurate	16
2.3 Alte modificări ale g-C ₃ N ₄	17
2.3.1 Doparea și ingineria benzii de valență	18
2.3.2 Nanostructurarea	19
2.3.3 Încărcarea co-catalizator	20
2.3.4 Modificarea suprafeței g-C ₃ N ₄	20
2.3.5 Construcția de heterojoncțiuni compozite	21
2.4 Proiectarea și mecanismele heterojoncțiunilor bazate pe g-C ₃ N ₄	22
2.4.1 Heterojoncțiunea de tip I.....	22
2.4.2 Heterojoncțiunea de tip II	23
2.4.3 Heterojoncțiunea Schottky	24
2.4.4 Heterojoncțiunea izotip sau fațetă	25
2.4.5 Heterojoncțiunea p-n	26
2.4.6 Heterojoncțiunea de tip schema Z	27

2.4.7 Heterojoncțiunea de tip Schema S.....	36
2.5 Unele heterostructuri bazate pe g-C ₃ N ₄ și strategiile lor de sinteză	39
2.5.1 Heterostructuri oxid metalic/g-C ₃ N ₄	39
2.5.2 Heterostructuri de oxizi micști de metale/g-C ₃ N ₄	40
2.5.3 Heterostructuri de sulfuri metalice/g-C ₃ N ₄	41
2.5.4 Heterostructuri organo-metalice (MOF)/g-C ₃ N ₄	41
2.5.5 Heterostructuri g-C ₃ N ₄ / g-C ₃ N ₄ auto-dopate	42
2.6 Aplicații ale compozitelor pe bază de g-C ₃ N ₄ în decontaminarea apei	43
Referințe bibliografice	46
CAPITOLUL III: MATERIALE ȘI STUDIUL EXPERIMENTAL.....	62
3.1 Materiale	62
3.2 Prepararea materialelor polimerice g-C ₃ N ₄	62
3.2.1 Sintiza g-C ₃ N ₄ pur	63
3.2.2 Sintiza g-C ₃ N ₄ dopat cu oxigen	64
3.2.3 Sintiza g-C ₃ N ₄ dopat cu fosfor	64
3.3 Prepararea semiconductorilor cu oxizi metalici binari	65
3.3.1 Sintiza α-Bi ₂ O ₃	65
3.3.2 Sintiza α-Fe ₂ O ₃	65
3.4 Sintiza prin morfologie controlată a oxizilor de BiFeO ₃ cu metale mixte	66
3.4.1 Sintiza hidrotermală fără uree și cu uree a BiFeO ₃	66
3.4.2 Sintiza sol-gel a BiFeO ₃	66
3.5 Fabricarea compozitelor heterostructurate dopate-CN	67
3.5.1 Sintiza compozitelor suportate de OCN și PCN cu oxizi BO și FO	67
3.5.2 Sintiza compozitelor suportate de OCN și PCN cu BFO	67
3.6 Caracterizarea catalizatorilor	68
3.6.1 Spectroscopie în infraroșu cu transformată Fourier (FT-IR)	68
3.6.2 Difracția de raze X (DRX)	68
3.6.3 Analiza de adsorbție fizică. Izoterme de adsorbție-desorbție N ₂	69
3.6.4 Analiza termogravimetrică (TGA)	69
3.6.5 Microscopia electronică de baleaj (SEM) și spectroscopia cu dispersie de energie (EDS)	70
3.6.6 Spectroscopie de reflexie difuză ultraviolet-vizibil (UV-Vis DRS)	70
3.6.7 Studii de Fotoluminiscență (PL)	70
3.7 Degradarea fotocatalitică a RhB	71

3.7.1 Instalația experimentală pentru fotodegradarea poluanților organici	72
3.7.2 Testul de captare a speciilor reactive	73
Concluzii	73
Referințe bibliografice	74
CHAPTER IV: CARACTERIZAREA MATERIALELOR MULTIMODALE.....	78
4.1 Sinteza g-C ₃ N ₄ pur, dopat cu O și P	78
4.1.1 Identificarea grupărilor funcționale	78
4.1.2 Studii cristalografice ale fazelor	79
4.1.3 Investigarea proprietăților texturale	81
4.1.4 Analiza elementară și microstructurală	84
4.1.5 Termoliză și evaluarea stabilității termice	85
4.1.6 Studiul proprietăților optice	86
4.2 Sinteza compozitelor suportate de g-C ₃ N ₄ dopate cu O și P cu Bi ₂ O ₃ și Fe ₂ O ₃	88
4.2.1 Identificarea grupărilor funcționale	88
4.2.2 Studii cristalografice ale fazelor	89
4.2.3 Investigarea proprietăților texturale	91
4.2.4 Analiza elementară și microstructurală	92
4.2.5 Termoliză și evaluarea stabilității termice	95
4.2.6 Determinarea proprietăților optice	96
4.3 Sinteza compozitelor suportate pe g-C ₃ N ₄ dopate cu O și P cu diferiți catalizatori de tipul BiFeO ₃	98
4.3.1 Identificarea grupărilor funcționale	98
4.3.2 Studii cristalografice ale fazelor	99
4.3.3 Investigarea proprietăților texturale	101
4.3.4 Analiza elementară și microstructurală	103
4.3.5 Termoliză și evaluarea stabilității termice	108
4.3.6 Determinarea benzii de valență	109
Referințe bibliografice	112
CAPITOLUL V: TEST DE DEGRADARE FOTOCATALITICĂ.....	116
5.1 Evaluarea eficacității fotocatalizatorilor cu nitrură de carbon dopată cu O și P	116
5.1.1 Testele cu captatori de radicali liberi	118
5.1.2 Mecanismul de fotodegradare	119
5.1.3 Fotostabilitatea CN dopate	121
5.2 Evaluarea performanței fotocatalitice a α-Bi ₂ O ₃ (α-BO), α-Fe ₂ O ₃ (α-FO) pur și a	

compozitelor lor cu compuși OCN și PCN.....	121
5.2.1 Efectul dozării catalizatorului și a concentrației inițiale de RhB	122
5.2.2 Efectul pH-ului	124
5.2.3 Efectul captatorilor de radicali liberi	125
5.2.4 Mecanismul de fotodegradare	125
5.2.5 Test de reciclabilitate	127
5.3 Evaluarea eficacității photocatalitice a diferitelor probe de BiFeO ₃ și a compozitelor acestora cu compuși OCN și PCN.....	130
5.3.1 Efectul dozării catalizatorului asupra eficienței fotodegradării RhB	132
5.3.2 Efectul concentrației inițiale de RhB	133
5.3.3 Efectul pH-ului asupra degradării RhB	134
5.3.4 Efectul captatorilor de radicali liberi	135
5.3.5 Mecanismul de fotodegradare	136
5.3.6 Test de reutilizare	138
Referințe bibliografice	140
CAPITOLUL VI: CONTRIBUȚII PERSONALE, CONCLUZII ȘI DIRECȚII VIITOARE DE CERCETARE	145
6.1 Contribuții personale	145
6.2 Concluzii	146
6.3 Direcții viitoare de cercetare	149
6.4 Realizări personale	150

REZUMAT

Procesul de industrializare și urbanizare accelerată a creat provocări considerabile pentru durabilitatea energetică și conservarea mediului, ducând la căutarea de soluții alternative la nivel global. Fotocataliza are un mare potențial pentru rezolvarea acestei probleme, deoarece poate transforma cu ușurință energia solară în combustibili chimici și poate facilita remedierea mediului prin valorificarea catalizatorilor semiconductori. Eficacitatea fotocatalizei semiconductoare depinde în mare măsură de designul și caracteristicile sale, urmărind să absoarbă lumina întregului spectru solar și să genereze purtători de sarcină activi capabili să conducă reacții fotocatalitice. Nitrura de carbon grafitică polimerică ($g\text{-C}_3\text{N}_4$) a fost considerată un fotocatalizator semiconductor promițător datorită caracteristicilor sale unice, inclusiv flexibilitatea mecanică, mobilitatea ridicată a purtătorului de sarcină și stabilitatea ridicată. Este abundant, ușor de fabricat și a prezentat o eficiență excelentă în fotodegradarea contaminanților nocivi în soluții apoase. Cu toate acestea, viabilitatea comercială a $g\text{-C}_3\text{N}_4$ și a altor semiconductori unici este împiedicată de intervalul lor îngust de absorbție a luminii, recombinarea rapidă a purtătorilor de sarcină, eficiența cuantică slabă și potențialul redox limitat. Se poate spune că cele mai semnificative progrese în prezent se învârt în jurul dopajului nemetalic al nitrurii de carbon (CN) și al creării de fotocatalizatori heterostructurați pe bază de CN care prezintă o eficacitate fotocatalitică și o fotostabilitate exceptionale. Această teză s-a concentrat pe fabricarea și compararea compozitelor heterostructurate de $g\text{-C}_3\text{N}_4$ (CN) dopate cu oxigen și fosfor cu oxizi metalici binari de $\alpha\text{-Bi}_2\text{O}_3$ ($\alpha\text{-BO}$), $\alpha\text{-Fe}_2\text{O}_3$ ($\alpha\text{-FO}$) și perovskit BiFeO_3 (BFO), cu aplicație potențială în degradarea fotocatalitică a colorantului apos de rodamină B (RhB). Structurile CN concepute electronic au fost inițial obținute printr-o polimerizare termică a ureei. Semiconductorul CN pur a fost apoi dopat individual cu atomi de oxigen (O) și fosfor (P) pentru a ajusta caracteristicile originale ale CN, formând OCN și PCN. CN dopat cu O a fost sintetizat folosind 5, 10, 20 și 30% gr. apă oxigenată (H_2O_2) ca precursor bogat în O, obținându-se OCN-1, OCN-2, OCN-3 și respectiv, OCN-4. Dopajul cu P al semiconductorilor CN a fost realizat fie prin policondensarea într-o singură etapă a amestecului de uree și hipofosfit de sodiu monohidrat ($\text{NaPO}_2\text{H}_2\text{H}_2\text{O}$) pentru a obține PCN, fie prin polimerizarea termică a amestecului de CN pur și $\text{NaPO}_2\text{H}_2\text{H}_2\text{O}$ pentru a obține PCNE. În fiecare amestec s-a utilizat 10 și 15% gr. din precursorul $\text{NaPO}_2\text{H}_2\text{H}_2\text{O}$, obținându-se PCN-1, PCNE-1, PCN-2 și, respectiv PCNE-2. Fiecare dintre $\alpha\text{-BO}$, $\alpha\text{-FO}$ și BFO a fost sintetizat hidrotermal și a format un compozit heterostructurat cu materialele OCN și PCN printr-o cale chimică simplă

în prezență de metanol. Efectul morfologiei BFO asupra arhitecturii structurale și a activității fotocatalitice a compositelor au fost, de asemenea, evaluate prin sintetizarea BFO folosind metoda hidrotermală asistată de uree (U-BFO) și metoda sol-gel (SG-BFO). Au fost utilizate diferite tehnici de caracterizare analitică pentru a investiga cristalinitatea fazei, compoziția chimică, proprietățile suprafeței și comportamentele opto-electronice ale probelor sintetizate. Analiza probelor a indicat că încorporarea de α -BO, α -FO și BFO, împreună cu doparea cu oxigen și fosfor, a îmbunătățit semnificativ structura porilor, a lărgit intervalul de absorbție a luminii vizibile și a îmbunătățit eficiența separării purtătorilor de sarcină în nitrură de carbon pură. Aceste efecte sinergice au oferit mai mulți centri activi pentru adsorbția de O_2 și H^+ , au promovat generarea de electroni și au inhibat recombinarea e/h⁺, sporind astfel activitatea de fotodegradare. Impactul dopajului a fost elucidat în degradarea fotocatalitică a RhB, prezentând eficiențe de 88,5% și 95,6% pentru OCN-1 și respectiv, PCNE-2. Interacțiunile sinergice dintre α -BO, α -FO și BFO cu CN dopat cu O și P au îmbunătățit și mai mult eficacitatea fotocatalitică a catalizatorilor, componetele suportate de PCN demonstrând o eficacitate fotocatalitică superioară comparativ cu componetele pe bază de OCN, în ciuda faptului că acestea din urmă au o suprafață relativ mai mare. Acest lucru sugerează că eficiența fotodegradării a fost afectată de factori care se extind dincolo de simplele proprietăți de adsorbție ale catalizatorilor. Posibili parametri care contribuie la performanța îmbunătățită a compositelor pe bază de PCN au fost descoperiți prin investigațiile UV-VIS și PL, arătând o separare îmbunătățită a sarcinii, proprietăți electronice mai favorabile și o absorbție îmbunătățită a luminii, facilitând fotoreacții mai eficiente. În plus, mediul chimic furnizat de dopajul cu fosfor ar putea crea interacțiuni benefice care conduc la o activitate catalitică mai mare. Cea mai bună eficiență de degradare de 99,2% a fost prezentată de heterostructurile cu schema Z U-BFO/PCN în 20 de minute de iradiere cu lumină vizibilă, cu o cinetică de degradare remarcabilă de ordinul pseudo-întâi de $0,253\text{ min}^{-1}$. S-a demonstrat că radicalii superoxid ($\bullet O_2^-$) și radicalii hidroxil ($\bullet OH$) joacă un rol major în îndepărțarea RhB folosind heterojoncțiunile U-BFO/OCN, U-BFO/PCN, α -BO/PCN și α -FO/PCN printr-un mecanism de transfer de tip schema Z. Astfel, se ajunge la concluzia că sistemele de heterojoncțiune cu schema Z nemetalice bazate pe g-C₃N₄ depășesc semnificativ alte materiale semiconductoare în degradarea RhB.

Această teză intitulată “**Studiu privind sinteza sistemelor fotocatalitice de tipul materialelor nanocompozite hibride semiconductoare utilizate pentru diferite aplicații**”, este structurată în şase capitole după cum urmează:

Capitolul I

Primul capitol, "Introducere generală" acoperă informații generale despre fotocataliză heterogenă a semiconductoarelor și aplicarea acesteia în soluțiile de protecție a mediului și de energie durabilă. De asemenea, cuprinde enunțul problemei cercetării, scopurile, obiectivele și semnificația cercetării. Capitolul I a trecut în revistă problemele majore provocate de industrializarea și urbanizarea globală, care necesită luarea în considerare imediată și promptă cu privire la sustenabilitatea energetică și a mediului. De asemenea, a subliniat faptul că semnificația cercetării transcende investigațiile academice și oferă un impact pozitiv în domeniile științei materialelor și ingineriei durabile. În plus, oferă soluții durabile și strategii pentru înțelegerea fotocatalizatorilor avansați sintetizați pentru tratarea apelor uzate, în paralel cu imperativul global de a asigura calitatea apei și a practicilor durabile în fața intensificării provocărilor legate de mediu.

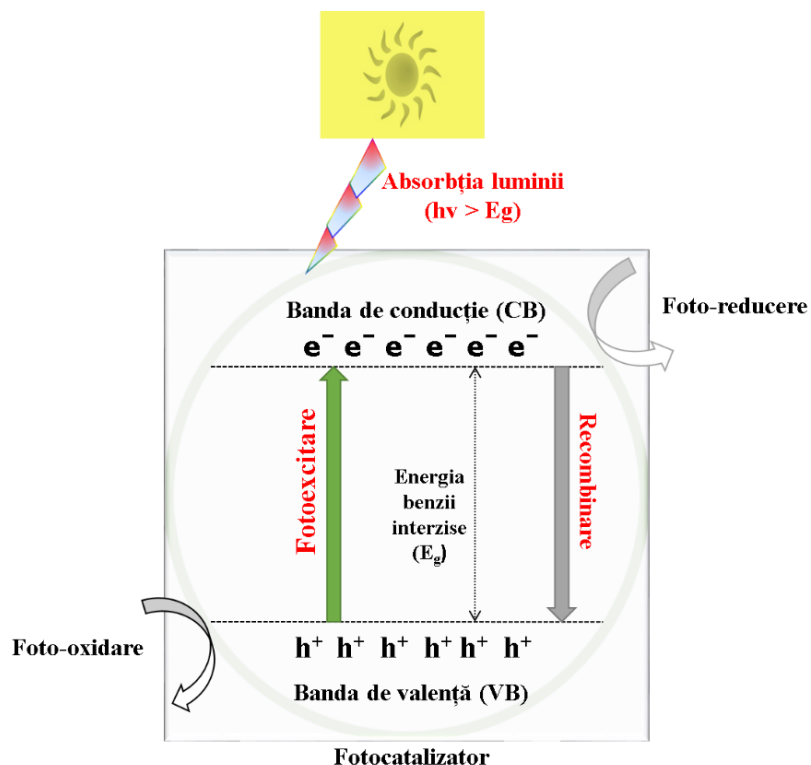


Figura 1: Ilustrare schematică a mecanismului general pentru sistemul fotocatalitic.

Capitolul II

Al doilea capitol, „**Date de literatură**” prezintă și trece în revistă ultimele cercetări privind materialele pe bază de g-C₃N₄ în aplicații fotocatalitice, subliniind degradarea poluanților și succesele remarcabile în modificarea și formarea heterojoncțiunilor acestora.

Sinteza g-C₃N₄ implică precursori bogăți în azot precum ureea și melamina, rezultând structuri stabile bazate pe tri-s-triazină în condiții controlate. Tehnici precum termoliza la temperaturi înalte și metodele cu template ajustează proprietățile morfologice și optice ale g-C₃N₄, esențiale pentru îmbunătățirea eficienței sale fotocatalitice. În plus, doparea elementală și moleculară ajustează banda interzisă a g-C₃N₄, extinzând capacitatele de absorbție a luminii și îmbunătățind separarea sarcinilor. Nanotehnologia joacă un rol crucial în optimizarea caracteristicilor de suprafață și transportul purtătorilor de sarcină ale g-C₃N₄. Diverse nanostructuri, inclusiv nanoparticule și foi nano, amplifică activitatea sa fotocatalitică prin maximizarea suprafeței și integrității structurale. Încărcarea cu cocatalizatori îmbunătășește și mai mult eficiența prin îmbunătățirea separării electron-gol și a chimiei interfeteelor. Integrarea g-C₃N₄ în sisteme de heterojoncțiuni reprezintă un avans semnificativ, abordând limitările inerente și îmbunătățind performanța generală. Tipuri de heterojoncțiuni precum Tip-I, Tip-II, joncțiuni Schottky, izotip, anisotip și configurații de tip Z-scheme îmbunătășesc eficiența separării sarcinilor prin aliniamente de bandă optimizate și inginerie interfacială. Aceste sisteme demonstrează activități fotocatalitice superioare în diverse aplicații, cum ar fi descompunerea apei și degradarea poluanților. În plus, capitolul explorează diverse heterostructuri bazate pe g-C₃N₄, inclusiv oxizi metalici, oxizi metalici mixți, sulfuri metalice, cadre metal-organice (MOF) și sisteme g-C₃N₄ auto-infuzate. Fiecare tip de heterostructură valorifică proprietăți unice pentru a obține eficiențe fotocatalitice ridicate, exemplificate prin performanțele lor în degradarea poluanților organici și facilitarea producției de hidrogen. Următoarele figuri reprezintă diferitele tipuri de heterojoncțiuni de tip Z-scheme.

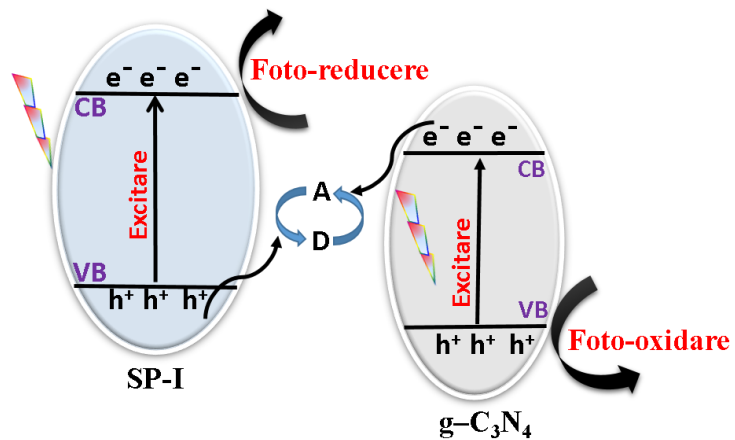


Figura 2: Ilustrare schematică a heterojonctiunii tradiționale cu schema Z pentru $\text{g-C}_3\text{N}_4$.

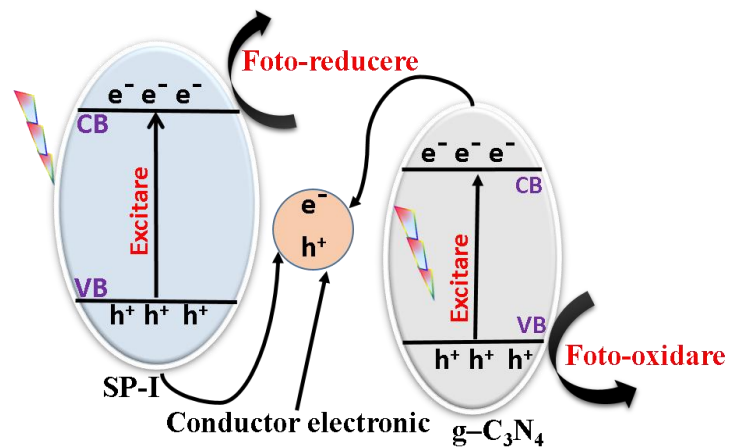


Figura 3: Ilustrare schematică a heterojonctiunii cu schema Z în stare solidă bazată pe $\text{g-C}_3\text{N}_4$.

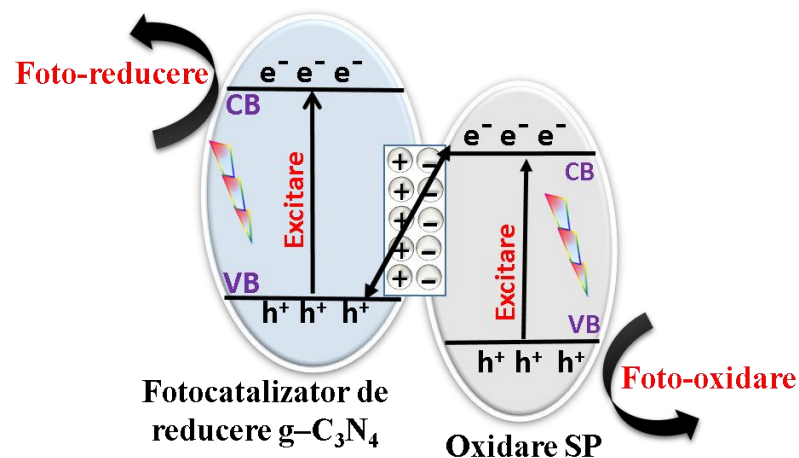


Figura 4: Ilustrare schematică a heterojonctiunii cu schema Z directă $\text{g-C}_3\text{N}_4$

Capitolul III

Al treilea capitol, „**Materiale și studiu experimental**” prezintă materialele, reactivii și echipamentele utilizate în această cercetare, precum și toate metodele de preparare și caracterizare, precum și experimentele de fotodegradare ale materialelor sintetizate. Capitolul III se concentrează pe materialele, metodologiile și tehniciile de caracterizare utilizate în acest studiu, descriind toate metodele de sinteză conturate pentru fiecare catalizator (materialele pure și heterojonctiuni). Secțiunea de caracterizare analitică a materialelor prezintă câteva detalii referitoare la tehniciile și echipamentele utilizate, inclusiv microscopia electronică de baleaj, spectroscopie cu dispersie de energie, spectroscopie în infraroșu cu transformată Fourier, difracție de raze X, spectroscopie de reflexie difuză ultraviolet-vizibil, fizisorbție, analiza termogravimetrică și analiza termogravimetrică derivată. Capitolul se încheie cu o descriere a configurației programului experimental și a procedurii de fotodegradare a Rodaminei B.

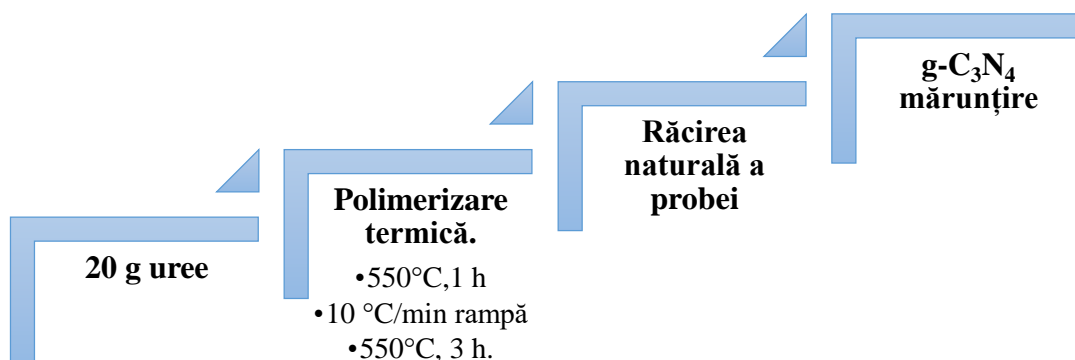


Figura 5: Diagrama folosită pentru sinteza g-C₃N₄ polimeric

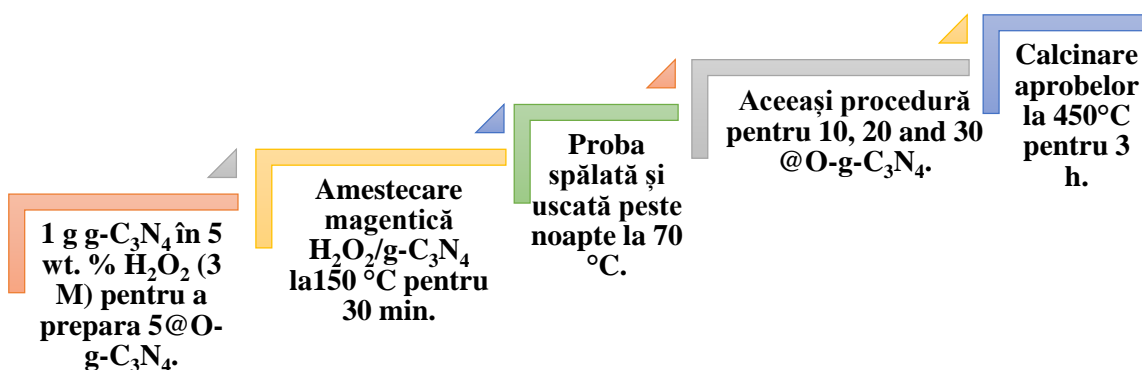


Figura 6: Diagrama sintezei g-C₃N₄ polimeric dopat cu oxigen

Capitolul IV

Al patrulea capitol, „**Caracterizarea materialelor multimodale**” prezintă și discută arhitectura structurală, compoziția chimică, caracteristicile suprafeței și proprietățile optoelectronice ale materialelor pure și compozite în trei secțiuni. Prima secțiune elucidează efectele dopajului, în timp ce a doua și a treia examinează construcția sistemelor de heterojoncțiune suportate pe g-C₃N₄ dopat cu catalizatori oxidici de Bi-Fe. Caracterizarea exhaustivă a furnizat informații valoroase cu privire la structura componitelor, morfologia și proprietățile optice. Spectroscopia în infraroșu cu transformata Fourier (FT-IR) a furnizat informații despre structura chimică și grupările funcționale, indicând modificările suprafeței și posibilele interacțiuni. Difracția de raze X (DRX) a furnizat informații despre compozițiile fazelor, confirmând prezența fazelor cristaline pure în componzite. Studiul de adsorbție fizică a completat informațiile privind suprafața, distribuția, dimensiunile porilor și porozitatea sistemelor compozite și heterojoncțiilor sintetizate, care au fost esențiale pentru adsorbția și proprietățile lor catalitice. Microscopia electronică de baleaj (SEM) și spectroscopia EDS au permis vizualizarea morfologică și cartografierea elementară a probelor. Analiza termogravimetrică (TGA) și Termogravimetria derivată (DTG) au oferit informații privind stabilitatea termică a probelor. Analiza UV-Vis a permis caracterizarea proprietăților optice, cum ar fi energia benzii interzise și absorbția, care sunt vitale pentru activitățile fotocatalitice și fotovoltaice. Studiile de fotoluminescență (PL) au analizat recombinarea purtătorului de sarcină foto-excitat, oferind informații valoroase despre durata de viață și eficiența purtătorului de sarcină. Aceste tehnici au oferit perspective asupra proprietăților care guvernează performanța superioară a degradării RhB a anumitor heterojoncțiuni și de ce sistemele heterojonctionale excelează în comparație cu catalizatorul de bază. Infuzia de oxigen și fosfor a îmbunătățit catalizatorii g-C₃N₄, demonstrat prin analize de fizisorbție cu N₂, cu O-g-C₃N₄ prezentând o suprafață BET superioară și P-g-C₃N₄ având comportamente optoelectronice îmbunătățite. **Tabelul 1** prezintă suprafețele BET, dimensiunile porilor BJH și volumele porilor pentru toți catalizatorii. Compozitele U-BFO/PCN demonstrează prezența macroporilor la 61 nm în plus față de mezopori la 4 nm. **Tabelul 2** prezintă dimensiunile cristalitelor pentru probele pure și compozite.

Tabelul 1: Suprafața BET, diametrul mediu al porilor BJH și volumul porilor pentru probele de BFO și compozitelor dopate pe suport de CN

Catalizator	Aria suprafetei BET (cm² g⁻¹)	Distribuția mărimii porilor BJH	
		Diametru mediu al porilor (nm)	Volum total de pori (cm³ g⁻¹)
OCN	59,506	3,943	0,607
PCN	46,557	34,497	0,383
BFO/OCN	47,712	3,943	0,281
BFO/PCN	47,246	2,661	0,365
U-BFO/OCN	85,765	3,940	0,611
U-BFO/PCN	57,188	61,844	0,645
SG-BFO/OCN	41,587	3,936	0,331
SG-BFO/PCN	39,862	3,933	0,260
BFO	15,615	2,127	0,109
U-BFO	6,127	2,659	0,094
SG-BFO	27,584	3,930	0,142

Tabelul 2: Dimensiunile cristalelor pentru probele pure și compozite obținute din valorile FWHM pentru picurile de difracție reprezentative.

Catalizator	Dimensiunea cristalitelor (nm)
BFO	10,64
U-BFO	22,99
SG-BFO	12,26
BFO/OCN	9,72
BFO/PCN	9,94
U-BFO/OCN	18,59
U-BFO/PCN	19,01
SG-BFO/OCN	7,36
SG-BFO/PCN	7,49

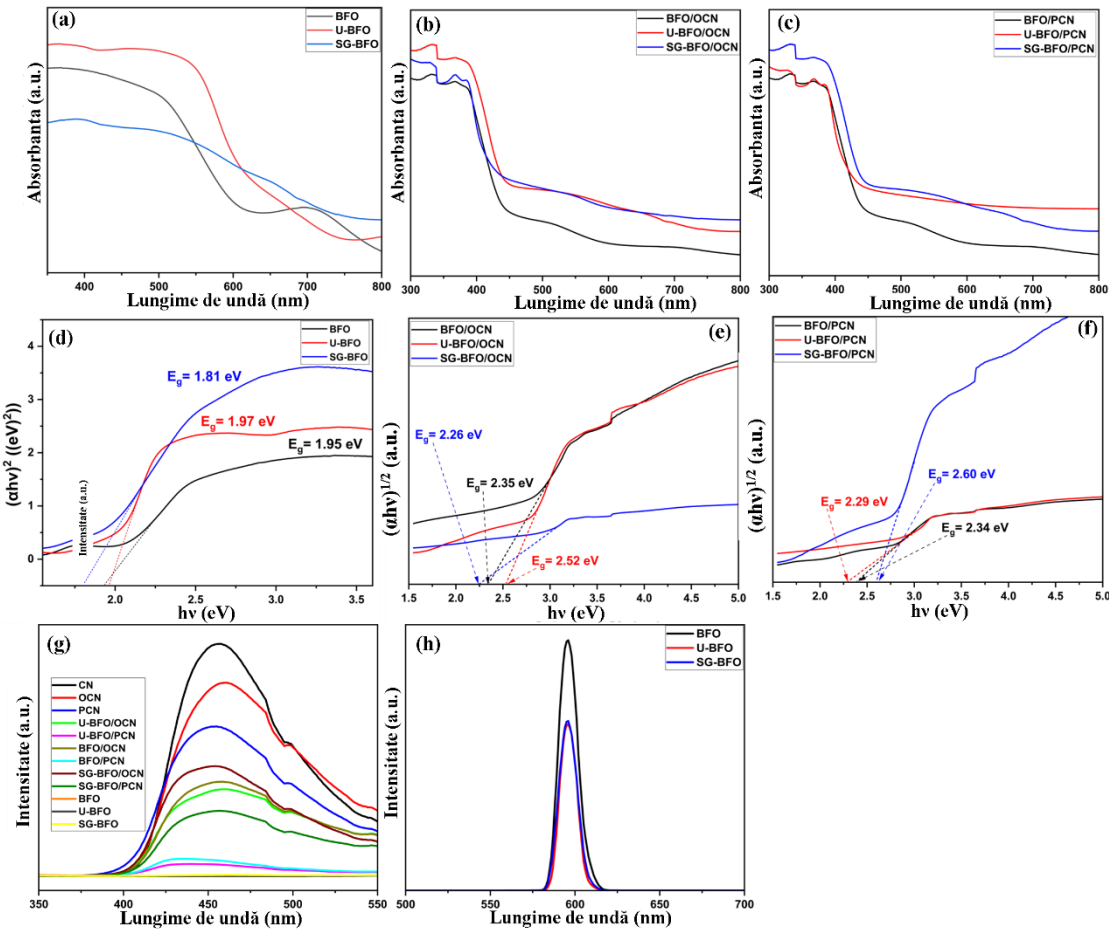


Figura 7: Spectrele de absorbție UV-VIS (a, b și c) și graficele Tauc corespunzătoare (d, e și f) pentru diferite probe de ferită de bismut, compozite dopate cu O și P; Spectrele PL pentru toate probele (g) și cu ferită de bismut (h)

Capitolul V

Al cincilea capitol „**Investigații de degradare fotocatalitică**” evaluează efectele diferitelor condiții experimentale asupra activității fotocatalitice și cineticii fotodegradării, propune mecanisme plauzibile de degradare și elucidează fotostabilitatea și fezabilitatea economică a sistemelor de heterojonctiune. Catalizatorul P-g-C₃N₄ a obținut o eficiență de mineralizare a RhB de 95,6% și o viteză de degradare de 0,0672 min⁻¹ în 30 de minute. Compozitele heterojonctionale cu α-Bi₂O₃ și α-Fe₂O₃ integrate în O-g-C₃N₄ și P-g-C₃N₄ au fost studiate pentru degradarea RhB sub lumină vizibilă, iar P-g- g-C₃N₄ cu α-Bi₂O₃ și α-Fe₂O₃ a arătat caracteristici optoelectronice superioare și o viteză de degradare mai bună decât catalizatorii puri. Configurațiile morfologice diferite ale BiFeO₃ în structurile heterojonctionale au fost, de asemenea, investigate, iar componența BiFeO₃/P-g-C₃N₄ cu formă eliptică a

demonstrat cea mai bună eficiență de degradare a RhB de 99,2% și o constantă a vitezei reacției de $0,253 \text{ min}^{-1}$, urmând un mecanism de transfer al schemei Z cu radicali superoxid ($\cdot\text{O}_2^-$) și ($\cdot\text{OH}^-$) ca specii active principale. Compozitele au menținut o eficiență de 97% după patru cicluri de degradare, demonstrând fotostabilitate și fezabilitate economică impresionantă. Toate sistemele de heterojonctiuni au urmat un mecanism de transfer de tip schemă Z în degradarea RhB, aşa cum este prezentat mai jos. Compozitele heterojonctionale astfel sintetizate au prezentat, de asemenea, o fotostabilitate excelentă.

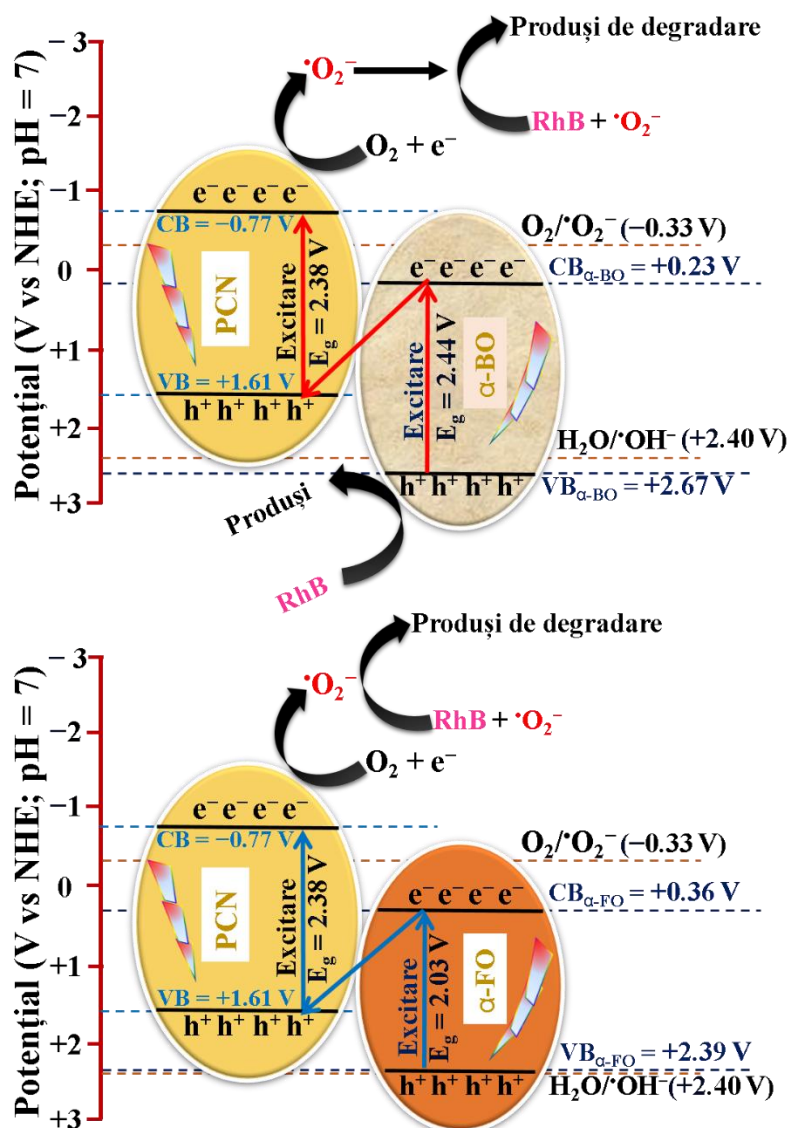


Figura 8: Mecanismul de degradare a RhB pe fotocatalizatori (a) $\alpha\text{-BO}/\text{PCN}$ și (b) $\alpha\text{-FO}/\text{PCN}$.

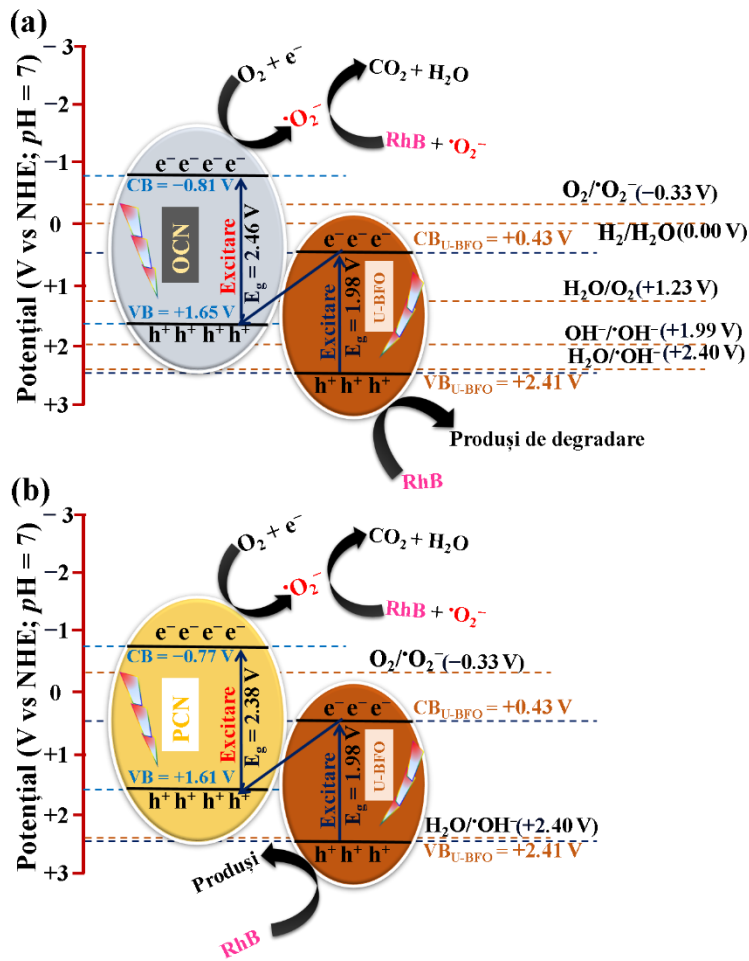


Figura 9: Mecanismul de degradare a RhB pentru fotocatalizatori (a) U-BFO/OCN și (b) U-BFO/PCN.

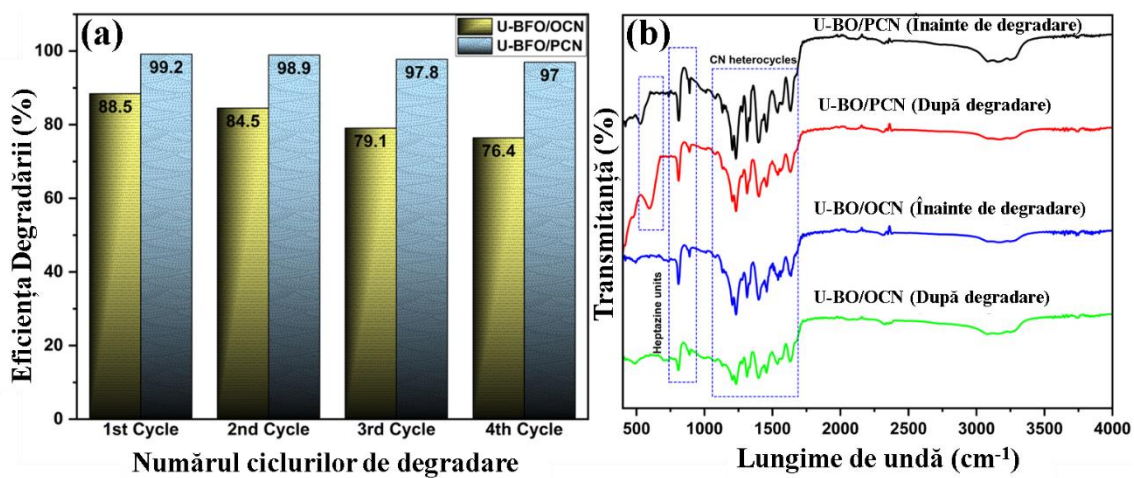


Figura 10: Test de reciclabilitate pentru fotocatalizatorii U-BFO/OCN și U-BFO/PCN.

Tabelul 3 prezintă diferite compozite suportate pe g-C₃N₄ cu mai mulți oxizi metalici amestecați pentru comparație cu compozitele de heterojonctiune U-BFO/OCN și U-BFO/PCN.

Tabelul 3. Comparația unor fotocatalizatori de oxid de metal mixt pe suport de g-C₃N₄ pentru fotodegradarea coloranților în medii apoase

Catalizator (cantitate)	Condiții	Eficiență (%) – constanta de viteză	Referințe
BaTiO ₃ /g-C ₃ N ₄ (25 mg)	50 mL (Albastru de metil, 10 mg/L) – Iradiere solară	91 %	(Kappadan și colab., 2021)
CaTiO ₃ /g-C ₃ N ₄ (4 mg)	10 mL (Albastru de metil, 5 mg/L) – Lampă cu Tungsten 40 W	78 % - 0,046 min ⁻¹	(Foroughipour și Nezamzadeh-Ejhieh, 2023)
CoMoO ₄ @g-C ₃ N ₄ (10 mg)	50 mL (RhB, 20 mg/L) – Iradiere UV 300 W Xe	92 %	(Rabani și colab., 2021)
ZnFe ₂ O ₄ /g-C ₃ N ₄ (0.5 g)	150 mL (RhB, 150 mg/L) – Lumină vizibilă 500 W Xe	98 % - 0,1955 min ⁻¹	(Renukadevi și Priscilla Jeyakumari, 2020)
BiFeO ₃ /g-C ₃ N ₄ (50 mg)	50 mL (Roșu Alzerid S) – Lumină vizibilă 300 W Xe	52 %	(Zaman și colab., 2023)
MgAl ₂ O ₄ /g-C ₃ N ₄ (0.9 g)	100 mL (Roșu de metil 195, 60 ppm) – Lumină UV-vis 300 W Xe	100 % - 0,0663 min ⁻¹	(Zehtab Salmasi și colab., 2022)
CoFe ₂ O ₄ /g-C ₃ N ₄ (100 mg)	100 mL (Metilorange, 10 ⁻⁵ M) – Lumină Vis 300 W Xe	98 %	(Ismael și Wark, 2022)
LaFeO ₃ /g-C ₃ N ₄ (20 mg)	50 mL (Reactiv negru 19, 60 mg/L) – Lumină Vis 1000 W	97 % - 0,0239 min ⁻¹	(Hu și colab., 2023)
U-BFO/OCN (30 mg)	50 mL (RhB, 10 mg/L) – Lumină Vis 300 W Xe	88.5 % - 0,096 min ⁻²	Această teză
U-BFO/PCN (30 mg)	50 mL (RhB, 10 mg/L) – Lumină Vis 300 W Xe	99.2 % - 0,253 min ⁻¹	Această teză

Capitolul VI

Al șaselea capitol „**Contribuții personale, concluzii și cercetări viitoare**” evidențiază contribuțiile majore ale cercetării, oferă concluzii importante care reflectă obiectivele tezei și încapsulează direcțiile potențiale pentru investigațiile viitoare.

În cadrul acestui studiu, au fost realizate contribuții semnificative prin sinteza de semiconductori g-C₃N₄ mono-dopați cu oxigen (O) și fosfor (P) în proporții diferite și evaluarea performanțelor lor de fotodegradare sub lumină vizibilă. Infuzia de oxigen și fosfor a îmbunătățit considerabil proprietățile catalizatorilor g-C₃N₄. Compozitele heterojonctionale integrate cu α-Bi₂O₃ și α-Fe₂O₃ în O-g-C₃N₄ și P-g-C₃N₄ au fost investigate, demonstrând caracteristici optoelectronice superioare și eficiență de degradare îmbunătățită. De asemenea, a fost studiat impactul configurațiilor morfologice diferite ale BiFeO₃ asupra structurii și activității photocatalitice a compositelor. Compozitul BiFeO₃/P-g-C₃N₄ cu formă eliptică a demonstrat o eficiență remarcabilă de degradare a RhB, urmând un mecanism de transfer al schemei Z cu radicali superoxid și hidroxil ca specii active principale. Compozitele au menținut o fotostabilitate și fezabilitate economică impresionantă după patru cicluri de degradare.

În concluzie, pe lângă contribuția la progresul fabricării materialelor compozite, cercetarea stabilește un fundal ferm pentru dezvoltarea materialelor photocatalitice avansate capabile să abordeze provocările presante de mediu cu eficiență și precizie sporite. Mergând mai departe, perspectivele obținute din această teză de doctorat deschid calea pentru modele compozite mai avansate și pentru dezvoltarea de materiale ingenioase adaptate pentru aplicații specifice foto-induse, inclusiv remedierea mediului și conversia energiei.

Sistemele heterojonctionale de tip Z-scheme bazate pe O și P-mono-dopat-g-C₃N₄ cu diferenții photocatalizatori de tip oxid metalic au îmbunătățit semnificativ eficiența de degradare a RhB sub lumină vizibilă, dar există încă un potențial semnificativ pentru investigații suplimentare. Se recomandă sinteza de sisteme ternare de heterojonctione g-C₃N₄ dopate cu P, utilizând catalizatori precum α-Bi₂O₃ și α-Fe₂O₃, α-Bi₂O₃ și BiFeO₃, sau α-Fe₂O₃ și BiFeO₃. Co-doparea O/P a g-C₃N₄ poate modifica structurile electronice, iar compozitele co-dopate ar trebui evaluate în diverse aplicații photocatalitice. Cercetările viitoare ar trebui să investigheze performanța acestor compozite sub lumină vizibilă, testându-le în descompunerea apei pentru producția de H₂, reducerea CO₂ și sinteza organică. În plus, compozitele bazate pe P-g-C₃N₄ cu perovskiți precum CaTiO₃, LaFeO₃ și BaZrO₃ și oxiziilor lor bimetalici trebuie sintetizate și comparate cu performanța compositelor pe bază de BiFeO₃.

Referințe bibliografice

- Abdelgawad, A., Salah, B., Lu, Q., Abdullah, A. M., Chitt, M., Ghanem, A., Al-Hajri, R. S., și Eid, K. (2023). Template-free synthesis of M/g-C₃N₄ (M = Cu, Mn, and Fe) porous one-dimensional nanostructures for green hydrogen production. *Journal of Electroanalytical Chemistry*, 938, 117426. <https://doi.org/10.1016/j.jelechem.2023.117426>
- Abdelkareem, M. A., Qaisar, A., Sayed, E., Shehata, N., Parambath, J., Alami, A. H., și Olabi, A. (2024). Recent advances on metal-organic frameworks (MOFs) and their applications in energy conversion devices: Technical review. *Energy*, 131127. <https://doi.org/10.1016/j.energy.2024.131127>
- Abega, A. V., Marchal, C., Dziurla, M., Dantio, N. C. B., și Robert, D. (2023). Easy three steps gC₃N₄ exfoliation for excellent photocatalytic activity – An in-depth comparison with conventional approaches. *Materials Chemistry and Physics*, 304, 127803. <https://doi.org/10.1016/j.matchemphys.2023.127803>
- Abid, H. R., Rada, Z. H., Duan, X., Sun, H., & Wang, S. (2018). Enhanced CO₂ Adsorption and Selectivity of CO₂/N₂ on Amino-MIL-53(Al) Synthesized by Polar Co-solvents. *ENERGY & FUELS*, 32(4), 4502–4510. <https://doi.org/10.1021/ACS.ENERGYFUELS.7B03240>
- Aboubakr, A. E. A., El Rouby, W. M., Khan, M. D., Revaprasadu, N., și Millet, P. (2021). Effect of morphology and non-metal doping (P and S) on the activity of graphitic carbon nitride toward photoelectrochemical water oxidation. *Solar Energy Materials and Solar Cells*, 232, 111326. <https://doi.org/10.1016/j.solmat.2021.111326>
- Ahmad, I. (2020). Comparative study of metal (Al, Mg, Ni, Cu and Ag) doped ZnO/g-C₃N₄ composites: Efficient photocatalysts for the degradation of organic pollutants. *Separation and Purification Technology*, 251, 117372. <https://doi.org/10.1016/j.seppur.2020.117372>
- Ahmaruzzaman, M., și Mishra, S. R. (2021). Photocatalytic performance of g-C₃N₄ based nanocomposites for effective degradation/removal of dyes from water and wastewater. *Materials Research Bulletin*, 143, 111417. <https://doi.org/10.1016/j.materresbull.2021.111417>
- Ajiboye, T. O., Imade, E. E., Oyewo, O. A., și Onwudiwe, D. C. (2022). Silver functionalized gC₃N₄: Photocatalytic potency for chromium(VI) reduction, and evaluation of the antioxidant and antimicrobial properties. *Journal of Photochemistry and Photobiology A: Chemistry*, 432, 114107. <https://doi.org/10.1016/j.jphotochem.2022.114107>
- Alaghmandfar, A., și Ghandi, K. (2021). A Comprehensive Review of Graphitic Carbon Nitride (g-C₃N₄)–Metal Oxide-Based Nanocomposites: Potential for Photocatalysis and Sensing. *Nanomaterials*, 12(2), 294. <https://doi.org/10.3390/nano12020294>
- Ali, F. D., Ammar, S. H., Rashed, M. K., Jabbar, Z. H., și Hadi, H. J. (2024). Boosting visible-light-promoted photodegradation of norfloxacin by S-doped g-C₃N₄ grafted by NiS as robust photocatalytic heterojunctions. *Journal of Molecular Structure*, 1312, 138611. <https://doi.org/10.1016/j.molstruc.2024.138611>
- Alikhanov, N. M., Rabadanov, M. K., și Orudzhev, F. F. (2021). Size-dependent structural parameters, optical, and magnetic properties of facile synthesized pure-phase BiFeO₃. *J Mater Sci: Mater Electron*, 32, 13323–13335. [https://doi.org/https://doi.org/10.1007/s10854-021-05911-9](https://doi.org/10.1007/s10854-021-05911-9)
- Al-Kahtani, A. A. (2017). Photocatalytic Degradation of Rhodamine B Dye in Wastewater Using Gelatin/CuS/PVA Nanocomposites under Solar Light Irradiation. *Journal of Biomaterials and Nanobiotechnology*, 08(1), 66–82. <https://doi.org/10.4236/JBNB.2017.81005>
- Alsulmi, A., Mohammed, N. N., Hassan, M. M., Eltawil, M. A., Amin, A., Fahmy, M., Sultan, A., și Ahmed, M. (2024). Rational engineering of S-scheme CeO₂/g-C₃N₄ heterojunctions for effective photocatalytic destruction of rhodamine B dye under natural solar radiations. *Colloids and Surfaces A: Physicochemical and Engineering Aspects*, 689, 133683. <https://doi.org/10.1016/j.colsurfa.2024.133683>
- Ameta, R., Solanki, M. S., Benjamin, S., și Ameta, S. C. (2017). Photocatalysis. Advanced Oxidation Processes for Waste Water Treatment, 135–175. <https://doi.org/10.1016/B978-0-12-810499-6.00006-1>
- Amir-Al Zumahi, S., Arobi, N., Mahbubur Rahman, M., Kamal Hossain, M., Ara Jahan Rozy, M., Bashar, M., Amri, A., Kabir, H., Abul Hossain, M., & Ahmed, F. (2021). Understanding the optical behaviours and the power conversion efficiency of novel organic dye and nanostructured TiO₂ based integrated DSSCs. *Solar Energy*, 225, 129–147. <https://doi.org/10.1016/j.solener.2021.07.024>
- Anum, A., Ibrahim, S. M., Tahir, A. A., Nazir, M. A., Malik, M., Shah, S. S. A., Ehsan, A., Wattoo, M. A., și Rehman, A. U. (2023). Construction of hybrid sulfur-doped MOF-235@g-C₃N₄ photocatalyst for the efficient removal of nicotine. *Inorganic Chemistry Communications*, 157, 111268. <https://doi.org/10.1016/j.inoche.2023.111268>
- Ao, Z., Li, H., Zou, Y., Lao, Y., Wan, Y., și Li, P. (2024). PEO coupling with NiO/C₃N₄ heterojunction facilitates lithium salts dissociation and polysulfides conversion for all-solid-state lithium-sulfur battery. *Acta Materialia*, 270, 119880. <https://doi.org/10.1016/j.actamat.2024.119880>

- Arif, N., Ma, Y., Iqbal, M. A., Zafar, M. N., Liang, H., Zhang, Q., și Zeng, Y. (2023). Enhanced charge separation in dual Z-scheme Au decorated LaFeO₃-g-C₃N₄-BiFeO₃ system for efficient H₂ production. *Fuel*, 336, 126832. <https://doi.org/10.1016/j.fuel.2022.126832>
- Asadzadeh-Khaneghah, S., Habibi-Yangjeh, A., & Nakata, K. (2019). Decoration of carbon dots over hydrogen peroxide treated graphitic carbon nitride: Exceptional photocatalytic performance in removal of different contaminants under visible light. *Journal of Photochemistry and Photobiology A: Chemistry*, 374, 161-172. <https://doi.org/10.1016/j.jphotochem.2019.02.002>
- Azami, M., Jalil, A., Nawawi, W., Mamat, C., și Izzudin, N. (2021). Silver deposited on graphitic carbon nitride prepared under microwave irradiation for photodegradation of 2-chlorophenol. *Materials Today: Proceedings*, 66, 4068-4072. <https://doi.org/10.1016/j.matpr.2022.06.193>
- Azhar, U., Bashir, M. S., Babar, M., Arif, M., Hassan, A., Riaz, A., Mujahid, R., Sagir, M., Suri, S. U. K., Show, P. L., Chang, J., Khoo, K. S., și Mubashir, M. (2022). Template-based textural modifications of polymeric graphitic carbon nitrides towards waste water treatment. *Chemosphere*, 302, 134792. <https://doi.org/10.1016/j.chemosphere.2022.134792>
- Bahrani, S., Khafri, H., și Ghaedi, M. (2020). New materials for water-splitting. *Interface Science and Technology*, 32, 791-870. <https://doi.org/10.1016/B978-0-12-818806-4.00007-3>
- Bai, L., Huang, H., Yu, S., Zhang, D., Huang, H., și Zhang, Y. (2021). Role of transition metal oxides in g-C₃N₄-based heterojunctions for photocatalysis and supercapacitors. *Journal of Energy Chemistry*, 64, 214-235. <https://doi.org/10.1016/j.jecchem.2021.04.057>
- Bai, Y., Xu, S., Chen, J., Sun, X., Zhao, S., Chang, J., și He, Z. (2023). Ti₃C₂@g-C₃N₄/TiO₂ Ternary Heterogeneous Photocatalyst for Promoted Photocatalytic Degradation Activities. *Coatings*, 13(3), 655. <https://doi.org/10.3390/coatings13030655>
- Bai, Y., Ye, L., Wang, L., Shi, X., Wang, P., Bai, W., și Wong, P. K. (2016). G-C₃N₄/Bi₄O₅I₂ heterojunction with I₃-I⁻ redox mediator for enhanced photocatalytic CO₂ conversion. *Applied Catalysis B: Environmental*, 194, 98-104. <https://doi.org/10.1016/j.apcatb.2016.04.052>
- Bampos, G., Petala, A., și Frontistis, Z. (2024). Innovative Catalytic Materials for Environmental Remediation and Energy Applications. *Catalysts*, 14(2), 102. <https://doi.org/10.3390/catal14020102>
- Bard, A. J. (1978). Photoelectrochemistry and heterogeneous photo-catalysis at semiconductors. *Journal of Photochemistry*, 10(1), 59-75. [https://doi.org/10.1016/0047-2670\(79\)80037-4](https://doi.org/10.1016/0047-2670(79)80037-4)
- Bavani, T., Madhavan, J., și Preeyanghaa, M.. (2023). Construction of direct Z-scheme g-C₃N₄/Bi₂WO₆ heterojunction photocatalyst with enhanced visible light activity towards the degradation of methylene blue. *Environ Sci Pollut Res*, 30, 10179-10190. <https://doi.org/https://doi.org/10.1007/s11356-022-22756-9>
- Bellamkonda, S., Chakma, C., Guru, S., Neppolian, B., și Rao, G. R. (2022). Rational design of plasmonic Ag@CoFe₂O₄/g-C₃N₄ p-n heterojunction photocatalysts for efficient overall water splitting. *International Journal of Hydrogen Energy*, 47(43), 18708-18724. <https://doi.org/10.1016/j.ijhydene.2022.04.059>
- Belousov, A. S., Parkhacheva, A. A., Shotina, V. A., Titaev, D. N., Suleimanov, E. V., și Shafiq, I. (2024). Engineering a staggered type-II Bi₂WO₆/WO₃ heterojunction with improved photocatalytic activity in wastewater treatment. *Chemosphere*, 359, 142316. <https://doi.org/10.1016/j.chemosphere.2024.142316>
- Bera, K. K., Majumdar, R., Chakraborty, M., și Bhattacharya, S. K. (2018). Phase control synthesis of α , β and α/β Bi₂O₃ hetero-junction with enhanced and synergistic photocatalytic activity on degradation of toxic dye, Rhodamine-B under natural sunlight. *Journal of Hazardous Materials*, 352, 182-191. <https://doi.org/10.1016/j.jhazmat.2018.03.029>
- Berekute, A. K., Yu, K., Chuang, Y. B., și Lin, K. A. (2023). Novel visible-light-active P-g-CN-based α -Bi₂O₃/WO₃ ternary photocatalysts with a dual Z-scheme heterostructure for the efficient decomposition of refractory ultraviolet filters and environmental hormones: Benzophenones. *Environmental Research*, 234, 116553. <https://doi.org/10.1016/j.envres.2023.116553>
- Bhavnase, B. A., și Pawade, V. B. (2017). Advanced Nanomaterials for Green Energy: Current Status and Future Perspectives. *Nanomaterials for Green Energy*, 457-472. <https://doi.org/10.1016/B978-0-12-813731-4.00015-1>
- Bi, Q., Gao, Y., Wang, Z., Dang, C., Zhang, Z., Wang, L., și Xue, J. (2020). Preparation of a direct Z-scheme thin-film electrode based on CdS QD-sensitized BiOI/WO₃ and its photoelectrocatalytic performance. *Colloids and Surfaces A: Physicochemical and Engineering Aspects*, 599, 124849. <https://doi.org/10.1016/j.colsurfa.2020.124849>
- Bi, R., Liu, J., Zhou, C., Shen, Y., Liu, Z., și Wang, Z. (2023). In situ synthesis of g-C₃N₄/TiO₂ heterojunction by a concentrated absorption process for efficient photocatalytic degradation of tetracycline hydrochloride. *Environ Sci Pollut Res Int* 30(19), 55044–55056. <https://doi.org/10.1007/s11356-023-26265-1>

- Bi, Z., Guo, R., Ji, X., Hu, X., Wang, J., Chen, X., și Pan, W. (2022). Direct Z-scheme CoS/g-C₃N₄ heterojunction with NiS co-catalyst for efficient photocatalytic hydrogen generation. International Journal of Hydrogen Energy, 47(81), 34430-34443. <https://doi.org/10.1016/j.ijhydene.2022.08.028>
- Blahovec, J., și Yanniotis, S. (2009). Modified classification of sorption isotherms. Journal of Food Engineering, 91(1), 72-77. <https://doi.org/10.1016/j.jfoodeng.2008.08.007>
- Bouzaida, I., Ferronato, C., Chovelon, J., Rammah, M., și Herrmann, J. (2004). Heterogeneous photocatalytic degradation of the anthraquinonic dye, Acid Blue 25 (AB25): A kinetic approach. Journal of Photochemistry and Photobiology A: Chemistry, 168(1-2), 23-30. <https://doi.org/10.1016/j.jphotochem.2004.05.008>
- Bresolin, B., Sgarbossa, P., și Bahnemann, D. W. (2021). Synthesis of metal-free functionalized g-C₃N₄ nanosheets for enhanced photocatalytic activity. Journal of Environmental Chemical Engineering, 9(6), 106389. <https://doi.org/10.1016/j.jece.2021.106389>
- Buu, T. T., Cong, C. Q., Quan, V. M., Ngoc, B. K., Nam, N. T. H., Thao, L. T. P., Tam, D. H. M., Han, L. G., și Hieu, N. H. (2023). Construction of Z-scheme heterojunction TiO₂-ZnO@Oxygen-doped gC₃N₄ composite for enhancing H₂O₂ photoproduction and removal of pharmaceutical pollutants under visible light. Surfaces and Interfaces, 43, 103516. <https://doi.org/10.1016/j.surfin.2023.103516>
- Cao, D., Xiao, H., Xu, H., Cui, J., Gao, Q., și Pei, H. (2015). Enhancing the photocatalytic activity of GaN by electrochemical etching. Materials Research Bulletin, 70, 881-886. <https://doi.org/10.1016/j.materresbull.2015.06.025>
- Cao, L., Qiao, S., Li, X., și Li, Q. (2023). Synthesis and photocatalytic performance of g-C₃N₄/MeTMC-COP composite photocatalyst. Frontiers in Chemistry, 11, 1138789. <https://doi.org/10.3389/fchem.2023.1138789>
- Celebi, N., Arlı, F., Soysal, F., și Salimi, K. (2021). Z-scheme ZnO@PDA/CeO₂ heterojunctions using polydopamine as electron transfer layer for enhanced photoelectrochemical H₂ generation. Materials Today Energy, 21, 100765. <https://doi.org/10.1016/j.mtener.2021.100765>
- Chankhaniththa, T., Watcharakitti, J., Piyavarakorn, V., Johnson, B., Bushby, R. J., Chuaicham, C., Sasaki, K., Nijpanich, S., Nakajima, H., Chanlek, N., și Nanan, S. (2023). ZnO/ZnS photocatalyst from thermal treatment of ZnS: Influence of calcination temperature on development of heterojunction structure and photocatalytic performance. Journal of Physics and Chemistry of Solids, 179, 111393. <https://doi.org/10.1016/j.jpcs.2023.111393>
- Chauhan, A., & Chauhan, P. (2014). Powder XRD Technique and its Applications in Science and Technology. J Anal Bioanal Tech., 5, 212. <https://doi.org/10.4172/2155-9872.1000212>
- Chen, C. C., și Fan, T.. (2017). Study on carbon quantum dots/BiFeO₃ heterostructures and their enhanced photocatalytic activities under visible light irradiation. J Mater Sci: Mater Electron, 28, 10019–10027. <https://doi.org/https://doi.org/10.1007/s10854-017-6760-6>
- Chen, L., Maigbay, M. A., Li, M., și Qiu, X. (2024). Synthesis and modification strategies of g-C₃N₄ nanosheets for photocatalytic applications. Advanced Powder Materials, 3(1), 100150. <https://doi.org/10.1016/j.apmate.2023.100150>
- Chen, Y., Yang, B., Xie, W., Zhao, X., Wang, Z., Su, X., și Yang, C. (2021). Combined soft templating with thermal exfoliation toward synthesis of porous g-C₃N₄ nanosheets for improved photocatalytic hydrogen evolution. Journal of Materials Research and Technology, 13, 301-310. <https://doi.org/10.1016/j.jmrt.2021.04.056>
- Chen, Y., Zhai, B., Liang, Y., Li, Y., și Li, J. (2019). Preparation of CdS/ g-C₃N₄/ MOF composite with enhanced visible-light photocatalytic activity for dye degradation. Journal of Solid State Chemistry, 274, 32-39. <https://doi.org/10.1016/j.jssc.2019.01.038>
- Chen, Y., Zhang, J., Zhang, M., și Wang, X. (2013). Molecular and textural engineering of conjugated carbon nitride catalysts for selective oxidation of alcohols with visible light. Chemical Science 4(8), 3244. <https://doi.org/10.1039/c3sc51203g>
- Chen, Z., Gao, Y., Chen, F., și Shi, H. (2021). Metallic NiSe cocatalyst decorated g-C₃N₄ with enhanced photocatalytic activity. Chemical Engineering Journal, 413, 127474. <https://doi.org/10.1016/j.cej.2020.127474>
- Chen, Z., Zhang, S., Liu, Y., Alharbi, N. S., Rabah, S. O., Wang, S., & Wang, X. (2020). Synthesis and fabrication of g-C₃N₄-based materials and their application in elimination of pollutants. Science of The Total Environment, 731, 139054. <https://doi.org/10.1016/j.scitotenv.2020.139054>
- Cheng, M., Lv, P., Zhang, X., Xiong, R., Guo, Z., Wang, Z., Zhou, Z., și Zhang, M. (2021). A new active species of Pd-Nx synthesized by hard-template method for efficiently catalytic hydrogenation of nitroarenes. Journal of Catalysis, 399, 182-191. <https://doi.org/10.1016/j.jcat.2021.05.016>
- Cheng, Y., Wu, X., Xu, L., Jiang, Z., Liu, C., Zhang, Q., Zou, Y., Chen, Y., Li, J., și Liu, X. (2021). Magnetically separable and recyclable ternary photocatalyst Mn_xZn_{1-x}Fe₂O₄/BiVO₄/MnO₂ with excellent photocatalytic activity. Vacuum, 187, 110133. <https://doi.org/10.1016/j.vacuum.2021.110133>

- Chidhambaram, N., și Ravichandran, K. (2017). Single step transformation of urea into metal-free g-C₃N₄ nanoflakes for visible light photocatalytic applications. *Materials Letters*, 207, 44-48. <https://doi.org/10.1016/j.matlet.2017.07.040>
- Chowdhury, E. H., Rahman, M. H., Fatema, S., și Islam, M. M. (2021). Investigation of the mechanical properties and fracture mechanisms of graphene/WSe₂ vertical heterostructure: A molecular dynamics study. *Computational Materials Science*, 188, 110231. <https://doi.org/10.1016/j.commatsci.2020.110231>
- Comsup, N., Panpranot, J., & Praserthdam, P. (2010). The effect of phosphorous precursor on the CO oxidation activity of P-modified TiO₂ supported Ag catalysts. *Catalysis Communications*, 11(15), 1238-1243. <https://doi.org/10.1016/j.catcom.2010.06.014>
- Cong, X., Li, A., Guo, F., Qin, H., Zhang, X., Wang, W., și Xu, W. (2024). Construction of CdS@g-C₃N₄ heterojunction photocatalyst for highly efficient degradation of gaseous toluene. *Science of The Total Environment*, 913, 169777. <https://doi.org/10.1016/j.scitotenv.2023.169777>
- Cui, Y., Zhang, X., Guo, R., Zhang, H., Li, B., Xie, M., Cheng, Q., și Cheng, X. (2018). Construction of Bi₂O₃/g-C₃N₄ composite photocatalyst and its enhanced visible light photocatalytic performance and mechanism. *Separation and Purification Technology*, 203, 301-309. <https://doi.org/10.1016/j.seppur.2018.04.061>
- Cui, Z., Wu, H., Bai, K., Chen, X., Li, E., Shen, Y., și Wang, M. (2022). Fabrication of a g-C₃N₄/MoS₂ photocatalyst for enhanced RhB degradation. *Physica E: Low-Dimensional Systems and Nanostructures*, 144, 115361. <https://doi.org/10.1016/j.physe.2022.115361>
- Dahiya, S., Sharma, A., și Chaudhary, S.. (2023). Synthesis of phytoextract-mediated Ag-doped graphitic carbon nitride (Ag@GCN) for photocatalytic degradation of dyes. *Environ Sci Pollut Res*, 30, 25650–25662. <https://doi.org/https://doi.org/10.1007/s11356-023-25359-0>
- Dai, M., He, Z., Zhang, P., Li, X., și Wang, S. (2022). ZnWO₄-ZnIn₂S₄ S-scheme heterojunction for enhanced photocatalytic H₂ evolution. *Journal of Materials Science și Technology*, 122, 231-242. <https://doi.org/10.1016/j.jmst.2022.02.014>
- Dai, S., Xiao, L., Li, Q., Hao, G., Hu, Y., și Jiang, W. (2022). 0D/1D Co₃O₄ quantum dots/surface hydroxylated g-C₃N₄ nanofibers heterojunction with enhanced photocatalytic removal of pharmaceuticals and personal care products. *Separation and Purification Technology*, 297, 121481. <https://doi.org/10.1016/j.seppur.2022.121481>
- Das, B., Devi, M., Deb, S., și Dhar, S. S. (2023). Boosting photocatalytic property of graphitic carbon nitride with metal complex fabrication for efficient degradation of organic pollutants. *Chemosphere*, 323, 138230. <https://doi.org/10.1016/j.chemosphere.2023.138230>
- Deng, F., și Brillas, E. (2023). Advances in the decontamination of wastewaters with synthetic organic dyes by electrochemical Fenton-based processes. *Separation and Purification Technology*, 316, 123764. <https://doi.org/10.1016/j.seppur.2023.123764>
- Deng, H., Wei, R., Luo, W., Hu, L., Li, B., Di, Y., și Shi, H. (2020). Microplastic pollution in water and sediment in a textile industrial area. *Environmental Pollution*, 258, 113658. <https://doi.org/10.1016/j.envpol.2019.113658>
- Deng, Q., Ba, G., Huo, T., Li, H., Wang, G., Yu, F., și Hou, W. (2021). Soft-template synthesis of sp₂-carbon linked polymeric carbon nitride porous nanotubes with enhanced photocatalytic hydrogen evolution. *Applied Surface Science*, 541, 148427. <https://doi.org/10.1016/j.apsusc.2020.148427>
- Denisov, N. M., Chubenko, E. B., & Bondarenko, V. P. (2019). Synthesis of Oxygen-Doped Graphitic Carbon Nitride from Thiourea. *Tech. Phys. Lett.*, 45, 108–110. <https://doi.org/https://doi.org/10.1134/S1063785019020068>
- Di, W., Velu, S. K. P., Lascialfari, A., Liu, C., Pinna, N., Arosio, P., Sakka, Y., & Qin, W.. (2012). Fluorescent and paramagnetic core–shell hybrid nanoparticles for bi-modal magnetic resonance/luminescence imaging. *J. Mater. Chem.*, 22(38), 20641–20648. <https://doi.org/10.1039/C2JM34508K>
- Ding, C., Guo, J., Chen, P., Gan, W., Yin, Z., Qi, S., Zhang, M., și Sun, Z. (2022). All-solid-state Z-scheme In₂S₃/CQDs/TiO₂ heterojunction for highly efficient degradation of ofloxacin. *Applied Surface Science*, 596, 153629. <https://doi.org/10.1016/j.apsusc.2022.153629>
- Ding, F., Yu, H., Liu, W., Zeng, X., Li, S., Chen, L., Li, B., Guo, J., și Wu, C. (2024). Au-Pt heterostructure cocatalysts on g-C₃N₄ for enhanced H₂ evolution from photocatalytic glucose reforming. *Materials și Design*, 238, 112678. <https://doi.org/10.1016/j.matdes.2024.112678>
- Ding, H., Yu, H., și Han, Q. (2021). Transformation of phase and heterojunction type by using HAc-adsorbed Bi(NO₃)₃ as a Bi source. *Journal of Colloid and Interface Science*, 604, 429-440. <https://doi.org/10.1016/j.jcis.2021.07.021>
- Ding, Y., Lin, Z., Deng, J., Liu, Y., Zhang, L., Wang, K., Xu, S., și Cao, S. (2022). Construction of carbon dots modified hollow g-C₃N₄ spheres via in situ calcination of cyanamide and glucose for highly enhanced visible light photocatalytic hydrogen evolution. *International Journal of Hydrogen Energy*, 47(3), 1568-1578. <https://doi.org/10.1016/j.ijhydene.2021.10.108>

- Donadelli, J. A., Carlos, L., Arques, A., și García Einschlag, F. S. (2018). Kinetic and mechanistic analysis of azo dyes decolorization by ZVI-assisted Fenton systems: PH-dependent shift in the contributions of reductive and oxidative transformation pathways. *Applied Catalysis B: Environmental*, 231, 51-61. <https://doi.org/10.1016/j.apcatb.2018.02.057>
- Dong, J., Zhang, Y., Hussain, M. I., Zhou, W., Chen, Y., și Wang, N. (2021). G-C3N4: Properties, Pore Modifications, and Photocatalytic Applications. *Nanomaterials*, 12(1). <https://doi.org/10.3390/nano12010121>
- Du Plessis, A. (2022). Persistent degradation: Global water quality challenges and required actions. *One Earth*, 5(2), 129-131. <https://doi.org/10.1016/j.oneear.2022.01.005>
- Du, J., Li, H., Liu, H., & Chang, H. (2020). A simple and effective capsule sealing technique for hydrothermal experiments. 105(8), 1254–1258. <https://doi.org/https://doi.org/10.2138/am-2020-7230>
- Du, X., Bai, X., Xu, L., Yang, L., și Jin, P. (2020). Visible-light activation of persulfate by TiO₂/g-C3N4 photocatalyst toward efficient degradation of micropollutants. *Chemical Engineering Journal*, 384, 123245. <https://doi.org/10.1016/j.cej.2019.123245>
- Duarte, F., & Costela, A. (2004). LASERS | Dye Lasers. *Encyclopedia of Modern Optics*, 400-414. <https://doi.org/10.1016/B0-12-369395-0/00840-X>
- Ebrahimzadeh, S., Wols, B., Azzellino, A., Kramer, F., și Van der Hoek, J. P. (2022). Removal of organic micropollutants in a drinking water treatment plant by powdered activated carbon followed by rapid sand filtration. *Journal of Water Process Engineering*, 47, 102792. <https://doi.org/10.1016/j.jwpe.2022.102792>
- Ejeta, S. Y., și Imae, T. (2020). Photodegradation of pollutant pesticide by oxidized graphitic carbon nitride catalysts. *Journal of Photochemistry and Photobiology A: Chemistry*, 404, 112955. <https://doi.org/10.1016/j.jphotochem.2020.112955>
- Elavarasan, N., Vignesh, S., Srinivasan, M., Palanisamy, G., Bhuvaneswari, K., Venkatesh, G., Pazhanivel, T., și Ramasamy, P. (2021). Integrating gC3N4 nanosheet with MoS₂ and ZnO-Ag: Remarkably enhanced photocatalytic performance under visible-light irradiation. *Colloid and Interface Science Communications*, 44, 100474. <https://doi.org/10.1016/j.colcom.2021.100474>
- Energy Production and Environmental Remediation. *Catalysts*, 13(7), 1102. <https://doi.org/10.3390/catal13071102>
- Enesca, A., și Andronic, L. (2021). Photocatalytic Activity of S-Scheme Heterostructure for Hydrogen Production and Organic Pollutant Removal: A Mini-Review. *Nanomaterials*, 11(4). <https://doi.org/10.3390/nano11040871>
- Eslami, A., Amini, M. M., Asadi, A., Safari, A. A., & Daglioglu, N. (2020). Photocatalytic degradation of ibuprofen and naproxen in water over NS-TiO₂ coating on polycarbonate: Process modeling and intermediates identification. *Inorganic Chemistry Communications*, 115, 107888. <https://doi.org/10.1016/j.inoche.2020.107888>
- Faisal, M., Jalalah, M., Harraz, F. A., El-Toni, A. M., Khan, A., și Al-Assiri, M. (2020). Au nanoparticles-doped g-C3N4 nanocomposites for enhanced photocatalytic performance under visible light illumination. *Ceramics International*, 46(14), 22090-22101. <https://doi.org/10.1016/j.ceramint.2020.05.250>
- Fan, J., Qin, H., și Jiang, S. (2019). Mn-doped g-C3N4 composite to activate peroxymonosulfate for acetaminophen degradation: The role of superoxide anion and singlet oxygen. *Chemical Engineering Journal*, 359, 723-732. <https://doi.org/10.1016/j.cej.2018.11.165>
- Faraji, M., și Moradi Dehaghi, S. (2020). Pd-doped g-C3N4 decorated by nitrogen-doped carbon quantum dot as a high performance electrocatalyst with superior durability and methanol tolerance for oxygen reduction reaction. *Inorganic Chemistry Communications*, 123, 108328. <https://doi.org/10.1016/j.inoche.2020.108328>
- Fattakhova-Rohlfing, D., Zaleska, A., și Bein, T. (2014). Three-Dimensional Titanium Dioxide Nanomaterials. American Chemical Society, 114(19). <https://doi.org/10.1021/CR500201C>
- Fentie Tadesse, S., Kuo, D., Lakew Kebede, W., și Sisay Wolde, G. (2021). Visible light driven Nd₂O₃/Mo(S,O)_{3-x}·0.34H₂O heterojunction for enhanced photocatalytic degradation of organic pollutants. *Applied Surface Science*, 569, 151091. <https://doi.org/10.1016/j.apsusc.2021.151091>
- Fernandes, E., Drosopoulou, S., Mazierski, P., Miodyńska, M., Gołaszewska, D., Zaleska-Medynska, A., Martins, R. C., și Gomes, J. (2022). Carbon nitride photoactivation evaluation and degradation of a mixture of parabens by ozone assistance. *Journal of Water Process Engineering*, 49, 103018. <https://doi.org/10.1016/j.jwpe.2022.103018>
- Finckh, S., Carmona, E., Borchardt, D., Büttner, O., Krauss, M., Schulze, T., Yang, S., și Brack, W. (2023). Mapping chemical footprints of organic micropollutants in European streams. *Environment International*, 183, 108371. <https://doi.org/10.1016/j.envint.2023.108371>
- Folawewo, A. D., și Bala, M. D. (2022). Carbon-covered alumina-supported ZnO nanocatalysts with enhanced visible light photocatalytic performance for the removal of dyes. *Environmental Technology și Innovation*, 28, 102866. <https://doi.org/10.1016/j.eti.2022.102866>

- Foroughipour, M., și Nezamzadeh-Ejhieh, A. (2023). CaTiO₃/g-C₃N₄ heterojunction-based composite photocatalyst: Part I: Experimental design, kinetics, and scavenging agents' effects in photocatalytic degradation of gemifloxacin. *Chemosphere*, 334, 139019. <https://doi.org/10.1016/j.chemosphere.2023.139019>
- Fruth, V., Popa, M., Berger, D., Ionica, C., și Jitianu, M. (2003). Phases investigation in the antimony doped Bi₂O₃ system. *Journal of the European Ceramic Society*, 24(6), 1295-1299. [https://doi.org/10.1016/S0955-2219\(03\)00506-5](https://doi.org/10.1016/S0955-2219(03)00506-5)
- Fu, F., Lin, L., & Xu, E. (2016). Functional pretreatments of natural raw materials. *Advanced High Strength Natural Fibre Composites in Construction*, 87-114. <https://doi.org/10.1016/B978-0-08-100411-1.00004-2>
- Fu, J., Xu, Q., Low, J., Jiang, C., și Yu, J. (2019). Ultrathin 2D/2D WO₃/g-C₃N₄ step-scheme H₂-production photocatalyst. *Applied Catalysis B: Environmental*, 243, 556-565. <https://doi.org/10.1016/j.apcatb.2018.11.011>
- Fujishima, A., și Honda, K. (1972). Electrochemical Photolysis of Water at a Semiconductor Electrode. *Nature*, 238(5358), 37-38. <https://doi.org/10.1038/238037a0>
- Gadore, V., Mishra, S. R., și Ahmaruzzaman, M. (2024). Enhancing photodegradation of thiamethoxam insecticide using SnS₂/NCL as a photocatalyst: Mechanistic insights and environmental implications. *Chemosphere*, 359, 142343. <https://doi.org/10.1016/j.chemosphere.2024.142343>
- Gao, K., Hou, L., An, X., Huang, D., și Yang, Y. (2023). BiOBr/MXene/gC₃N₄ Z-scheme heterostructure photocatalysts mediated by oxygen vacancies and MXene quantum dots for tetracycline degradation: Process, mechanism and toxicity analysis. *Applied Catalysis B: Environmental*, 323, 122150. <https://doi.org/10.1016/j.apcatb.2022.122150>
- Gao, Y., Song, T., Guo, X., Zhang, Y., și Yang, Y. (2023). Electronic interaction and oxygen vacancy engineering of g-C₃N₄/α-Bi₂O₃ Z-scheme heterojunction for enhanced photocatalytic aerobic oxidative homo-/hetero-coupling of amines to imines in aqueous phase. *Green Carbon*, 1(2), 105-117. <https://doi.org/10.1016/j.greanca.2023.09.004>
- Ghanadzadeh, A., Zanjanchi, M., și Tirbandpay, R. (2002). The role of host environment on the aggregative properties of some ionic dye materials. *Journal of Molecular Structure*, 616(1-3), 167-174. [https://doi.org/10.1016/S0022-2860\(02\)00324-1](https://doi.org/10.1016/S0022-2860(02)00324-1)
- Ghosh, U., și Pal, A. (2020). Defect engineered mesoporous 2D graphitic carbon nitride nanosheet photocatalyst for rhodamine B degradation under LED light illumination. *Journal of Photochemistry and Photobiology A: Chemistry*, 397, 112582. <https://doi.org/10.1016/j.jphotochem.2020.112582>
- Gogoi, D., Shah, A. K., Qureshi, M., Golder, A. K., & Peela, N. R. (2021). Silver grafted graphitic-carbon nitride ternary hetero-junction Ag/gC₃N₄(Urea)-gC₃N₄(Thiourea) with efficient charge transfer for enhanced visible-light photocatalytic green H₂ production. *Applied Surface Science*, 558, 149900. <https://doi.org/10.1016/j.apsusc.2021.149900>
- Golovko, O., Cascone, C., Ahrens, L., Lavonen, E., și Köhler, S. J. (2020). Sorption Characteristics and Removal Efficiency of Organic Micropollutants in Drinking Water Using Granular Activated Carbon (GAC) in Pilot-Scale and Full-Scale Tests. *Water*, 12(7), 2053. <https://doi.org/10.3390/w12072053>
- Goodarzi, N., Khani, E., și Moshfegh, A. Z. (2023). Recent Progress on Semiconductor Heterogeneous Photocatalysts in Clean Energy Production and Environmental Remediation. *Catalysts*, 13(7), 1102. <https://doi.org/10.3390/catal13071102>
- Gou, N., Yang, W., Gao, S., și Li, Q. (2023). Incorporation of ultrathin porous metal-free graphite carbon nitride nanosheets in polyvinyl chloride for efficient photodegradation. *Journal of Hazardous Materials*, 447, 130795. <https://doi.org/10.1016/j.jhazmat.2023.130795>
- Goudarzi, M. D., Khosroshahi, N., Hamlehdar, A., și Safarifard, V. (2023). Construction of S-scheme heterojunction via incorporating g-C₃N₄ into Ce-based MOFs for promotion of charge-transfer in photocatalytic Cr(VI) detoxification. *Journal of Environmental Chemical Engineering*, 11(3), 110169. <https://doi.org/10.1016/j.jece.2023.110169>
- Gu, Q., Feng, C., Liu, C., Rong, J., Zhang, Y., Zheng, X., Li, Z., și Xu, S. (2024). Constructing direct Z-scheme heterojunction of NiCo-LDH coated with g-C₃N₄ for boosting photocatalytic H₂ evolution. *Fuel*, 371, 131982. <https://doi.org/10.1016/j.fuel.2024.131982>
- Gu, Q., Feng, C., Rong, J., Zhang, Y., Zheng, X., Mei, J., Li, Z., și Xu, S. (2024). NiCoP cocatalyst modified g-C₃N₄ as ohmic junction photocatalyst for efficient degradation of tetracycline under visible light. *Environmental Research*, 249, 118358. <https://doi.org/10.1016/j.envres.2024.118358>
- Guan, K., Li, J., Lei, W., Wang, H., Tong, Z., Jia, Q., Zhang, H., și Zhang, S. (2021). Synthesis of sulfur doped g-C₃N₄ with enhanced photocatalytic activity in molten salt. *Journal of Materomics*, 7(5), 1131-1142. <https://doi.org/10.1016/j.jmat.2021.01.008>
- Guo, F., Chen, J., Zhao, J., Chen, Z., Xia, D., Zhan, Z., și Wang, Q. (2020). Z-scheme heterojunction g-C₃N₄@PDA/BiOBr with biomimetic polydopamine as electron transfer mediators for enhanced visible-

- light driven degradation of sulfamethoxazole. *Chemical Engineering Journal*, 386, 124014. <https://doi.org/10.1016/j.cej.2020.124014>
- Guo, F., Guo, F., Shi, W., Shi, W., Wang, H., Han, M., Li, H., Huang, H., Liu, Y., și Kang, Z.. (2017). Facile fabrication of a CoO/g-C₃N₄ p–n heterojunction with enhanced photocatalytic activity and stability for tetracycline degradation under visible light. *RSC Catal. Sci. Technol.*, 7(15), 3325–3331. <https://doi.org/10.1039/C7CY00960G>
- Guo, M., Chen, M., Xu, J., Wang, J., și Wang, L. (2022). Molecular engineering of g-C₃N₄ with spatial charge separation for enhancing photocatalytic performances. *Materials Chemistry Frontiers*, 6(14), 1964–1972. <https://doi.org/10.1039/d2qm00184e>
- Guo, S., Tang, Y., Xie, Y., Tian, C., Feng, Q., Zhou, W., & Jiang, B. (2017). P-doped tubular g-C₃N₄ with surface carbon defects: Universal synthesis and enhanced visible-light photocatalytic hydrogen production. *Applied Catalysis B: Environmental*, 218, 664-671. <https://doi.org/10.1016/j.apcatb.2017.07.022>
- Guo, X., Sun, X., Wang, Z., Zhang, J., Liu, Z., Hu, Y., și Liu, Y. (2023). In-situ growth of Z-Scheme Ag/PPy/BiVO₄ core–shell structure for efficient CO₂ photoreduction into hydrocarbon fuels. *Fuel*, 343, 128004. <https://doi.org/10.1016/j.fuel.2023.128004>
- Guo, Z., Chen, Q., și Zhou, J. (2020). Na₂Fe₂Ti₆O₁₆ as a hybrid co-catalyst on g-C₃N₄ to enhance the photocatalytic hydrogen evolution under visible light illumination. *Applied Surface Science*, 509, 145357. <https://doi.org/10.1016/j.apsusc.2020.145357>
- Gupta, A., Alam, U., și Verma, N. (2024). Efficient spatial charge separation in the Ruddlesden-Popper phase-based S-scheme Fe₂SnO₄-g-C₃N₄ heterojunction for visible light-induced H₂ generation. *International Journal of Hydrogen Energy*, 58, 69-78. <https://doi.org/10.1016/j.ijhydene.2024.01.102>
- Häder, D., Banaszak, A. T., Villafañe, V. E., Narvarte, M. A., González, R. A., și Helbling, E. W. (2020). Anthropogenic pollution of aquatic ecosystems: Emerging problems with global implications. *Science of The Total Environment*, 713, 136586. <https://doi.org/10.1016/j.scitotenv.2020.136586>
- Han, Z., Wang, N., Fan, H., și Ai, S. (2017). Ag nanoparticles loaded on porous graphitic carbon nitride with enhanced photocatalytic activity for degradation of phenol. *Solid State Sciences*, 65, 110-115. <https://doi.org/10.1016/j.solidstatesciences.2017.01.010>
- Hao, P., Chen, Z., Yan, Y., Shi, W., și Guo, F. (2024). Recent advances, application and prospect in g-C₃N₄-based S-scheme heterojunction photocatalysts. *Separation and Purification Technology*, 330, 125302. <https://doi.org/10.1016/j.seppur.2023.125302>
- Harak, C., Mardikar, S., Gulavani, V., Yengantiwar, A., Salve, V., More, P., Pandit, V., și Balgude, S. (2021). Superior photoelectrochemical performance of Fe₂O₃/g-C₃N₄ heterostructure synthesized by chemical precipitation method. *Materials Today: Proceedings*, 53, 134-138. <https://doi.org/10.1016/j.matpr.2021.12.428>
- Hariganesh, S., Vadivel, S., Maruthamani, D., și Rangabhashiyam, S. (2019). Disinfection by-products in drinking water: Detection and treatment methods. *Disinfection By-Products in Drinking Water*, 279-304. <https://doi.org/10.1016/B978-0-08-102977-0.00013-5>
- Hariharan, S., Udayabhaskar, R., Ravindran, T., & Karthikeyan, B.. (2016). *Surfactant assisted control on optical, fluorescence and phonon lifetime in α-Bi₂O₃ microrods*. *Spectrochim Acta A Mol Biomol Spectrosc* 163, 13–9. <https://doi.org/10.1016/j.saa.2016.02.045>
- Hashim Khudhair, Z., Hosseini, M., Ghanbari, M., Mahdi, M. A., Jasim, L. S., și Salavati-Niasari, M. (2023). Sonochemical synthesis and characterization of Mn²⁺Mn³⁺6[SiO₄]O₈ nanostructures and their application as photocatalyst for degradation of water-soluble organic pollutants below simulated sunlight. *Arabian Journal of Chemistry*, 16(10), 105132. <https://doi.org/10.1016/j.arabjc.2023.105132>
- He, K., Xie, J., Li, M., și Li, X. (2018). In situ one-pot fabrication of g-C₃N₄ nanosheets/NiS cocatalyst heterojunction with intimate interfaces for efficient visible light photocatalytic H₂ generation. *Applied Surface Science*, 430, 208-217. <https://doi.org/10.1016/j.apsusc.2017.08.191>
- He, W., Liu, L., Ma, T., Han, H., Zhu, J., Liu, Y., Fang, Z., Yang, Z., și Guo, K. (2022). Controllable morphology CoFe₂O₄/g-C₃N₄ p-n heterojunction photocatalysts with built-in electric field enhance photocatalytic performance. *Applied Catalysis B: Environmental*, 306, 121107. <https://doi.org/10.1016/j.apcatb.2022.121107>
- Hering, J.. (2017). Managing the “Monitoring Imperative” in the Context of SDG Target 6.3 on Water Quality and Wastewater. *Sustainability*, 9(9), 1572. <https://doi.org/10.3390/su9091572>
- Hidayat, R., Wahyuningsih, S., & Fadillah, G. (2022). Highly Visible Light Photodegradation of RhB as Synthetic Organic Dye Pollutant Over TiO₂-Modified Reduced Graphene Oxide. *J Inorg Organomet Polym*, 32, 85–93. <https://doi.org/https://doi.org/10.1007/s10904-021-02102-1>
- Hisada, M., Tomizawa, Y., & Kawase, Y. (2019). Removal kinetics of cationic azo-dye from aqueous solution by poly-γ-glutamic acid biosorbent: Contributions of adsorption and complexation/precipitation to Basic Orange 2 removal. *Journal of Environmental Chemical Engineering*, 7(3), 103157. <https://doi.org/10.1016/j.jece.2019.103157>

- Hmamouchi, S., Yacoubi, A. E., Hezzat, M. E., Sallek, B., și Idrissi, B. C. E. (2024). α -Fe₂O₃/g-C₃N₄ nanocomposite with type II heterojunction for methylene blue photodegradation. *Chemical Physics Impact*, 8, 100577. <https://doi.org/10.1016/j.chphi.2024.100577>
- Hong, Y., Liu, E., Shi, J., Lin, X., Sheng, L., Zhang, M., Wang, L., și Chen, J. (2019). A direct one-step synthesis of ultrathin g-C₃N₄ nanosheets from thiourea for boosting solar photocatalytic H₂ evolution. *International Journal of Hydrogen Energy*, 44(14), 7194-7204. <https://doi.org/10.1016/j.ijhydene.2019.01.274>
- Hu, C., Chen, Q., Wu, S., Wang, J., Zhang, S., și Chen, L. (2024). Coupling harmful algae derived nitrogen and sulfur co-doped carbon nanosheets with CeO₂ to enhance the photocatalytic degradation of isothiazolinone biocide. *Journal of Environmental Management*, 356, 120621. <https://doi.org/10.1016/j.jenvman.2024.120621>
- Hu, C., Chiu, W., Wang, C., și Nguyen, V. (2021). Freeze-dried dicyandiamide-derived g-C₃N₄ as an effective photocatalyst for H₂ generation. *Journal of the Taiwan Institute of Chemical Engineers*, 129, 128-134. <https://doi.org/10.1016/j.jtice.2021.09.032>
- Hu, C., He, J., Liang, J., Lin, T., și Liu, Q. (2023). Heterogeneous photo-Fenton catalyst α -Fe₂O₃@g-C₃N₄@NH₂-MIL-101(Fe) with dual Z-Scheme heterojunction for degradation of tetracycline. *Environmental Research*, 231, 116313. <https://doi.org/10.1016/j.envres.2023.116313>
- Hu, C., Yu, B., Zhu, Z., Zheng, J., Wang, W., și Liu, B. (2023). Construction of novel S-scheme LaFeO₃/g-C₃N₄ composite with efficient photocatalytic capacity for dye degradation and Cr(VI) reduction. *Colloids and Surfaces A: Physicochemical and Engineering Aspects*, 664, 131189. <https://doi.org/10.1016/j.colsurfa.2023.131189>
- Hu, F., Luo, W., Hu, Y., Dai, H., & Peng, X. (2019). Insight into the kinetics and mechanism of visible-light photocatalytic degradation of dyes onto the P doped mesoporous graphitic carbon nitride. *Journal of Alloys and Compounds*, 794, 594-605. <https://doi.org/10.1016/j.jallcom.2019.04.235>
- Hu, X., Hu, J., Peng, Q., Ma, X., Dong, S., și Wang, H. (2020). Construction of 2D all-solid-state Z-scheme g-C₃N₄/BiOI/RGO hybrid structure immobilized on Ni foam for CO₂ reduction and pollutant degradation. *Materials Research Bulletin*, 122, 110682. <https://doi.org/10.1016/j.materresbull.2019.110682>
- Huang, G., Liu, S., Tian, C., și Tao, Y. (2024). Construction of S scheme ZnO/g-C₃N₄ heterojunction for the removal of pyridine from coal chemical wastewater. *Optical Materials*, 150, 115288. <https://doi.org/10.1016/j.optmat.2024.115288>
- Huang, H., Jiang, L., Yang, J., Zhou, S., Yuan, X., Liang, J., Wang, H., Wang, H., Bu, Y., și Li, H. (2023). Synthesis and modification of ultrathin g-C₃N₄ for photocatalytic energy and environmental applications. *Renewable and Sustainable Energy Reviews*, 173, 113110. <https://doi.org/10.1016/j.rser.2022.113110>
- Huang, H., Li, Y., Wang, H., și Jiang, W. (2021). In situ fabrication of ultrathin-g-C₃N₄/AgI heterojunctions with improved catalytic performance for photodegrading rhodamine B solution. *Applied Surface Science*, 538, 148132. <https://doi.org/10.1016/j.apsusc.2020.148132>
- Huang, Z., Song, J., Pan, L., Wang, Z., Zhang, X., Zou, J., Mi, W., Zhang, X., & Wang, L. (2015). Carbon nitride with simultaneous porous network and O-doping for efficient solar-energy-driven hydrogen evolution. *Nano Energy*, 12, 646-656. <https://doi.org/10.1016/j.nanoen.2015.01.043>
- Huang, Z., Sun, Q., Lv, K., Zhang, Z., Li, M., și Li, B. (2015). Effect of contact interface between TiO₂ and g-C₃N₄ on the photoreactivity of g-C₃N₄/TiO₂ photocatalyst: (0 0 1) vs (1 0 1) facets of TiO₂. *Applied Catalysis B: Environmental*, 164, 420-427. <https://doi.org/10.1016/j.apcatb.2014.09.043>
- Huang, Z., Zhang, Q., Ma, X., Chen, B., Fan, T., Zhang, Z., Zhang, S., Dong, Y., Li, J., Chen, Z., și Yi, X. (2023). Construction of 0D/1D CdS/g-C₃N₄ Z-scheme heterojunction for highly selective photocatalytic benzylamine oxidative coupling. *Materials Today Chemistry*, 29, 101475. <https://doi.org/10.1016/j.mtchem.2023.101475>
- Huo, Y., Yang, Y., Dai, K., și Zhang, J. (2019). Construction of 2D/2D porous graphitic C₃N₄/SnS₂ composite as a direct Z-scheme system for efficient visible photocatalytic activity. *Applied Surface Science*, 481, 1260-1269. <https://doi.org/10.1016/j.apsusc.2019.03.221>
- Hussain, M. K., Khalid, N., Tanveer, M., Abbas, A., Ali, F., Hassan, W., Rianna, M., Rahman, S., Hamza, M., și Aslam, M. (2024). Facile fabrication of Z-scheme ZnO/MoO₃ heterojunction as an excellent visible-light responsive photocatalyst for the degradation of rhodamine B and alizarin yellow dyes. *Optical Materials*, 148, 114794. <https://doi.org/10.1016/j.optmat.2023.114794>
- Ibrahim, H. A., Ayomoh, M. K., Bansal, R. C., Gitau, M. N., Yadavalli, V. S., și Naidoo, R. (2023). Sustainability of power generation for developing economies: A systematic review of power sources mix. *Energy Strategy Reviews*, 47, 101085. <https://doi.org/10.1016/j.esr.2023.101085>
- Imbar, A., Vadivel, V. K., și Mamane, H. (2022). Solvothermal Synthesis of g-C₃N₄/TiO₂ Hybrid Photocatalyst with a Broaden Activation Spectrum. *Catalysts*, 13(1), 46. <https://doi.org/10.3390/catal13010046>
- Iqbal, O., Ali, H., Li, N., Al-Sulami, A. I., F Alshammari, K., Abd-Rabbo, H. S., Al-Hadeethi, Y., Din, I. U., Alharthi, A. I., Altamimi, R., Zada, A., Wang, Z., Hayat, A., și Zahid Ansari, M. (2023). A review on the

synthesis, properties, and characterizations of graphitic carbon nitride ($\text{g-C}_3\text{N}_4$) for energy conversion and storage applications. *Materials Today Physics*, 34, 101080. <https://doi.org/10.1016/j.mtphys.2023.101080>

- Iqbal, W., Wang, J., Ahmad, M., Yang, L., Wang, Z., și Qin, C. (2023). High-efficiency of novel hierarchical 3D macroporous $\text{g-C}_3\text{N}_4$ material on solar-driven photocatalytic water-splitting for hydrogen evolution. *International Journal of Hydrogen Energy*, 48(72), 28048-28060. <https://doi.org/10.1016/j.ijhydene.2023.04.007>
- Ismael, M. (2023). Facile synthesis of NiO-loaded $\text{g-C}_3\text{N}_4$ heterojunction photocatalyst for efficient photocatalytic degradation of 4-nitrophenol under visible light irradiation. *Journal of Photochemistry and Photobiology A: Chemistry*, 439, 114576. <https://doi.org/10.1016/j.jphotochem.2023.114576>
- Ismael, M. (2023). One-step ultrasonic-assisted synthesis of Ni-doped $\text{g-C}_3\text{N}_4$ photocatalyst for enhanced photocatalytic hydrogen evolution. *Inorganic Chemistry Communications*, 151, 110607. <https://doi.org/10.1016/j.inoche.2023.110607>
- Ismael, M. (2023). One-step ultrasonic-assisted synthesis of Ni-doped $\text{g-C}_3\text{N}_4$ photocatalyst for enhanced photocatalytic hydrogen evolution. *Inorganic Chemistry Communications*, 151, 110607. <https://doi.org/10.1016/j.inoche.2023.110607>
- Ismael, M., și Wark, M. (2022). Photocatalytic activity of $\text{CoFe}_2\text{O}_4/\text{g-C}_3\text{N}_4$ nanocomposite toward degradation of different organic pollutants and their inactivity toward hydrogen production: The role of the conduction band position. *FlatChem*, 32, 100337. <https://doi.org/10.1016/j.flatc.2022.100337>
- Jabeen, F. M. J., Niveditha, C., și Sindhu, S.. (2015). $\alpha\text{-Bi}_2\text{O}_3$ photoanode in DSSC and study of the electrode–electrolyte interface. *RSC Adv.*, 5(95), 78299–78305. <https://doi.org/10.1039/C5RA12760B>
- Janssens, M. (2005). Fundamental measurement techniques. *Flammability Testing of Materials Used in Construction, Transport and Mining*, 22-62. <https://doi.org/10.1533/9781845691042.22>
- Ji, Z., Dai, W., Zhang, S., Wang, G., Shen, X., Liu, K., Zhu, G., Kong, L., & Zhu, J. (2020). Bismuth oxide/nitrogen-doped carbon dots hollow and porous hierarchitectures for high-performance asymmetric supercapacitors. *Advanced Powder Technology*, 31(2), 632-638. <https://doi.org/10.1016/japt.2019.11.018>
- Jia, D., Chigan, T., Li, X., Li, H., & Yang, P. (2024). Photocatalytic degradation performance for high-entropy oxide $(\text{La}_{0.2}\text{Ce}_{0.2}\text{Gd}_{0.2}\text{Zr}_{0.2}\text{Fe}_{x})\text{O}_2$ enriched with defects. *Journal of Alloys and Compounds*, 982, 173808. <https://doi.org/10.1016/j.jallcom.2024.173808>
- Jia, T., Li, J., Long, F., Fu, F., Zhao, J., Deng, Z., Wang, X., și Zhang, Y. (2017). Ultrathin $\text{g-C}_3\text{N}_4$ Nanosheet-Modified BiOCl Hierarchical Flower-Like Plate Heterostructure with Enhanced Photostability and Photocatalytic Performance. *Crystals*, 7(9), 266. <https://doi.org/10.3390/cryst7090266>
- Jia, Z., Zhang, H., Yu, Y., Chen, Y., Yan, J., Li, X., și Zhang, H. (2020). Trithiocyanuric acid derived $\text{g-C}_3\text{N}_4$ for anchoring the polysulfide in Li–S batteries application. *Journal of Energy Chemistry*, 43, 71-77. <https://doi.org/10.1016/j.jec.2019.06.005>
- Jiang, L., Yuan, X., Zeng, G., Liang, J., Wu, Z., Yu, H., Mo, D., Wang, H., Xiao, Z., și Zhou, C. (2019). Nitrogen self-doped $\text{g-C}_3\text{N}_4$ nanosheets with tunable band structures for enhanced photocatalytic tetracycline degradation. *Journal of Colloid and Interface Science*, 536, 17-29. <https://doi.org/10.1016/j.jcis.2018.10.033>
- Jiang, Y., Liao, J., Chen, H., Zhang, H., Li, J., Wang, X., și Kuang, D. (2020). All-Solid-State Z-Scheme $\alpha\text{-Fe}_2\text{O}_3/\text{Amine-RGO/CsPbBr}_3$ Hybrids for Visible-Light-Driven Photocatalytic CO₂ Reduction. *Chem*, 6(3), 766-780. <https://doi.org/10.1016/j.chempr.2020.01.005>
- Jiang, Y., Lin, Z., Zhang, Y., Yuecheng, L., Liang, D., și Yang, C. (2020). Facile synthesis of porous C-doped C_3N_4 : fast charge separation and enhanced photocatalytic hydrogen evolution. *RSC New J. Chem.* 44(41), 17891–17898. <https://doi.org/10.1039/DONJ04169F>
- Jiao, Z., Tang, Y., Zhao, P., Li, S., Sun, T., Cui, S., și Cheng, L. (2019). Synthesis of Z-scheme $\text{g-C}_3\text{N}_4/\text{PPy/Bi}_2\text{WO}_6$ composite with enhanced visible-light photocatalytic performance. *Materials Research Bulletin*, 113, 241-249. <https://doi.org/10.1016/j.materresbull.2019.02.016>
- Jing, M., Wu, T., Zou, G., Hou, H., și Ji, X. (2020). Nanomaterials for electrochemical energy storage. *Frontiers of Nanoscience*, 18, 421-484. <https://doi.org/10.1016/B978-0-12-820055-1.00012-5>
- Jing, Y., Chen, Z., Ding, E., Yuan, R., Liu, B., Xu, B., și Zhang, P. (2022). High-yield production of $\text{g-C}_3\text{N}_4$ quantum dots as photocatalysts for the degradation of organic pollutants and fluorescent probes for detection of Fe³⁺ ions with live cell application. *Applied Surface Science*, 586, 152812. <https://doi.org/10.1016/j.apsusc.2022.152812>
- Kanagaraj, T., Thiripuranthagan, S., Paskalis, S. M. K., și Abe, H. (2017). Visible light photocatalytic activities of template free porous graphitic carbon nitride— BiOBr composite catalysts towards the mineralization of reactive dyes. *Applied Surface Science*, 426, 1030-1045. <https://doi.org/10.1016/j.apsusc.2017.07.255>
- Kane, A., Chafiq, L., Dalhatou, S., Bonnet, P., Nasr, M., Gaillard, N., Dikdim, J. M. D., Monier, G., Assadi, A., și Zeghioud, H. (2022). $\text{g-C}_3\text{N}_4/\text{TiO}_2$ S-scheme heterojunction photocatalyst with enhanced

- photocatalytic Carbamazepine degradation and mineralization. *Journal of Photochemistry and Photobiology A: Chemistry*, 430, 113971. <https://doi.org/10.1016/j.jphotochem.2022.113971>
- Kappadan, S., Thomas, S., și Kalarikkal, N. (2021). Enhanced photocatalytic performance of BaTiO₃/g-C3N4 heterojunction for the degradation of organic pollutants. *Chemical Physics Letters*, 771, 138513. <https://doi.org/10.1016/j.cplett.2021.138513>
- Karam, S. T., și Abdulrahman, A. F. (2022). Green Synthesis and Characterization of ZnO Nanoparticles by Using Thyme Plant Leaf Extract. *Photonics*, 9(8), 594. <https://doi.org/10.3390/photonics9080594>
- Kashmery, H. A., și El-Hout, S. I. (2022). Bi₂S₃/Bi₂O₃ nanocomposites as effective photocatalysts for photocatalytic degradation of tetracycline under visible-light exposure. *Optical Materials*, 135, 113231. <https://doi.org/10.1016/j.optmat.2022.113231>
- Katsumata, H., Islam Molla, M. A., Islam, J. B., Tateishi, I., Furukawa, M., și Kaneko, S. (2022). Dual Z-scheme heterojunction g-C3N4/Ag₃PO₄/AgBr photocatalyst with enhanced visible-light photocatalytic activity. *Ceramics International*, 48(15), 21898–21905. <https://doi.org/10.1016/j.ceramint.2022.04.176>
- Khan, A. A. P., Sudhaik, A., Raizada, P., Danish, M., Khan, A., Kamal, T., Rahman, M. M., Asiri, A. M., și Singh, P. (2024). Fabrication of direct Z-scheme heterojunction of S doped g-C3N4/Ag/AgI for efficient dye degradation. *Materials Letters*, 357, 135666. <https://doi.org/10.1016/j.matlet.2023.135666>
- Komarala, E. P., Komissarov, I., și Rosen, B. A. (2019). Effect of Fe and Mn Substitution in LaNiO₃ on Exsolution, Activity, and Stability for Methane Dry Reforming. *Catalysts*, 10(1), 27. <https://doi.org/10.3390/catal10010027>
- Kong, D., Fan, H., Yin, D., Zhang, D., Pu, X., Yao, S., și Su, C. (2021). AgFeO₂ Nanoparticle/ZnIn₂S₄ Microsphere p-n Heterojunctions with Hierarchical Nanostructures for Efficient Visible-Light-Driven H₂ Evolution. *ACS Sustainable Chem. Eng.*, 9(7), 2673–2683. <https://doi.org/10.1021/ACSSUSCHEMENG.0C07638>
- Kong, W., Zhang, X., Chang, B., Zhou, Y., Zhang, S., He, G., Yang, B., și Li, J. (2018). Fabrication of B doped g-C3N4/TiO₂ heterojunction for efficient photoelectrochemical water oxidation. *Electrochimica Acta*, 282, 767–774. <https://doi.org/10.1016/j.electacta.2018.06.090>
- Kuila, S. K., Sarkar, R., Kumbhakar, P., Kumbhakar, P., Tiwary, C. S., și Kundu, T. K. (2020). Photocatalytic dye degradation under sunlight irradiation using cerium ion adsorbed two-dimensional graphitic carbon nitride. *Journal of Environmental Chemical Engineering*, 8(4), 103942. <https://doi.org/10.1016/j.jeche.2020.103942>
- Kumar, A., Sharma, S. K., Sharma, G., Naushad, M., și Stadler, F. J. (2020). CeO₂/g-C3N4/V2O₅ ternary nano hetero-structures decorated with CQDs for enhanced photo-reduction capabilities under different light sources: Dual Z-scheme mechanism. *Journal of Alloys and Compounds*, 838, 155692. <https://doi.org/10.1016/j.jallcom.2020.155692>
- Kumar, N., Kumari, M., Ismael, M., Tahir, M., Sharma, R. K., Kumari, K., Koduru, J. R., și Singh, P. (2023). Graphitic carbon nitride (g-C3N4)-assisted materials for the detection and remediation of hazardous gases and VOCs. *Environmental Research*, 231, 116149. <https://doi.org/10.1016/j.envres.2023.116149>
- Kumar, V., Younis, S. A., Vikrant, K., și Kim, K. (2021). Trends in advanced materials for sustainable environmental remediation. *Advanced Materials for Sustainable Environmental Remediation*, 1–29. <https://doi.org/10.1016/B978-0-323-90485-8.00013-8>
- Lan, Y., Li, Z., Li, D., Yan, G., Yang, Z., și Guo, S. (2019). Graphitic carbon nitride synthesized at different temperatures for enhanced visible-light photodegradation of 2-naphthol. *Applied Surface Science*, 467–468, 411–422. <https://doi.org/10.1016/j.apsusc.2018.10.152>
- Lanjwani, M. F., Tuzen, M., Khuhawar, M. Y., & Saleh, T. A. (2023). Trends in photocatalytic degradation of organic dye pollutants using nanoparticles: A review. *Inorganic Chemistry Communications*, 159, 111613. <https://doi.org/10.1016/j.inoche.2023.111613>
- Lee, J., Tan, X. Y., Ng, B., Kong, X. Y., Chai, S., și Tan, L. (2022). Cyano group modified graphitic carbon nitride with K intercalation for sustainable photodegradation of pharmaceutical waste. *Journal of the Taiwan Institute of Chemical Engineers*, 142, 104617. <https://doi.org/10.1016/j.jtice.2022.104617>
- Li, B., Nengzi, L., Guo, R., Cui, Y., Zhang, Y., și Cheng, X. (2020). Novel synthesis of Z-scheme α -Bi₂O₃/g-C3N4 composite photocatalyst and its enhanced visible light photocatalytic performance: Influence of calcination temperature. *Chinese Chemical Letters*, 31(10), 2705–2711. <https://doi.org/10.1016/j.cclet.2020.04.026>
- Li, G., Cai, Y., Wang, X., Zhang, L., Xie, Q., Chen, P., Li, C., Sun, J., Li, T., și Dong, L. (2022). Direct Z-scheme heterojunction rutile-TiO₂/g-C3N4 catalyst constructed by solid grinding method for photocatalysis degradation. *Chemical Physics*, 559, 111558. <https://doi.org/10.1016/j.chemphys.2022.111558>
- Li, G., Huang, J., Wang, N., Huang, J., Zheng, Y., Zhan, G., și Li, Q. (2021). Carbon quantum dots functionalized g-C3N4 nanosheets as enhanced visible-light photocatalysts for water splitting. *Diamond and Related Materials*, 116, 108242. <https://doi.org/10.1016/j.diamond.2021.108242>

- Li, H., Huang, G., Xu, H., Yang, Z., Xu, X., Li, J., Qu, A., și Chen, Y. (2020). Enhancing photodegradation activity of g-C₃N₄ via decorating with S-doped carbon nitride quantum dots by in situ polymerization. *Journal of Solid State Chemistry*, 292, 121705. <https://doi.org/10.1016/j.jssc.2020.121705>
- Li, H., Sun, Y., Cai, B., Gan, S., Han, D., Niu, L., și Wu, T. (2015). Hierarchically Z-scheme photocatalyst of Ag@AgCl decorated on BiVO₄ (0 4 0) with enhancing photoelectrochemical and photocatalytic performance. *Applied Catalysis B: Environmental*, 170-171, 206-214. <https://doi.org/10.1016/j.apcatb.2015.01.043>
- Li, H., Wang, D., Miao, C., Xia, F., Wang, Y., Wang, Y., Liu, C., și Che, G. (2022). G-C₃N₄/BiOI S-scheme heterojunction: A 2D/2D model platform for visible-light-driven photocatalytic CO₂ reduction and pollutant degradation. *Journal of Environmental Chemical Engineering*, 10(4), 108201. <https://doi.org/10.1016/j.jece.2022.108201>
- Li, J., Guan, L., Jiang, L., Xu, M., Li, J., Zuo, J., Tan, C., și Xia, Z.. (2023). Construction of 2D/3D g-C₃N₄/BiOI Photocatalysts with p-n Heterojunction and Their Performance in Photocatalytic Degradation of Amaranth Dye. *ACS Omega*, 9, (1), 361-370. <https://doi.org/10.1021/acsomega.3c05569>
- Li, J., Tao, L., Wang, Y., Yao, Y., și Guo, Q. (2021). Heptazine-Based π-Conjugated Materials for Light-Emitting. *Frontiers in Chemistry*, 9, 717569. <https://doi.org/10.3389/fchem.2021.717569>
- Li, J., Zhao, M., Han, Y., și Wei, J. (2023). Analysis of water resource ecological optimization and obstacles based on the water resources – socio – economic – ecological environment model framework – a case study of the core area of the Central Plains urban agglomeration. *Frontiers in Ecology and Evolution*, 11, 1263601. <https://doi.org/10.3389/fevo.2023.1263601>
- Li, K., Chen, M., Chen, L., Zhao, S., Xue, W., Han, Z., și Han, Y. (2023). Synthesis of g-C₃N₄ Derived from Different Precursors for Photodegradation of Sulfamethazine under Visible Light. *Processes*, 11(2), 528. <https://doi.org/10.3390/pr11020528>
- Li, M., Zhang, L., Fan, X., Wu, M., Wang, M., Cheng, R., Zhang, L., Yao, H., și Shi, J. (2017). Core-shell LaPO₄/g-C₃N₄ nanowires for highly active and selective CO₂ reduction. *Applied Catalysis B: Environmental*, 201, 629-635. <https://doi.org/10.1016/j.apcatb.2016.09.004>
- Li, Q., Xia, Y., Yang, C., Lv, K., Lei, M., și Li, M. (2018). Building a direct Z-scheme heterojunction photocatalyst by ZnIn₂S₄ nanosheets and TiO₂ hollowspheres for highly-efficient artificial photosynthesis. *Chemical Engineering Journal*, 349, 287-296. <https://doi.org/10.1016/j.cej.2018.05.094>
- Li, S., Li, Y., Yuan, Z., Li, J., Butenko, D., Ji, Y., Shanenkov, I., Li, G., și Han, W. (2024). A novel MXene-bridged Z-scheme ZnO@Nb₂CTx MXene@carbon nitride nanosheets photocatalyst for efficient enrofloxacin degradation. *Chemical Engineering Journal*, 489, 151505. <https://doi.org/10.1016/j.cej.2024.151505>
- Li, X., Garlisi, C., Guan, Q., Anwer, S., Al-Ali, K., Palmisano, G., și Zheng, L. (2021). A review of material aspects in developing direct Z-scheme photocatalysts. *Materials Today*, 47, 75-107. <https://doi.org/10.1016/j.mattod.2021.02.017>
- Li, X., Wang, S., Li, Y., Huang, H., Li, M., Long, P., Cao, X., Zhang, J., Zhou, M., Zhou, Z., Lu, S., Ding, K., și Liu, M. (2024). One-step synthesis of 2D/2D gC₃N₄/MoS₂ composites for effective photocatalytic hydrogen evolution. *Materials Science and Engineering: B*, 303, 117265. <https://doi.org/10.1016/j.mseb.2024.117265>
- Li, Y., Gong, F., Zhou, Q., Feng, X., Fan, J., și Xiang, Q. (2020). Crystalline isotype heptazine-/triazine-based carbon nitride heterojunctions for an improved hydrogen evolution. *Applied Catalysis B: Environmental*, 268, 118381. <https://doi.org/10.1016/j.apcatb.2019.118381>
- Li, Y., Lai, C., Zhong, J., și Li, J. (2023). Largely elevated photocatalytic hydrogen generation over Eu doped g-C₃N₄ photocatalyst. *International Journal of Hydrogen Energy*, 48(63), 24356-24368. <https://doi.org/10.1016/j.ijhydene.2023.03.150>
- Li, Y., Lu, W., Zhu, C., Liu, Q., Zhang, H., și Lei, B. (2015). Finite element analysis of surface acoustic wave based on a micro force sensor. *Measurement*, 65, 112-119. <https://doi.org/10.1016/j.measurement.2014.12.053>
- Li, Y., Rao, F., Zhong, J., și Li, J. (2023). In-situ fabrication of Bi₂S₃/g-C₃N₄ heterojunctions with boosted H₂ production rate under visible light irradiation. *Fuel*, 341, 127629. <https://doi.org/10.1016/j.fuel.2023.127629>
- Li, Y., Wu, S., Huang, L., Xu, H., Zhang, R., Qu, M., Gao, Q., și Li, H. (2014). G-C₃N₄ modified Bi₂O₃ composites with enhanced visible-light photocatalytic activity. *Journal of Physics and Chemistry of Solids*, 76, 112-119. <https://doi.org/10.1016/j.jpcs.2014.08.012>
- Li, Y., Zheng, X., Yang, J., Zhao, Z., și Cui, S. (2021). Enhanced photocatalytic degradation of 2,4,6-trichlorophenol and RhB with RhB-sensitized BiOClBr catalyst based on response surface methodology. *Journal of the Taiwan Institute of Chemical Engineers*, 119, 213-223. <https://doi.org/10.1016/j.jtice.2021.02.014>

- Liang, X., Feng, W., Liang, D., Xu, Y., și Qiu, X. (2021). Hydroxyl/amino and Fe(III) co-grafted graphite carbon nitride for photocatalytic removal of volatile organic compounds. *Environmental Research*, 197, 111044. <https://doi.org/10.1016/j.envres.2021.111044>
- Liao, G., Li, C., Li, X., și Fang, B. (2021). Emerging polymeric carbon nitride Z-scheme systems for photocatalysis. *Cell Reports Physical Science*, 2(3), 100355. <https://doi.org/10.1016/j.xcrp.2021.100355>
- Liao, G., și Yao, W. (2022). Facile synthesis of porous isotype heterojunction g-C₃N₄ for enhanced photocatalytic degradation of RhB under visible light. *Diamond and Related Materials*, 128, 109227. <https://doi.org/10.1016/j.diamond.2022.109227>
- Lin, J., Zhang, Y., Bian, Y., Zhang, Y., Du, R., Li, M., Tan, Y., & Feng, X. (2023). Non-steroidal anti-inflammatory drugs (NSAIDs) in the environment: Recent updates on the occurrence, fate, hazards and removal technologies. *Science of The Total Environment*, 904, 166897. <https://doi.org/10.1016/j.scitotenv.2023.166897>
- Lin, L., Ren, W., Wang, C., Asiri, A., Zhang, J., și Wang, X. (2018). Crystalline carbon nitride semiconductors prepared at different temperatures for photocatalytic hydrogen production. *Applied Catalysis B: Environmental*, 231, 234-241. <https://doi.org/10.1016/j.apcatb.2018.03.009>
- Lin, L., Yang, H., și Xu, X. (2022). Effects of Water Pollution on Human Health and Disease Heterogeneity: A Review. *Frontiers in Environmental Science*, 10, 880246. <https://doi.org/10.3389/fenvs.2022.880246>
- Lin, Q., Li, Z., Lin, T., Li, B., Liao, X., Yu, H., & Yu, C. (2020). Controlled preparation of P-doped g-C₃N₄ nanosheets for efficient photocatalytic hydrogen production. *Chinese Journal of Chemical Engineering*, 28(10), 2677-2688. <https://doi.org/10.1016/j.cjche.2020.06.037>
- Liu, G., Niu, P., Sun, C., Smith, S., Chen, Z., Lu, G., și Cheng, H.. (2010). Unique electronic structure induced high photoreactivity of sulfur-doped graphitic C₃N₄. *J Am Chem Soc.*, 132(33), 11642–8. <https://doi.org/10.1021/ja103798k>
- Liu, H., Liang, J., Fu, S., Li, L., Cui, J., Gao, P., Zhao, F., și Zhou, J. (2020). N doped carbon quantum dots modified defect-rich g-C₃N₄ for enhanced photocatalytic combined pollutions degradation and hydrogen evolution. *Colloids and Surfaces A: Physicochemical and Engineering Aspects*, 591, 124552. <https://doi.org/10.1016/j.colsurfa.2020.124552>
- Liu, H., Pan, L., Nie, J., Mei, H., Zhu, G., Jin, Z., Cheng, L., și Zhang, L. (2023). Bi₁₂TiO₂₀-TiO₂ S-scheme heterojunction for improved photocatalytic NO removal: Experimental and DFT insights. *Separation and Purification Technology*, 314, 123575. <https://doi.org/10.1016/j.seppur.2023.123575>
- Liu, H., Zhang, G., He, W., Wang, X., Zhang, J., Zhang, Q., Tong, F., Liu, L., Ramakrishna, S., Yan, Y., și Long, Z. (2018). One-Step Synthesis Heterostructured g-C₃N₄/TiO₂ Composite for Rapid Degradation of Pollutants in Utilizing Visible Light. *Nanomaterials*, 8(10). <https://doi.org/10.3390/nano8100842>
- Liu, H., Zhang, H., Chen, M., Zhang, C., Du, C., Peng, J., și Jiang, K. (2020). Peroxymonosulfate-assisted photocatalysis with g-C₃N₄/BiOCOOH nanocomposites for the synergistic removal of organic pollutants. *Journal of Water Process Engineering*, 38, 101580. <https://doi.org/10.1016/j.jwpe.2020.101580>
- Liu, J., Xiong, Z., Zhou, F., Lu, W., Jin, J., și Ding, S. (2018). Promotional effect of H₂O₂ modification on the cerium-tungsten-titanium mixed oxide catalyst for selective catalytic reduction of NO with NH₃. *Journal of Physics and Chemistry of Solids*, 121, 360-366. <https://doi.org/10.1016/j.jpcs.2018.05.051>
- Liu, P., Xing, L., Lin, H., Wang, H., Zhou, Z., și Su, Z. (2017). Construction of porous covalent organic polymer as photocatalysts for RhB degradation under visible light. *Science Bulletin*, 62(13), 931-937. <https://doi.org/10.1016/j.scib.2017.05.031>
- Liu, Q., Yang, P., Jiang, K., Zhang, H., și You, T. (2023). Photoelectrochemical aptasensing of tetracycline enabled by efficient photoanode: Integrating high visible light-harvesting Bi₂S₃ and metal-free g-C₃N₄ into Z-scheme heterojunction. *Microchemical Journal*, 193, 109015. <https://doi.org/10.1016/j.microc.2023.109015>
- Liu, S., Ge, Y., și Wang, C.. (2023). TiO₂/BP/g-C₃N₄ heterojunction photocatalyst for the enhanced photocatalytic degradation of RhB. *Environ Sci Pollut Res*, 30, 84452–84461. <https://doi.org/https://doi.org/10.1007/s11356-023-28070-2>
- Liu, S., Zhu, H., Yao, W., Chen, K., și Chen, D. (2018). One step synthesis of P-doped g-C₃N₄ with the enhanced visible light photocatalytic activity. *Applied Surface Science*, 430, 309-315. <https://doi.org/10.1016/j.apsusc.2017.07.108>
- Liu, X., Chen, N., Li, Y., Deng, D., Xing, X., și Wang, Y. (2016). A general nonaqueous sol-gel route to g-C₃N₄-coupling photocatalysts: The case of Z-scheme g-C₃N₄/TiO₂ with enhanced photodegradation toward RhB under visible-light. *Scientific Reports*, 6(1), 1-16. <https://doi.org/10.1038/srep39531>
- Liu, X., Gu, S., Zhao, Y., Zhou, G., și Li, W. (2020). BiVO₄, Bi₂WO₆ and Bi₂MoO₆ photocatalysis: A brief review. *Journal of Materials Science și Technology*, 56, 45-68. <https://doi.org/10.1016/j.jmst.2020.04.023>

- Liu, X., Li, C., Zhang, Y., Yu, J., Yuan, M., și Ma, Y. (2017). Simultaneous photodegradation of multi-herbicides by oxidized carbon nitride: Performance and practical application. *Applied Catalysis B: Environmental*, 219, 194-199. <https://doi.org/10.1016/j.apcatb.2017.07.007>
- Liu, X., Wang, S., Yu, W., Zhang, J., Fang, S., Zhang, J., Qiu, J., Kong, F., și Duan, X. (2022). Single platinum atoms anchored on holy carbon nitride for efficient photodegradation of sulfonylurea herbicide. *Chemical Engineering Journal*, 446, 137426. <https://doi.org/10.1016/j.cej.2022.137426>
- Liu, X., Yan, L., Hu, X., Feng, H., Guo, B., Ha, X., și Xu, H. (2023). Facile synthesis of B and P doped g-C₃N₄ for enhanced synergistic activity between photocatalytic water splitting and BPA degradation. *International Journal of Hydrogen Energy*, 48(35), 13181-13188. <https://doi.org/10.1016/j.ijhydene.2022.12.049>
- Liu, Y., Guo, X., Chen, Z., Zhang, W., Wang, Y., Zheng, Y., Tang, X., Zhang, M., Peng, Z., Li, R., și Huang, Y. (2020). Microwave-synthesis of g-C₃N₄ nanoribbons assembled seaweed-like architecture with enhanced photocatalytic property. *Applied Catalysis B: Environmental*, 266, 118624. <https://doi.org/10.1016/j.apcatb.2020.118624>
- Liu, Y., Zhang, H., și Jiang, Y. (2021). A new noble-metal-free co-catalyst V8C7 on g-C₃N₄ with enhanced photocatalytic H₂ evolution activity. *Applied Catalysis A: General*, 625, 118341. <https://doi.org/10.1016/j.apcata.2021.118341>
- Liu, Y., Zheng, J., Jia, G., Zhang, X., Wu, Q., și Li, G. (2024). Bronze TiO₂-MXene heterostructures for dramatic enhancement of photocatalytic degradation of tetracycline under visible light. *Materials Letters*, 368, 136581. <https://doi.org/10.1016/j.matlet.2024.136581>
- Loos, R., Gawlik, B. M., Locoro, G., Rimaviciute, E., Contini, S., și Bidoglio, G. (2009). EU-wide survey of polar organic persistent pollutants in European river waters. *Environmental Pollution*, 157(2), 561-568. <https://doi.org/10.1016/j.envpol.2008.09.020>
- Low, J., Yu, J., și Jiang, C. (2019). Design and fabrication of direct Z-scheme photocatalysts. *Interface Science and Technology*, 31, 193-229. <https://doi.org/10.1016/B978-0-08-102890-2.00006-3>
- Lu, C., Wu, E., Li, C., Dou, W., Lian, Y., Liang, Y., Xiang, X., și Wang, H. (2021). CoNi bimetallic alloy cocatalyst-modified g-C₃N₄ nanosheets for efficient photocatalytic hydrogen production. *Journal of Physics and Chemistry of Solids*, 158, 110228. <https://doi.org/10.1016/j.jpcs.2021.110228>
- Lu, X., Cao, J., Wang, P., Zhang, X., Wang, G., Sun, D., Ma, H., și Fu, Y. (2023). Construction of Z-scheme MnCo₂O₄/Sn₃O₄ heterostructured photoanodes with enhanced photoelectrocatalytic degradation of reactive brilliant blue KN-R. *International Journal of Electrochemical Science*, 18(4), 100066. <https://doi.org/10.1016/j.ijoes.2023.100066>
- Lü, X., Huang, F., Mou, X., Wang, Y., și Xu, F. (2010). A General Preparation Strategy for Hybrid TiO₂ Hierarchical Spheres and Their Enhanced Solar Energy Utilization Efficiency. *Advanced Materials*, 22(33), 3719-3722. <https://doi.org/10.1002/adma.201001008>
- Luo, S., Zhou, Q., Xue, W., și Liao, N. (2022). Effect of Pt doping on sensing performance of g-C₃N₄ for detecting hydrogen gas: A DFT study. *Vacuum*, 200, 111014. <https://doi.org/10.1016/j.vacuum.2022.111014>
- Luo, Z., Song, Y., Wang, M., Zheng, X., Qu, L., Wang, J., Wu, X., și Wu, Z. (2020). Comparison of g-C₃N₄ synthesized by different precursors in remediation of phenanthrene contaminated soil and ecotoxicity. *Journal of Photochemistry and Photobiology A: Chemistry*, 389, 112241. <https://doi.org/10.1016/j.jphotochem.2019.112241>
- Luong, T., Nguyen, T., Nguyen, B., Nguyen, N., Nguyen, T., și Dang, G. (2022). Efficient degradation of methyl orange and methylene blue in aqueous solution using a novel Fenton-like catalyst of CuCo-ZIFs. *Green Processing and Synthesis*, 11(1), 71-83. <https://doi.org/10.1515/gps-2022-0006>
- Ma, J., Ding, Z., Wei, G., Zhao, H., și Huang, T. (2009). Sources of water pollution and evolution of water quality in the Wuwei basin of Shiyang river, Northwest China. *Journal of Environmental Management*, 90(2), 1168-1177. <https://doi.org/10.1016/j.jenvman.2008.05.007>
- Ma, J., Tan, X., Yu, T., și Li, X. (2016). Fabrication of g-C₃N₄/TiO₂ hierarchical spheres with reactive {001} TiO₂ crystal facets and its visible-light photocatalytic activity. *International Journal of Hydrogen Energy*, 41(6), 3877-3887. <https://doi.org/10.1016/j.ijhydene.2015.12.191>
- Ma, T., Shen, Q., Xue, B. Z. J., Guan, R., Liu, X., Jia, H., și Xu, B. (2019). Facile synthesis of Fe-doped g-C₃N₄ for enhanced visible-light photocatalytic activity. *Inorganic Chemistry Communications*, 107, 107451. <https://doi.org/10.1016/j.jinoche.2019.107451>
- Ma, X., Wei, Y., Wei, Z., He, H., Huang, C., și Zhu, Y. (2017). Probing π - π stacking modulation of g-C₃N₄/graphene heterojunctions and corresponding role of graphene on photocatalytic activity. *Journal of Colloid and Interface Science*, 508, 274-281. <https://doi.org/10.1016/j.jcis.2017.08.037>
- Ma, Y., Li, J., Cai, J., Zhong, L., Lang, Y., și Ma, Q. (2022). Z-scheme g-C₃N₄/ZnS heterojunction photocatalyst: One-pot synthesis, interfacial structure regulation, and improved photocatalysis activity for bisphenol A. *Colloids and Surfaces A: Physicochemical and Engineering Aspects*, 653, 130027. <https://doi.org/10.1016/j.colsurfa.2022.130027>

- Madima, N., Kefeni, K. K., Mishra, S. B., și Mishra, A. K. (2022). TiO₂-modified g-C₃N₄ nanocomposite for photocatalytic degradation of organic dyes in aqueous solution. *Heliyon*, 8(9), e10683. <https://doi.org/10.1016/j.heliyon.2022.e10683>
- Maduraiveeran, G., și Jin, W. (2021). Carbon nanomaterials: Synthesis, properties and applications in electrochemical sensors and energy conversion systems. *Materials Science and Engineering: B*, 272, 115341. <https://doi.org/10.1016/j.mseb.2021.115341>
- Maeda, K. (2011). Photocatalytic water splitting using semiconductor particles: History and recent developments. *Journal of Photochemistry and Photobiology C: Photochemistry Reviews*, 12(4), 237-268. <https://doi.org/10.1016/j.jphotochemrev.2011.07.001>
- Maeda, K., și Maeda, K.. (2013). Z-Scheme Water Splitting Using Two Different Semiconductor Photocatalysts. *ACS Catal.*, 3(7), 1486–1503. <https://doi.org/10.1021/Cs4002089>
- Majid, M. F. I. A., Sultan, S. M., Napi, M. L. M., & Hashim, U.. (2019). Synthesis of ZnO Nanorod using Hydrothermal Technique for Temperature Sensor. 1–4. <https://doi.org/10.1109/SENSORSNANO44414.2019.8940045>
- Malefane, M. E., Mafa, P. J., Managa, M. E., Nkambule, T. T. I., și Kuvarega, A. T. (2023). Understanding the Principles and Applications of Dual Z-Scheme Heterojunctions: How Far Can We Go?. *J. Phys. Chem. Lett.*, 14(4), 1029–1045. <https://doi.org/10.1021/acs.jpcllett.2c03387>
- Mallahi, M., Shokuhfar, A., Vaezi, M. R., Esmaeilirad, A., și Mazinani, V. (2014). Synthesis and characterization of bismuth oxide nanoparticles via sol-gel method. *AJER*, 3(4), 162-165.
- Manimozhi, R., Mathankumar, M., și Prakash, A. G. (2021). Synthesis of g-C₃N₄ / ZnO heterostructure photocatalyst for enhanced visible degradation of organic dye. *Optik*, 229, 165548. <https://doi.org/10.1016/j.ijleo.2020.165548Zehatab>
- Martínez-García, H., Salazar-Marín, D., Collins-Martínez, V., Torres-Torres, J., Kesarla, M., Jaramillo-Quintero, O., Hernández-Como, N., Oza, G., Ortiz-Chi, F., Diaz-Real, J., și Godavarthi, S. (2023). Rationally designed C₃N₄/ TiO₂ (anatase/brookite) heterojunction for enhanced photocatalytic hydrogen generation under visible light. *Ceramics International*, 49(21), 33901-33911. <https://doi.org/10.1016/j.ceramint.2023.08.084>
- Meng, A., și Yu, J. (2019). Surface heterojunction of photocatalysts. *Interface Science and Technology*, 31, 161-191. <https://doi.org/10.1016/B978-0-08-102890-2.00005-1>
- Mishra, B. K., Kumar, P., Saraswat, C., Chakraborty, S., și Gautam, A. (2020). Water Security in a Changing Environment: Concept, Challenges and Solutions. *Water*, 13(4), 490. <https://doi.org/10.3390/w13040490>
- Mo, Z., Zhu, X., Jiang, Z., Song, Y., Liu, D., Li, H., Yang, X., She, Y., Lei, Y., Yuan, S., Li, H., Song, L., Yan, Q., și Xu, H. (2019). Porous nitrogen-rich g-C₃N₄ nanotubes for efficient photocatalytic CO₂ reduction. *Applied Catalysis B: Environmental*, 256, 117854. <https://doi.org/10.1016/j.apcatb.2019.117854>
- Modibane, K. D., Waleng, N. J., Ramohlolwa, K. E., Maponya, T. C., Monama, G. R., Makgopa, K., & Hato, M. J. (2020). Poly(3-aminobenzoic acid) Decorated with Cobalt Zeolitic Benzimidazolate Framework for Electrochemical Production of Clean Hydrogen. *Polymers*, 12(7), 1581. <https://doi.org/10.3390/polym12071581>
- Mohammadyari, P., și Nezamzadeh-Ejhieh, A.. (2015). Supporting of mixed ZnS–NiS semiconductors onto clinoptilolite nano-particles to improve its activity in photodegradation of 2-nitrotoluene. 5(92), 75300–75310. <https://doi.org/10.1039/C5RA12608H>
- Mohan, N., Bhuvaneswari, S., Anitha, R., și Vijayalakshmi, V. (2024). Improved photocatalytic degradation of organic pollutants using green synthesized ZnO and Ni@ZnO NPs for environmental applications. *Environmental Nanotechnology, Monitoring și Management*, 21, 100922. <https://doi.org/10.1016/j.enmm.2024.100922>
- Mohanty, L., Sundar Pattanayak, D., Singhal, R., Pradhan, D., și Kumar Dash, S. (2022). Enhanced photocatalytic degradation of rhodamine B and malachite green employing BiFeO₃/g-C₃N₄ nanocomposites: An efficient visible-light photocatalyst. *Inorganic Chemistry Communications*, 138, 109286. <https://doi.org/10.1016/j.inoche.2022.109286>
- Mohini, R., și Lakshminarasimhan, N. (2016). Coupled semiconductor nanocomposite g-C₃N₄/TiO₂ with enhanced visible light photocatalytic activity. *Materials Research Bulletin*, 76, 370-375. <https://doi.org/10.1016/j.materresbull.2015.12.034>
- Molaei, M. J. (2023). Graphitic carbon nitride (g-C₃N₄) synthesis and heterostructures, principles, mechanisms, and recent advances: A critical review. *International Journal of Hydrogen Energy*, 48(84), 32708-32728. <https://doi.org/10.1016/j.ijhydene.2023.05.066>
- Mondol, B., Sarker, A., Shareque, A. M., Dey, S. C., Islam, M. T., Das, A. K., Shamsuddin, S. M., Molla, M. A., și Sarker, M. (2021). Preparation of Activated Carbon/TiO₂ Nanohybrids for Photodegradation of Reactive Red-35 Dye Using Sunlight. *Photochem*, 1(1), 54-66. <https://doi.org/10.3390/photochem1010006>

- Monga, D., Ilager, D., Shetti, N. P., Basu, S., și Aminabhavi, T. M. (2020). 2D/2d heterojunction of MoS₂/g-C₃N₄ nanoflowers for enhanced visible-light-driven photocatalytic and electrochemical degradation of organic pollutants. *Journal of Environmental Management*, 274, 111208. <https://doi.org/10.1016/j.jenvman.2020.111208>
- Monga, D., și Basu, S. (2019). Enhanced photocatalytic degradation of industrial dye by g-C₃N₄/TiO₂ nanocomposite: Role of shape of TiO₂. *Advanced Powder Technology*, 30(5), 1089-1098. <https://doi.org/10.1016/j.appt.2019.03.004>
- Monga, D., și Basu, S. (2019). Enhanced photocatalytic degradation of industrial dye by g-C₃N₄/TiO₂ nanocomposite: Role of shape of TiO₂. *Advanced Powder Technology*, 30(5), 1089-1098. <https://doi.org/10.1016/j.appt.2019.03.004>
- Moreira, N. F., Sampaio, M. J., Ribeiro, A. R., Silva, C. G., Faria, J. L., și Silva, A. M. (2019). Metal-free g-C₃N₄ photocatalysis of organic micropollutants in urban wastewater under visible light. *Applied Catalysis B: Environmental*, 248, 184-192. <https://doi.org/10.1016/j.apcatb.2019.02.001>
- Mori, S., Sakurai, S., Naka, H., și Saito, S.. (2023). Metal-Loaded Semiconductor-Photocatalysis of Alcohols for Selective Organic Synthesis: A Personal Account. *Synlett*, 34(20), 2361–2373. <https://doi.org/10.1055/a-2124-4037>
- Moura, L., și Picão, R. C. (2021). Removal of antimicrobial resistance determinants from wastewater: A risk perspective on conventional and emerging technologies. *Emerging Contaminants in the Environment*, 603-642. <https://doi.org/10.1016/B978-0-323-85160-2.00023-8>
- Mukonza, S. S., Chaukura, N., și Mishra, A. K. (2022). Photocatalytic Activity and Reusability of F, Sm³⁺ Co-Doped TiO₂/MWCNTs Hybrid Heterostructure for Efficient Photocatalytic Degradation of Brilliant Black Bis-Azo Dye. *Catalysts*, 13(1), 86. <https://doi.org/10.3390/catal13010086>
- Mullakkattuthodi, S., Haridas, V., Sugunan, S., și Narayanan, B. N. (2022). Z-scheme mechanism for methylene blue degradation over Fe₂O₃/g-C₃N₄ nanocomposite prepared via one-pot exfoliation and magnetization of g-C₃N₄. *Front. Mater. Sci.*, 16(3), 220612. <https://doi.org/10.1007/s11706-022-0612-x>
- Murugesan, P., Moses, J. A., și Anandharamakrishnan, C. (2019). Photocatalytic disinfection efficiency of 2D structure graphitic carbon nitride-based nanocomposites: a review. *J Mater Sci*, 54, 12206–12235. <https://doi.org/https://doi.org/10.1007/s10853-019-03695-2>
- Nagar, A., și Basu, S. (2022). Deciphering the role of β-phase Bi₂O₃ nanorods incorporated on g-C₃N₄ nanosheets for efficient pollutant removal. *Journal of Physics and Chemistry of Solids*, 164, 110625. <https://doi.org/10.1016/j.jpcs.2022.110625>
- Naik, K. K. (2022). Synthesis and characterization of perovskite-based QDs, 1D, 2D, and hierarchical nanomaterials. *Perovskite Metal Oxides*, 175-199. <https://doi.org/10.1016/B978-0-323-99529-0.00003-5>
- Najafi, M., Khoddam, Z., Masnavi, M., Pourmadadi, M., și Abdouss, M. (2024). Physicochemical and in vitro characterization of Agarose based nanocarriers incorporated with Graphene Quantum Dots/ α-Fe₂O₃ for targeted drug delivery of Quercetin to liver cancer treatment. *Materials Chemistry and Physics*, 129333. <https://doi.org/10.1016/j.matchemphys.2024.129333>
- Narkbuakaew, T., și Intasanta, V. (2022). Modified g-C₃N₄ with boron doping for efficient simultaneous catalytic reduction of Ag⁺ and organic pollutants. *Materials Today Sustainability*, 20, 100258. <https://doi.org/10.1016/j.mtsust.2022.100258>
- Navarro-Aguilar, A., Obregón, S., Sanchez-Martinez, D., și Hernández-Uresti, D. (2019). An efficient and stable WO₃/g-C₃N₄ photocatalyst for ciprofloxacin and orange G degradation. *Journal of Photochemistry and Photobiology A: Chemistry*, 384, 112010. <https://doi.org/10.1016/j.jphotochem.2019.112010>
- Nguyen Thi, T. H., Huu, H. T., Phi, H. N., Nguyen, V. P., Le, Q. D., Thi, L. N., Trang Phan, T. T., și Vo, V. (2022). A facile synthesis of SnS₂/g-C₃N₄ S-scheme heterojunction photocatalyst with enhanced photocatalytic performance. *Journal of Science: Advanced Materials and Devices*, 7(2), 100402. <https://doi.org/10.1016/j.jsamd.2021.11.004>
- Nguyen, H. C., Le, P. D., Cao, T. M., și Pham, V. V. (2024). Establishing Z-scheme Bi₂WO₆/g-C₃N₄ interfaces toward efficient photocatalytic performance of NO_x under visible light. *Journal of Alloys and Compounds*, 989, 174244. <https://doi.org/10.1016/j.jallcom.2024.174244>
- Nikitha, M., Elanchezhiyan, S., și Meenakshi, S. (2023). Photodegradation of rhodamine-B in aqueous environment using visible-active gC₃N₄@CS-MoS₂ nanocomposite. *Environmental Research*, 238, 117032. <https://doi.org/10.1016/j.envres.2023.117032>
- Niu, H., Zhao, W., Lv, H., Yang, Y., și Cai, Y. (2021). Accurate design of hollow/tubular porous g-C₃N₄ from melamine-cyanuric acid supramolecular prepared with mechanochemical method. *Chemical Engineering Journal*, 411, 128400. <https://doi.org/10.1016/j.cej.2020.128400>
- Niu, P., Zhang, L., Liu, G., & Cheng, M. (2012). Graphene-Like Carbon Nitride Nanosheets for Improved Photocatalytic Activities. *Advanced Functional Materials*, 22(22), 4763-4770. <https://doi.org/10.1002/adfm.201200922>

- Niu, Y., Hu, F., Xu, H., Zhang, S., Song, B., Wang, H., Li, M., Shao, G., Wang, H., și Lu, H. (2023). Exploration for high performance g-C₃N₄ photocatalyst from different precursors. *Materials Today Communications*, 34, 105040. <https://doi.org/10.1016/j.mtcomm.2022.105040>
- Obregón, S., Ruíz-Gómez, M., Rodríguez-González, V., Vázquez, A., și Hernández-Uresti, D. (2020). A novel type-II Bi₂W₂O₉/g-C₃N₄ heterojunction with enhanced photocatalytic performance under simulated solar irradiation. *Materials Science in Semiconductor Processing*, 113, 105056. <https://doi.org/10.1016/j.mssp.2020.105056>
- Obregón, S., Vázquez, A., Ruíz-Gómez, M., și Rodríguez-González, V. (2019). SBA-15 assisted preparation of mesoporous g-C₃N₄ for photocatalytic H₂ production and Au³⁺ fluorescence sensing. *Applied Surface Science*, 488, 205-212. <https://doi.org/10.1016/j.apsusc.2019.05.231>
- Onwudiwe, D. C., Olatunde, O. C., Nkwe, V. M., Ben Smida, Y., și Ferjani, H. (2023). Dual S-scheme heterojunction g-C₃N₄/Bi₂S₃/CuS composite with enhanced photocatalytic activity for methyl orange degradation. *Inorganic Chemistry Communications*, 155, 111075. <https://doi.org/10.1016/j.inoche.2023.111075>
- Onyeka, O., Yue, W., Wei, H., Ikeh, J., și Tobechukwu, .. (2022). Preparation of Fe-Mg MOFs and Its Application in Removal of RhB and MO. *Journal of Geoscience and Environment Protection*, 10(4), 167–180. <https://doi.org/10.4236/gep.2022.104011>
- Otgonbayar, Z., Liu, Y., și Oh, W. (2023). Design of type-II heterojunction MoS₂/gC₃N₄/graphene ternary nanocomposite for photocatalytic CO₂ reduction to hydrocarbon fuels: In aqueous solvents with a sacrificial donor. *Journal of Environmental Chemical Engineering*, 11(3), 109884. <https://doi.org/10.1016/j.jece.2023.109884>
- Pan, G., și Sun, Z. (2021). Cu-doped g-C₃N₄ catalyst with stable Cu⁰ and Cu⁺ for enhanced amoxicillin degradation by heterogeneous electro-Fenton process at neutral pH. *Chemosphere*, 283, 131257. <https://doi.org/10.1016/j.chemosphere.2021.131257>
- Pan, J., Zhang, Y., Guan, Y., Yan, Y., Tang, H., Liu, X., Wang, M., și Wei, X. (2022). Multifunctional Ni nanoparticles decorated SiC nanofibers/g-C₃N₄ nanosheets heterojunctions for drastically increased LED-light-driven hydrogen generation. *Applied Surface Science*, 579, 152171. <https://doi.org/10.1016/j.apsusc.2021.152171>
- Pandey, V., Bansal, A., și Toor, A. P. (2024). Synthesis, characterization, and performance assessment of a perovskite-type nano photocatalyst for degradation of thiamethoxam. *The Canadian Journal of Chemical Engineering*, 102(4), 1630-1645. <https://doi.org/10.1002/cjce.25140>
- Pathak, T. K., Sharma, A. K., Dubey, J., & Swart, H. (2022). Laser and UV-irradiation in oxides semiconductors. Defect-Induced Magnetism in Oxide Semiconductors, 325-335. <https://doi.org/10.1016/B978-0-323-90907-5.00007-5>
- Paul, T., Das, D., Das, B. K., Sarkar, S., Maiti, S., și Chattopadhyay, K. K. (2019). CsPbBrCl₂/g-C₃N₄ type II heterojunction as efficient visible range photocatalyst. *Journal of Hazardous Materials*, 380, 120855. <https://doi.org/10.1016/j.jhazmat.2019.120855>
- Pearson, S., Ren, F., Wang, Y., Chu, B., Chen, K., Chang, C., Lim, W., Lin, J., și Norton, D. (2009). Recent advances in wide bandgap semiconductor biological and gas sensors. *Progress in Materials Science*, 55(1), 1-59. <https://doi.org/10.1016/j.pmatsci.2009.08.003>
- Pedro-García, F., Sánchez-De Jesús, F., Cortés-Escobedo, C., Barba-Pingarrón, A., & Bolarín-Miró, A. (2017). Mechanically assisted synthesis of multiferroic BiFeO₃: Effect of synthesis parameters. *Journal of Alloys and Compounds*, 711, 77-84. <https://doi.org/10.1016/j.jallcom.2017.03.292>
- Peer, M., Lusardi, M., și Jensen, K. F. (2017). Facile Soft-Templated Synthesis of High-Surface Area and Highly Porous Carbon Nitrides. *Chem. Mater.*, 29(4), 1496–1506. <https://doi.org/10.1021/ACS.CHEMMATER.6B03570>
- Peng, J., Peng, Y., Xu, L., Wang, Q., Li, Y., Yin, Z., Han, J., Qiu, J., Yang, Z., și Song, Z. (2023). Interfacial chemical bond modulated ultrathin PbBiO₂Cl/Bi₂O₃ Z-scheme heterojunction for promoting charge separation and enhancing photocatalytic activity. *Journal of Alloys and Compounds*, 949, 169862. <https://doi.org/10.1016/j.jallcom.2023.169862>
- Peng, L., Zheng, R., Feng, D., Yu, H., și Dong, X. (2020). Synthesis of eco-friendly porous g-C₃N₄/SiO₂/SnO₂ composite with excellent visible-light responsive photocatalysis. *Arabian Journal of Chemistry*, 13(2), 4275-4285. <https://doi.org/10.1016/j.arabjc.2019.07.009>
- Pérez-Molina, Á., Pastrana-Martínez, L. M., Morales-Torres, S., și Maldonado-Hódar, F. J. (2023). Photodegradation of cytostatic drugs by g-C₃N₄: Synthesis, properties and performance fitted by selecting the appropriate precursor. *Catalysis Today*, 418, 114068. <https://doi.org/10.1016/j.cattod.2023.114068>
- Pham, T. H., Myung, Y., Van Le, Q., și Kim, T. (2022). Visible-light photocatalysis of Ag-doped graphitic carbon nitride for photodegradation of micropollutants in wastewater. *Chemosphere*, 301, 134626. <https://doi.org/10.1016/j.chemosphere.2022.134626>

- Pham, T. H., Park, J., și Kim, T. (2021). Enhanced photodegradation of paracetamol from water by cobalt doped graphitic carbon nitride. *Solar Energy*, 215, 151-156. <https://doi.org/10.1016/j.solener.2020.12.034>
- Pham, T. H., Viet, N. M., Hoai, P. T. T., Jung, S. H., și Kim, T. (2023). Graphitic carbon nitride metal-free photocatalyst for the simultaneous removal of emerging pharmaceutical pollutants in wastewater. *Environmental Research*, 231, 116246. <https://doi.org/10.1016/j.envres.2023.116246>
- Pham, T., Jung, S. H., și Kim, T. (2021). Enhanced photodegradation of toxic volatile organic pollutants using Ni-doped graphitic carbon nitride under natural solar light. *Solar Energy*, 224, 18-26. <https://doi.org/10.1016/j.solener.2021.05.087>
- Pourmadadi, M., Rahmani, E., Eshaghi, M. M., Shamsabadipour, A., Ghotekar, S., Rahdar, A., și Romanholo Ferreira, L. F. (2022). Graphitic carbon nitride ($\text{g-C}_3\text{N}_4$) synthesis methods, surface functionalization, and drug delivery applications: A review. *Journal of Drug Delivery Science and Technology*, 79, 104001. <https://doi.org/10.1016/j.jddst.2022.104001>
- Pradhan, D., Falletta, E., și Dash, S. K. (2022). Enhanced and rapid photocatalytic degradation of toxic dyes by cobalt oxide and modified cobalt oxide under solar light irradiation. *Optical Materials*, 135, 113368. <https://doi.org/10.1016/j.optmat.2022.113368>
- Preeyanghaa, M., Vinesh, V., și Neppolian, B. (2021). Complete removal of Tetracycline by sonophotocatalysis using ultrasound-assisted hierarchical graphitic carbon nitride nanorods with carbon vacancies. *Chemosphere*, 287, 132379. <https://doi.org/10.1016/j.chemosphere.2021.132379>
- Puspitarum, D. L., Istiqomah, N. I., Larasati, D. A., Kusumaatmaja, A., Aliah, H., și Suharyadi, E. (2023). Photocatalytic mechanism and properties of recyclable hybrid magnetic/semiconductor nanocomposites synthesized via green route for organic dye degradation. *Results in Materials*, 19, 100439. <https://doi.org/10.1016/j.rinma.2023.100439>
- Qayoom, M., Shah, K. A., și Pandit, A. H.. (2020). Dielectric and electrical studies on iron oxide ($\alpha\text{-Fe}_2\text{O}_3$) nanoparticles synthesized by modified solution combustion reaction for microwave applications. 45(7), 7–14. <https://doi.org/https://doi.org/10.1007/s10832-020-00219-2>
- Qian, H., Zou, J., Liu, H., Ma, A., Xu, S., Li, T., și Ren, S. (2024). Construction of direct-Z-scheme heterojunction photocatalyst of $\text{g-C}_3\text{N}_4/\text{Ti}_3\text{C}_2/\text{TiO}_2$ composite and its degradation behavior for dyes of Rhodamine B. *Chinese Journal of Chemical Engineering*. <https://doi.org/10.1016/j.cjche.2024.04.017>
- Qureshi, W. A., Ali, R. N., Haider, S. N. U. Z., Ahmad, N., Khan, M. U., Wang, L., Cheng, C., Rao, S., Ali, A., Liu, Q. Q., și Yang, J. (2024). Construction of B doped $\text{g-C}_3\text{N}_4/\text{Ni-MOF-74}$ porous heterojunction with boosted carrier separation for photocatalytic H₂ generation. *Materials Today Sustainability*, 25, 100679. <https://doi.org/10.1016/j.mtsust.2024.100679>
- Rabani, I., Zafar, R., Subalakshmi, K., Kim, H., Bathula, C., și Seo, Y. (2021). A facile mechanochemical preparation of $\text{Co}_3\text{O}_4@\text{g-C}_3\text{N}_4$ for application in supercapacitors and degradation of pollutants in water. *Journal of Hazardous Materials*, 407, 124360. <https://doi.org/10.1016/j.jhazmat.2020.124360>
- Radiul, S. M., Chowdhury, J., & Hazarika, S. (2023). Fluorescent H-aggregates of pure rhodamine B (RhB) in glycerol, ethylene glycol, methanol and butanol under ambient condition. *Journal of Molecular Structure*, 1275, 134606. <https://doi.org/10.1016/j.molstruc.2022.134606>
- Rahimzade, E., Ghanbari, M., Alshamsi, H. A., Karami, M., Baladi, M., și Salavati-Niasari, M. (2021). Simple preparation of chitosan-coated thallium lead iodide nanostructures as a new visible-light photocatalyst in decolorization of organic contamination. *Journal of Molecular Liquids*, 341, 117299. <https://doi.org/10.1016/j.molliq.2021.117299>
- Rajabi-Firoozabadi, S., Khosravi-Nikou, M. R., și Shariati, A. (2024). Kinetic study and optimization of hierarchical TiO_2 flower-like/ exfoliated $\text{g-C}_3\text{N}_4$ composite for improved carbon dioxide photoconversion to methane and methanol under visible light. *Journal of Cleaner Production*, 451, 142019. <https://doi.org/10.1016/j.jclepro.2024.142019>
- Rajkhowa, S., Sarma, J., și Rani Das, A. (2020). Radiological contaminants in water: Pollution, health risk, and treatment. *Contamination of Water*, 217-236. <https://doi.org/10.1016/B978-0-12-824058-8.00013-X>
- Rameshbabu, R., Ravi, P., și Sathish, M. (2019). Cauliflower-like CuS/ZnS nanocomposites decorated $\text{g-C}_3\text{N}_4$ nanosheets as noble metal-free photocatalyst for superior photocatalytic water splitting. *Chemical Engineering Journal*, 360, 1277-1286. <https://doi.org/10.1016/j.cej.2018.10.180>
- Rathi, V., Panneerselvam, A., și Sathiyapriya, R. (2020). A novel hydrothermal induced $\text{BiVO}_4/\text{g-C}_3\text{N}_4$ heterojunctions visible-light photocatalyst for effective elimination of aqueous organic pollutants. *Vacuum*, 180, 109458. <https://doi.org/10.1016/j.vacuum.2020.109458>
- Raval, N., Maheshwari, R., Kalyane, D., Youngren-Ortiz, S. R., Chougule, M. B., & Tekade, R. K. (2018). Importance of Physicochemical Characterization of Nanoparticles in Pharmaceutical Product Development. *Basic Fundamentals of Drug Delivery*, 369-400. <https://doi.org/10.1016/B978-0-12-817909-3.00010-8>
- Ravichandran, D., Akilan, R., Vinnarasi, S., Shankar, R., Khadheer pasha, S., și Manickam, S. (2021). Tuning the reactivity of tri-s-triazine, trinitro-tri-s-triazine and ternary tri-s-triazine graphitic C_3N_4 quantum dots

- through H-functionalized and B-doped complexes: A density functional study. *Chemosphere*, 272, 129901. <https://doi.org/10.1016/j.chemosphere.2021.129901>
- Reddy, K. R., Reddy, C. V., Nadagouda, M. N., Shetti, N. P., Jaesool, S., și Aminabhavi, T. M. (2019). Polymeric graphitic carbon nitride (g-C₃N₄)-based semiconducting nanostructured materials: Synthesis methods, properties and photocatalytic applications. *Journal of Environmental Management*, 238, 25-40. <https://doi.org/10.1016/j.jenvman.2019.02.075>
- Ren, X., Wu, K., Qin, Z., Zhao, X., și Yang, H. (2019). The construction of type II heterojunction of Bi₂WO₆/BiOBr photocatalyst with improved photocatalytic performance. *Journal of Alloys and Compounds*, 788, 102-109. <https://doi.org/10.1016/j.jallcom.2019.02.211>
- Renukadevi, S., și Priscilla Jeyakumari, A. (2020). Rational design of ZnFe₂O₄/g-C₃N₄ heterostructures composites for high efficient visible-light photocatalysis for degradation of aqueous organic pollutants. *Inorganic Chemistry Communications*, 118, 108047. <https://doi.org/10.1016/j.inoche.2020.108047>
- Ridolfo, R., Tavakoli, S., Junnuthula, V., Williams, D. S., Urtti, A., și van Hest, J. C. M. (2021). Exploring the Impact of Morphology on the Properties of Biodegradable Nanoparticles and Their Diffusion in Complex Biological Medium. *Biomacromolecules*, 22(1), 126–133. <https://doi.org/10.1021/ACS.BIOMAC.0C00726>
- Sabzehmeidani, M. M., Ghaedi, M., și Karimi, H. (2020). Photocatalytic activity based on electrospun nanofibers. *Interface Science and Technology*, 32, 625-672. <https://doi.org/10.1016/B978-0-12-818806-4.00014-0>
- Saeed, F., Jia, L., Arain, M., Ahmed, A., Yikai, F., Zhenda, C., Hussain, I., Abbas Ashraf, G., Ben Ahmed, S., și Dai, H. (2024). Emerging trends in metal-organic framework (MOFs) photocatalysts for hydrogen energy using water splitting: A state-of-the-art review. *Journal of Industrial and Engineering Chemistry*, 131, 54-135. <https://doi.org/10.1016/j.jiec.2023.10.055>
- Sahoo, A., și Panigrahi, M. R. (2021). Structural analysis, FTIR study and optical characteristics of graphene doped Bi₂O₃ thin film prepared by modified sol-gel technique. *Results in Chemistry*, 4, 100614. <https://doi.org/10.1016/j.rechem.2022.100614>
- Saka, C. (2022). Surface modification with oxygen doping of g-C₃N₄ nanoparticles by carbon vacancy for efficient dehydrogenation of sodium borohydride in methanol. *Fuel*, 310, 122444. <https://doi.org/10.1016/j.fuel.2021.122444>
- Salgado, B. C., Cardeal, R. A., și Valentini, A. (2018). Photocatalysis and Photodegradation of Pollutants. *Nanomaterials Applications for Environmental Matrices*, 449-488. <https://doi.org/10.1016/B978-0-12-814829-7.00015-X>
- Salmasi, M., Kazemeini, M., Sadjadi, S., și Nematollahi, R. (2022). Spinel MgAl₂O₄ nanospheres coupled with modified graphitic carbon nitride nanosheets as an efficient Z-scheme photocatalyst for photodegradation of organic contaminants. *Applied Surface Science*, 585, 152615. <https://doi.org/10.1016/j.apsusc.2022.152615>
- Samal, K., Mahapatra, S., și Hibzur Ali, M. (2022). Pharmaceutical wastewater as Emerging Contaminants (EC): Treatment technologies, impact on environment and human health. *Energy Nexus*, 6, 100076. <https://doi.org/10.1016/j.nexus.2022.100076>
- Sangiorgi, N., Aversa, L., Tatti, R., Verucchi, R., și Sanson, A. (2017). Spectrophotometric method for optical band gap and electronic transitions determination of semiconductor materials. *Optical Materials*, 64, 18-25. <https://doi.org/10.1016/j.optmat.2016.11.014>
- Sanguinetti, S., Guzzi, M., & Gurioli, M. (2007). Accessing structural and electronic properties of semiconductor nanostructures via photoluminescence. *Characterization of Semiconductor Heterostructures and Nanostructures*, 175-208. <https://doi.org/10.1016/B978-0-444-53099-8.00006-3>
- Sankar, J., & Suresh Kumar, S. (2021). Synthesis and Characterization of Nano Cerium Oxide Using Hydrothermal Technique. *INCAS BULLETIN*, 13(1), 173–181. <https://doi.org/10.13111/2066-8201.2021.13.1.18>
- Sarina, S., Waclawik, E. R., și Zhu, H.. (2013). Photocatalysis on Supported Gold and Silver Nanoparticles under Ultraviolet and Visible Light Irradiation. *Green Chem.*, 44(38), 1814–1833. <https://doi.org/https://doi.org/10.1039/C3GC40450A>
- Schreiber, A., Ketelsen, I., Findenegg, G., & Hoinkis, E. (2006). Thickness of Adsorbed Nitrogen Films in SBA-15 Silica from Small-Angle Neutron Diffraction. *Studies in Surface Science and Catalysis*, 160, 17-24. [https://doi.org/10.1016/S0167-2991\(07\)80004-8](https://doi.org/10.1016/S0167-2991(07)80004-8)
- Schwarzer, A., Saplinova, T., și Kroke, E. (2013). Tri-s-triazines (s-heptazines)—From a “mystery molecule” to industrially relevant carbon nitride materials. *Coordination Chemistry Reviews*, 257(13-14), 2032-2062. <https://doi.org/10.1016/j.ccr.2012.12.006>
- Sepehvand, H., și Sharifnia, S. (2019). Photocatalytic overall water splitting by Z-scheme g-C₃N₄/BiFeO₃ heterojunction. *International Journal of Hydrogen Energy*, 44(42), 23658-23668. <https://doi.org/10.1016/j.ijhydene.2019.07.078>

- Shafawi, A. N., Mahmud, R. A., Ahmed Ali, K., Putri, L. K., Md Rosli, N. I., și Mohamed, A. R. (2020). Bi₂O₃ particles decorated on porous g-C₃N₄ sheets: Enhanced photocatalytic activity through a direct Z-scheme mechanism for degradation of Reactive Black 5 under UV-vis light. *Journal of Photochemistry and Photobiology A: Chemistry*, 389, 112289. <https://doi.org/10.1016/j.jphotochem.2019.112289>
- Shakir, I. (2024). Synthesis of Gd doped BiFeO₃/g-C₃N₄ composite: Enhancement of solar mediated photocatalytic performance. *Materials Science and Engineering: B*, 302, 117252. <https://doi.org/10.1016/j.mseb.2024.117252>
- Shanmugam, V., Muppudathi, A. L., Jayavel, S., și Jeyaperumal, K. S. (2019). Construction of high efficient g-C₃N₄ nanosheets combined with Bi₂MoO₆-Ag photocatalysts for visible-light-driven photocatalytic activity and inactivation of bacterias. *Arabian Journal of Chemistry*, 13(1), 2439-2455. <https://doi.org/10.1016/j.arabjc.2018.05.009>
- Shanmugam, V., Sanjeevamuthu, S., Jeyaperumal, K. S., și Vairamuthu, R. (2019). Fabrication of heterostructured vanadium modified g-C₃N₄/TiO₂ hybrid photocatalyst for improved photocatalytic performance under visible light exposure and antibacterial activities. *Journal of Industrial and Engineering Chemistry*, 76, 318-332. <https://doi.org/10.1016/j.jiec.2019.03.056>
- Sharifzade, G., Asghari, A., & Rajabi, M. (2017). Highly effective adsorption of xanthene dyes (rhodamine B and erythrosine B) from aqueous solutions onto lemon citrus peel active carbon: characterization, resolving analysis, optimization and mechanistic studies. *RSC Adv.*, 7(9), 5362–5371. <https://doi.org/10.1039/C6RA23157H>
- Sharma, M., Quamara, J. K., și Gaur, A.. (2018). Behaviour of multiphase PVDF in (1-x)PVDF/(x)BaTiO₃ nanocomposite films: structural, optical, dielectric and ferroelectric properties. *J Mater Sci: Mater Electron*, 29, 10875–10884. <https://doi.org/https://doi.org/10.1007/s10854-018-9163-4>
- Sharma, S., Dutta, V., Raizada, P., Hosseini-Bandegharaei, A., Thakur, V. K., Singh, A., Le, Q. V., Nguyen, V., și Singh, P. (2021). Constructing a novel all-solid-state Z-scheme BiVO₄/CQDs/FeVO₄ photocatalyst and its enhancement to the photocatalytic activity. *Materials Letters*, 297, 129940. <https://doi.org/10.1016/j.matlet.2021.129940>
- Sharma, S., Dutta, V., Raizada, P., Khan, A. A. P., Le, Q. V., Thakur, V. K., Biswas, J. K., Selvasembian, R., și Singh, P. (2021). Controllable functionalization of g-C₃N₄ mediated all-solid-state (ASS) Z-scheme photocatalysts towards sustainable energy and environmental applications. *Environmental Technology și Innovation*, 24, 101972. <https://doi.org/10.1016/j.eti.2021.101972>
- Shekardasht, M. B., Givianrad, M. H., Gharbani, P., Mirjafary, Z., și Mehrizad, A. (2020). Preparation of a novel Z-scheme g-C₃N₄/RGO/Bi₂Fe₄O₉ nanophotocatalyst for degradation of Congo Red dye under visible light. *Diamond and Related Materials*, 109, 108008. <https://doi.org/10.1016/j.diamond.2020.108008>
- Shen, Q., Wei, L., Bibi, R., Wang, K., Hao, D., Zhou, J., și Li, N. (2021). Boosting photocatalytic degradation of tetracycline under visible light over hierarchical carbon nitride microrods with carbon vacancies. *Journal of Hazardous Materials*, 413, 125376. <https://doi.org/10.1016/j.jhazmat.2021.125376>
- Shen, Q., Wu, C., și You, Z.. (2020). g-C₃N₄ nanoparticle@porous g-C₃N₄ composite photocatalytic materials with significantly enhanced photo-generated carrier separation efficiency. *Journal of Materials Research*, 35(16), 2148–2157. <https://doi.org/10.1557/jmr.2020.182>
- Shen, R., Liu, W., Ren, D., Xie, J., și Li, X. (2019). Co1.4Ni0.6P cocatalysts modified metallic carbon black/g-C₃N₄ nanosheet Schottky heterojunctions for active and durable photocatalytic H₂ production. *Applied Surface Science*, 466, 393-400. <https://doi.org/10.1016/j.apsusc.2018.10.033>
- Shi, X., Quan, S., Yang, L., Liu, C., și Shi, F.. (2019). Anchoring Co₃O₄ on BiFeO₃: achieving high photocatalytic reduction in Cr(VI) and low cobalt leaching. *J Mater Sci*, 54, 12424–12436. <https://doi.org/https://doi.org/10.1007/s10853-019-03816-x>
- Shimamura, H., Nakamoto, T., și Taguchi, K. (2023). Methylene blue decomposition in visible light by CaTiO₃/g-C₃N₄ nanorods produced by the methanol mixing method. *Energy Reports*, 9, 284-287. <https://doi.org/10.1016/j.egyr.2023.10.009>
- Silva, T. L. D., Costa, C. S. D., Silva, M. G. C. D., & Vieira, M. G. A. (2022). Overview of non-steroidal anti-inflammatory drugs degradation by advanced oxidation processes. *Journal of Cleaner Production*, 346, 131226. <https://doi.org/10.1016/j.jclepro.2022.131226>
- Singh, A. K., Kumar, A., și Chandra, R. (2022). Environmental pollutants of paper industry wastewater and their toxic effects on human health and ecosystem. *Bioresource Technology Reports*, 20, 101250. <https://doi.org/10.1016/j.briteb.2022.101250>
- Singh, J., și Basu, S. (2020). Synthesis of mesoporous magnetic Fe₂O₃/g-C₃N₄ monoliths for Rhodamine B removal. *Microporous and Mesoporous Materials*, 303, 110299. <https://doi.org/10.1016/j.micromeso.2020.110299>
- Singh, J., Yadav, P., Pal, A. K., și Mishra, V. (2020). Water Pollutants: Origin and Status. *Sensors in Water Pollutants Monitoring: Role of Material*. Advanced Functional Materials and Sensors, 5–20. https://doi.org/10.1007/978-981-15-0671-0_2

- Sivakumar, S., Anusuya, D., Khatiwada, C. P., Sivasubramanian, J., Venkatesan, A., și Soundhirarajan, P. (2014). Characterizations of diverse mole of pure and Ni-doped α -Fe₂O₃ synthesized nanoparticles through chemical precipitation route. *Spectrochimica Acta Part A: Molecular and Biomolecular Spectroscopy*, 128, 69-75. <https://doi.org/10.1016/j.saa.2014.02.136>
- Soltani, T., și Entezari, M. H. (2013). Sono-synthesis of bismuth ferrite nanoparticles with high photocatalytic activity in degradation of Rhodamine B under solar light irradiation. *Chemical Engineering Journal*, 223, 145-154. <https://doi.org/10.1016/j.cej.2013.02.124>
- Subha, N., Ravi Sankar, A., Navaneethakrishnan, S., Lavanya, J., și Aakash, M. (2024). Perovskite-based Z-scheme photocatalytic system for hydrogen production. *Catalysis Communications*, 106903. <https://doi.org/10.1016/j.catcom.2024.106903>
- Sun, C., Yang, J., Xu, M., Cui, Y., Ren, W., Zhang, J., Zhao, H., și Liang, B. (2021). Recent intensification strategies of SnO₂-based photocatalysts: A review. *Chemical Engineering Journal*, 427, 131564. <https://doi.org/10.1016/j.cej.2021.131564>
- Sun, H., Zou, C., și Tang, W. (2022). Designing double Z-scheme heterojunction of g-C₃N₄/Bi₂MoO₆/Bi₂WO₆ for efficient visible-light photocatalysis of organic pollutants. *Colloids and Surfaces A: Physicochemical and Engineering Aspects*, 654, 130105. <https://doi.org/10.1016/j.colsurfa.2022.130105>
- Sun, S., Li, J., Song, P., Cui, J., Yang, Q., Zheng, X., Yang, Z., și Liang, S. (2020). Facile constructing of isotype g-C₃N₄(bulk)/g-C₃N₄(nanosheet) heterojunctions through thermal polymerization of single-source glucose-modified melamine: An efficient charge separation system for photocatalytic hydrogen production. *Applied Surface Science*, 500, 143985. <https://doi.org/10.1016/j.apsusc.2019.143985>
- Sun, Z., Li, Y., Duan, R., Li, S., Lan, B., și Ma, Z. (2024). Synthesis of Ag₂ZnGeO₄/g-C₃N₄ binary heterostructure: A Z-scheme heterojunction photocatalyst for enhanced tetracycline degradation under visible light. *Chemical Engineering Science*, 296, 120253. <https://doi.org/10.1016/j.ces.2024.120253>
- Syed, A., Siddaramanna, A., Elgorban, A. M., Hakeem, D. A., & Nagaraju, G. (2020). Hydrogen Peroxide-Assisted Hydrothermal Synthesis of BiFeO₃ Microspheres and Their Dielectric Behavior. *Magnetochemistry*, 6(3), 42. <https://doi.org/10.3390/magnetochemistry6030042>
- Syoufian, A., și Kurniawan, R. (2023). Visible-Light-Induced Photodegradation of Methylene Blue Using Mn,N-codoped ZrTiO₄ as Photocatalyst. 23(3). <https://doi.org/10.22146/ijc.79261>
- Tahir, B., Tahir, M., Kumar, N., Siraj, M., și Fatehmulla, A. (2024). Template-free synthesis of hierarchical graphitic carbon nitride (H-gC₃N₄) embedded with NiO for water splitting and CO₂ reduction with the role of hole scavenger: A comparative investigation. *Materials Science in Semiconductor Processing*, 178, 108379. <https://doi.org/10.1016/j.mssp.2024.108379>
- Tan, J., Yu, M., Cai, Z., Lou, X., Wang, J., și Li, Z. (2021). MOF-derived synthesis of MnS/In₂S₃ p-n heterojunctions with hierarchical structures for efficient photocatalytic CO₂ reduction. *Journal of Colloid and Interface Science*, 588, 547-556. <https://doi.org/10.1016/j.jcis.2020.12.110>
- Tang, J., Er, C., Kong, X. Y., Ng, B., Chew, Y., Tan, L., Mohamed, A. R., și Chai, S. (2023). Two-dimensional interface engineering of g-C₃N₄/g-C₃N₄ nanohybrid: Synergy between isotype and p-n heterojunctions for highly efficient photocatalytic CO₂ reduction. *Chemical Engineering Journal*, 466, 143287. <https://doi.org/10.1016/j.cej.2023.143287>
- Tao, F., Dong, Y., și Yang, L. (2023). NiO/g-C₃N₄ quantum dots for photocatalytic CO₂ reduction. *Applied Surface Science*, 638, 158044. <https://doi.org/10.1016/j.apsusc.2023.158044>
- Tekin, G., Ersöz, G., și Atalay, S. (2023). Comparison of synthesis methods for BiOI/g-C₃N₄ heterojunction photocatalysts and testing their visible light activity in sugar processing wastewater treatment. *Journal of Industrial and Engineering Chemistry*, 126, 292-306. <https://doi.org/10.1016/j.jiec.2023.06.020>
- Teng, Z., Yang, N., Lv, H., Wang, S., Hu, M., Wang, C., Wang, D., și Wang, G. (2019). Edge-Functionalized g-C₃N₄ Nanosheets as a Highly Efficient Metal-free Photocatalyst for Safe Drinking Water. *Chem*, 5(3), 664-680. <https://doi.org/10.1016/j.chempr.2018.12.009>
- Thang, N. Q., Sabbah, A., Chen, L., Chen, K., Hai, L. V., Thi, C. M., și Viet, P. V. (2021). Localized surface plasmonic resonance role of silver nanoparticles in the enhancement of long-chain hydrocarbons of the CO₂ reduction over Ag-gC₃N₄/ZnO nanorods photocatalysts. *Chemical Engineering Science*, 229, 116049. <https://doi.org/10.1016/j.ces.2020.116049>
- Thommes, M., Kaneko, K., Neimark, A. V., Olivier, J. P., Rodriguez-Reinoso, F., Rouquerol, J., și Sing, K. S. W. (2015). Physisorption of gases, with special reference to the evaluation of surface area and pore size distribution (IUPAC Technical Report). *Pure and Applied Chemistry*, 87(9-10), 1051–1069. <https://doi.org/https://doi.org/10.1515/pac-2014-1117>
- Thorat, N., Borade, S., Varma, R., Yadav, A., Gupta, S., Fernandes, R., Sarawade, P., Bhanage, B., și Patel, N. (2021). High surface area Nanoflakes of P-gC₃N₄ photocatalyst loaded with Ag nanoparticle with intraplanar and interplanar charge separation for environmental remediation. *Journal of Photochemistry and Photobiology A: Chemistry*, 408, 113098. <https://doi.org/10.1016/j.jphotochem.2020.113098>

- Tian, H., Wu, H., Fang, Y., Li, R., și Huang, Y. (2020). Hydrothermal synthesis of m-BiVO₄/t-BiVO₄ heterostructure for organic pollutants degradation: Insight into the photocatalytic mechanism of exposed facets from crystalline phase controlling. *Journal of Hazardous Materials*, 399, 123159. <https://doi.org/10.1016/j.jhazmat.2020.123159>
- Tian, M., Hu, C., Yu, J., și Chen, L. (2023). Carbon quantum dots (CQDs) mediated Z-scheme g-C₃N₄-CQDs/BiVO₄ heterojunction with enhanced visible light photocatalytic degradation of Paraben. *Chemosphere*, 323, 138248. <https://doi.org/10.1016/j.chemosphere.2023.138248>
- Tomar, T., Kahandawala, N., Kaur, J., Thounaojam, L., Choudhary, I., și Bera, S. (2023). Bioremediation of synthetic dyes from wastewater by using microbial nanocomposites: An emerging field for water pollution management. *Biocatalysis and Agricultural Biotechnology*, 51, 102767. <https://doi.org/10.1016/j.bcab.2023.102767>
- Ton That, B., Che, Q. C., Vo, M. Q., Bo Khanh, N., Nguyen, T. H. N., Le, T. P. T., Dang Hai, M. T., Le Gia, H., & Nguyen, H. H.. (2023). Construction of Z-scheme heterojunction TiO₂-ZnO@Oxygen-doped gC₃N₄ composite for enhancing H₂O₂ photoproduction and removal of pharmaceutical pollutants under visible light. *Surfaces and Interfaces*, 43(Part A), 103516. <https://doi.org/https://doi.org/10.1016/j.surfin.2023.103516>
- Tong, R., Wang, X., Zhou, X., Liu, Q., Wang, H., Peng, X., Liu, X., Zhang, Z., Wang, H., și Lund, P. D. (2017). Cobalt-Phosphate modified TiO₂/BiVO₄ nanoarrays photoanode for efficient water splitting. *International Journal of Hydrogen Energy*, 42(8), 5496-5504. <https://doi.org/10.1016/j.ijhydene.2016.08.168>
- Tran, D. A., Nguyen Pham, C. T., Nguyen Ngoc, T., Nguyen Phi, H., Hoai Ta, Q. T., Truong, D. H., Nguyen, V. T., Luc, H. H., Nguyen, L. T., Dao, N. N., Kim, S. J., și Vo, V. (2021). One-step synthesis of oxygen doped g-C₃N₄ for enhanced visible-light photodegradation of Rhodamine B. *Journal of Physics and Chemistry of Solids*, 151, 109900. <https://doi.org/10.1016/j.jpcs.2020.109900>
- Tran, D. A., Nguyen Pham, C. T., Nguyen Ngoc, T., Nguyen Phi, H., Hoai Ta, Q. T., Truong, D. H., Nguyen, V. T., Luc, H. H., Nguyen, L. T., Dao, N. N., Kim, S. J., și Vo, V. (2021). One-step synthesis of oxygen doped g-C₃N₄ for enhanced visible-light photodegradation of Rhodamine B. *Journal of Physics and Chemistry of Solids*, 151, 109900. <https://doi.org/10.1016/j.jpcs.2020.109900>
- Undavalli, V. K., Ling, C., & Khandelwal, B. (2020). Impact of alternative fuels and properties on elastomer compatibility. *Aviation Fuels*, 113-132. <https://doi.org/10.1016/B978-0-12-818314-4.00001-7>
- Vallejos, M. E., Felissia, F. E., & Area, M. C. (2017). Hydrothermal treatments applied to agro- and forest-industrial waste to produce high added-value compounds. 2019 IEEE International Conference on Sensors and Nanotechnology, Penang, Malaysia, 12(1), 2058–2080. <https://doi.org/10.15376/BIORES.12.1>
- Veerakumar, P., Sangili, A., și Lin, K. (2021). Graphitic carbon nitride for photodegradation of dye Molecules. *Nanoscale Graphitic Carbon Nitride*, 97-140. <https://doi.org/10.1016/B978-0-12-823034-3.00010-8>
- Vervliet, F., Willinger, D., & Alvarez, L. C. (2022). Characterization of BiFeO₃ nanotube and Y-junction BiFeO₃ nanotubes. *Experimental and Theoretical NANOTECHNOLOGY*, 5, 187 – 192. <https://doi.org/10.56053/5.3.169>
- Vijayalakshmi, M., Rui, W., Reddy, K. R., Reddy, C., și Shim, J. (2024). Hierarchical structures of 2D g-C₃N₄ sheet supported 3D star-shaped flower CuO nanohybrids for improved photoelectrochemical water oxidation and visible light induced photodegradation of antibiotics. *Journal of Environmental Chemical Engineering*, 12(1), 111889. <https://doi.org/10.1016/j.jece.2024.111889>
- Vinodh, S., și Pandikumar, A. (2021). Ni integrated S-gC₃N₄/BiOBr based Type-II heterojunction as a durable catalyst for photoelectrochemical water splitting. *Renewable Energy*, 173, 507-519. <https://doi.org/10.1016/j.renene.2021.03.121>
- Wainwright, M. (2009). Photosensitisers in Biomedicine. Chichester: John Wiley & Sons, 68. https://books.google.ro/books?hl=en&lr=&id=R95xyxhAF6QC&oi=fnd&pg=PR7&dq=Wainwright+M.+Photosensitisers+in+biomedicine.+Chichester:+John+Wiley+%26+Sons+Ltd%3B+2009.&ots=azy_Q-VXxM&sig=m19bBCQ-YFEMHI4wojH33AJL2tU&redir_esc=y#v=onepage&q&f=false
- Wang, C., Kong, X., Yu, Z., Tao, X., Huang, L., și Shang, S. (2023). Construction of g-C₃N₄/Fe-MOFs Type-II heterojunction promotes photo-Fenton degradation of doxycycline. *Separation and Purification Technology*, 326, 124790. <https://doi.org/10.1016/j.seppur.2023.124790>
- Wang, C., Liu, X., He, W., Zhao, Y., Wei, Y., Xiong, J., Liu, J., Li, J., Song, W., Zhang, X., și Zhao, Z. (2020). All-solid-state Z-scheme photocatalysts of g-C₃N₄/Pt/macroporous-(TiO₂@carbon) for selective boosting visible-light-driven conversion of CO₂ to CH₄. *Journal of Catalysis*, 389, 440-449. <https://doi.org/10.1016/j.jcat.2020.06.026>
- Wang, D., Li, J., și Xu, Z. (2019). Synthesis of g-C₃N₄/NiO p-n heterojunction materials with ball-flower morphology and enhanced photocatalytic performance for the removal of tetracycline and Cr⁶⁺. *J Mater Sci.*, 54, 11417–11434. <https://doi.org/https://doi.org/10.1007/s10853-019-03692-5>

- Wang, D., Yu, X., Feng, Q., Lin, X., Huang, Y., Huang, X., Li, X., Chen, K., Zhao, B., și Zhang, Z. (2021). In-situ growth of β -Bi₂O₃ nanosheets on g-C₃N₄ to construct direct Z-scheme heterojunction with enhanced photocatalytic activities. *Journal of Alloys and Compounds*, 859, 157795. <https://doi.org/10.1016/j.jallcom.2020.157795>
- Wang, F., Chen, P., Feng, Y., Xie, Z., Liu, Y., Su, Y., Zhang, Q., Wang, Y., Yao, K., Lv, W., și Liu, G. (2017). Facile synthesis of N-doped carbon dots/g-C₃N₄ photocatalyst with enhanced visible-light photocatalytic activity for the degradation of indomethacin. *Applied Catalysis B: Environmental*, 207, 103-113. <https://doi.org/10.1016/j.apcatb.2017.02.024>
- Wang, F., Liu, X., & Gao, F. (2018). Fundamentals of Solar Cells and Light-Emitting Diodes. *Advanced Nanomaterials for Solar Cells and Light Emitting Diodes*, 1-35. <https://doi.org/10.1016/B978-0-12-813647-8.00001-1>
- Wang, F., Qin, X., Meng, Y., Guo, Z., Yang, L., & Ming, Y. (2013). Hydrothermal synthesis and characterization of α -Fe₂O₃ nanoparticles. *Materials Science in Semiconductor Processing*, 16(3), 802-806. <https://doi.org/10.1016/j.mssp.2012.12.029>
- Wang, J., Xu, M., Tremblay, P., și Zhang, T. (2022). Improved polyhydroxybutyrate production by Cupriavidus necator and the photocatalyst graphitic carbon nitride from fructose under low light intensity. *International Journal of Biological Macromolecules*, 203, 526-534. <https://doi.org/10.1016/j.ijbiomac.2022.01.179>
- Wang, K., Li, Q., Liu, B., Cheng, B., Ho, W., și Yu, J. (2015). Sulfur-doped g-C₃N₄ with enhanced photocatalytic CO₂-reduction performance. *Applied Catalysis B: Environmental*, 176-177, 44-52. <https://doi.org/10.1016/j.apcatb.2015.03.045>
- Wang, K., Yang, S., și Wu, Y. (2022). Enhanced photocatalytic water splitting of g-C₃N₄ loaded with Fe doped Co₃O₄ and Pt dual-cocatalysts. *Journal of Environmental Chemical Engineering*, 10(5), 108353. <https://doi.org/10.1016/j.jece.2022.108353>
- Wang, L., Dong, Y., Zhang, J., Tao, F., și Xu, J. (2022). Construction of NiO/g-C₃N₄ p-n heterojunctions for enhanced photocatalytic CO₂ reduction. *Journal of Solid State Chemistry*, 308, 122878. <https://doi.org/10.1016/j.jssc.2022.122878>
- Wang, L., Li, Y., și Han, P. (2021). Electrospinning preparation of g-C₃N₄/Nb₂O₅ nanofibers heterojunction for enhanced photocatalytic degradation of organic pollutants in water. *Scientific Reports*, 11(1), 1-12. <https://doi.org/10.1038/s41598-021-02161-x>
- Wang, L., Xu, J., Gao, B., Bian, L., și Chen, X. (2013). Synthesis of pure phase BiFeO₃ powders by direct thermal decomposition of metal nitrates. *Ceramics International*, 39, S221-S225. <https://doi.org/10.1016/j.ceramint.2012.10.066>
- Wang, L., Zang, L., Shen, F., Wang, J., Yang, Z., Zhang, Y., și Sun, L. (2022). Preparation of Cu modified g-C₃N₄ nanorod bundles for efficiently photocatalytic CO₂ reduction. *Journal of Colloid and Interface Science*, 622, 336-346. <https://doi.org/10.1016/j.jcis.2022.04.099>
- Wang, M., Tan, G., Ren, H., Xia, A., și Liu, Y. (2019). Direct double Z-scheme O-g-C₃N₄/Zn₂SnO₄N/ZnO ternary heterojunction photocatalyst with enhanced visible photocatalytic activity. *Applied Surface Science*, 492, 690-702. <https://doi.org/10.1016/j.apsusc.2019.06.260>
- Wang, N., Cheng, L., Liao, Y., și Xiang, Q. (2023). Effect of Functional Group Modifications on the Photocatalytic Performance of g-C₃N₄. *Small*, 19(27), 2300109. <https://doi.org/10.1002/smll.202300109>
- Wang, P., Li, M., Song, M., Li, H., Ping, Z., Zhao, G., Wu, Y., și Li, L. (2024). Boosting photocatalytic activity via interfacial interaction and BiOCl0.2Br0.8/g-C₃N₄ Z-scheme heterojunction with nitrogen-oxygen vacancy. *Optical Materials*, 151, 115326. <https://doi.org/10.1016/j.optmat.2024.115326>
- Wang, Q., Shao, Y., Gao, N., Chu, W., Chen, J., Lu, X., Zhu, Y., și An, N. (2017). Activation of peroxymonosulfate by Al₂O₃-based CoFe₂O₄ for the degradation of sulfachloropyridazine sodium: Kinetics and mechanism. *Separation and Purification Technology*, 189, 176-185. <https://doi.org/10.1016/j.seppur.2017.07.046>
- Wang, Q., Tian, Y., Chen, M., Guan, R., și Yuan, H. (2022). Preparation of porous C doped g-C₃N₄ nanosheets controlled by acetamide for photocatalytic H₂ evolution. *International Journal of Hydrogen Energy*, 47(71), 30517-30529. <https://doi.org/10.1016/j.ijhydene.2022.07.026>
- Wang, Q.- shan ., Wang, Q.- shan ., Yuan, Y.- chao ., Hu, X., Jin, D.- wei ., Zhang, F.- kai ., Liu, X.- jing ., Deng, J.- fan ., Pan, W.- guo ., și Guo, R.- tang . (2024). Dual Z-Scheme BiOCl/g-C₃N₄/Ag₂CrO₄ Heterojunction for Boosting Photocatalytic CO₂ Reduction. *Energy Fuels*, 38(5), 4554-4565. <https://doi.org/https://doi.org/10.1021/acs.energyfuels.3c04784>
- Wang, R., și Sun, S. (2022). Advanced Nanomaterials for Electrochemical Energy Conversion and Storage. <https://doi.org/10.3390/books978-3-0365-5840-0>
- Wang, S., Gao, Y., Miao, S., Liu, T., Mu, L., Li, R., Fan, F., și Li, C.. (2017). Positioning the Water Oxidation Reaction Sites in Plasmonic Photocatalysts. 139(34), 11771-11778. <https://doi.org/10.1021/JACS.7B04470>

- Wang, T., Bai, Y., Si, W., Mao, W., Gao, Y., și Liu, S. (2020). Heterogeneous photo-Fenton system of novel ternary Bi₂WO₆/BiFeO₃/g-C₃N₄ heterojunctions for highly efficient degrading persistent organic pollutants in wastewater. *Journal of Photochemistry and Photobiology A: Chemistry*, 404, 112856. <https://doi.org/10.1016/j.jphotochem.2020.112856>
- Wang, W., An, T., Li, G., Xia, D., Zhao, H., Yu, J. C., și Wong, P. K. (2017). Earth-abundant Ni₂P/g-C₃N₄ lamellar nanohybrids for enhanced photocatalytic hydrogen evolution and bacterial inactivation under visible light irradiation. *Applied Catalysis B: Environmental*, 217, 570-580. <https://doi.org/10.1016/j.apcatb.2017.06.027>
- Wang, X., Wang, X., Tian, W., Meng, A., Li, Z., Li, S., Wang, L., și Li, G. (2022). High-energy ball-milling constructing P-doped g-C₃N₄/MoP heterojunction with MoN bond bridged interface and Schottky barrier for enhanced photocatalytic H₂ evolution. *Applied Catalysis B: Environmental*, 303, 120933. <https://doi.org/10.1016/j.apcatb.2021.120933>
- Wang, Y., Ban, C., Feng, Y., Ma, J., Ding, J., Wang, X., Ruan, L., Duan, Y., Brik, M. G., Gan, L., și Zhou, X. (2024). Unveiling the synergistic role of nitrogen vacancies and Z-scheme heterojunction in g-C₃N₄/β-Bi₂O₃ hybrids for enhanced CO₂ photoreduction. *Nano Energy*, 124, 109494. <https://doi.org/10.1016/j.nanoen.2024.109494>
- Wang, Y., Deng, Y., Gong, D., Yang, L., Li, L., Zhou, Z., Xiong, S., Tang, R., și Zheng, J. (2021). Visible light excited graphitic carbon nitride for efficient degradation of thiamethoxam: Removal efficiency, factors effect and reaction mechanism study. *Journal of Environmental Chemical Engineering*, 9(4), 105739. <https://doi.org/10.1016/j.jece.2021.105739>
- Wang, Y., Qiao, M., Lv, J., Xu, G., Zheng, Z., Zhang, X., și Wu, Y.. (2018). g-C₃N₄/g-C₃N₄ isotype heterojunction as an efficient platform for direct photodegradation of antibiotic. *Fullerenes, Nanotubes and Carbon Nanostructures*, 26(4), 210–217. <https://doi.org/10.1080/1536383X.2018.1427737>
- Wang, Y., Tan, G., Dang, M., Dong, S., Liu, Y., Liu, T., Ren, H., Xia, A., și Lv, L. (2022). Study on surface modification of g-C₃N₄ photocatalyst. *Journal of Alloys and Compounds*, 908, 164507. <https://doi.org/10.1016/j.jallcom.2022.164507>
- Wang, Y., Yu, J., Peng, W., Tian, J., și Yang, C. (2019). Novel multilayer TiO₂ heterojunction decorated by low g-C₃N₄ content and its enhanced photocatalytic activity under UV, visible and solar light irradiation. *Scientific Reports*, 9(1), 1-14. <https://doi.org/10.1038/s41598-019-42438-w>
- Wang, Z., Fan, Y., Wu, R., Huo, Y., Wu, H., Wang, F., și Xu, X.. (2018). Novel magnetic g-C₃N₄/α-Fe₂O₃/Fe₃O₄ composite for the very effective visible-light-Fenton degradation of Orange II. *RSC Adv.* 8 , (10), 5180–5188. <https://doi.org/10.1039/C7RA13291C>
- Wang, Z., Wang, J., Iqbal, W., Shi, M., Yang, L., Chang, N., și Qin, C. (2023). Morphology-effects of four different dimensional graphitic carbon nitrides on photocatalytic performance of dye degradation, water oxidation and splitting. *Journal of Physics and Chemistry of Solids*, 173, 111109. <https://doi.org/10.1016/j.jpcs.2022.111109>
- Wei, J., Zhang, C., & Xu, Z. (2012). Low-temperature hydrothermal synthesis of BiFeO₃ microcrystals and their visible-light photocatalytic activity. *Materials Research Bulletin*, 47(11), 3513-3517. <https://doi.org/10.1016/j.materresbull.2012.06.068>
- Wei, L., Zhang, X., Wang, J., Yang, J., și Yang, X. (2023). Synthesis of Fe₂O₃/g-C₃N₄ composite with efficient photocatalytic degradation for methyl orange. *Inorganic Chemistry Communications*, 159, 111890. <https://doi.org/10.1016/j.inoche.2023.111890>
- Wu, M., Yan, J., Zhang, X., & Zhao, M. (2015). Synthesis of g-C₃N₄ with heating acetic acid treated melamine and its photocatalytic activity for hydrogen evolution. *Applied Surface Science*, 354, 196-200. <https://doi.org/10.1016/j.apsusc.2015.01.132>
- Wu, S., Yu, Y., Qiao, K., Meng, J., Jiang, N., și Wang, J. (2021). A simple synthesis route of sodium-doped g-C₃N₄ nanotubes with enhanced photocatalytic performance. *Journal of Photochemistry and Photobiology A: Chemistry*, 406, 112999. <https://doi.org/10.1016/j.jphotochem.2020.112999>
- Wu, Z., Zhao, Y., Mi, L., Guo, Y., Wang, H., Liu, K., Zhang, K., și Wang, B. (2021). Preparation of g-C₃N₄/TiO₂ by template method and its photocatalytic performance. *Colloids and Surfaces A: Physicochemical and Engineering Aspects*, 624, 126756. <https://doi.org/10.1016/j.colsurfa.2021.126756>
- Xia, X., Xie, C., Xu, B., Ji, X., Gao, G., și Yang, P. (2022). Role of B-doping in g-C₃N₄ nanosheets for enhanced photocatalytic NO removal and H₂ generation. *Journal of Industrial and Engineering Chemistry*, 105, 303-312. <https://doi.org/10.1016/j.jiec.2021.09.033>
- Xia, X., Xu, B., Zhang, H., Ji, K., Ji, X., Wang, D., și Yang, P. (2022). NiCoP/g-C₃N₄ Schottky heterojunctions towards efficient photocatalytic NO oxidation. *Journal of Alloys and Compounds*, 928, 167207. <https://doi.org/10.1016/j.jallcom.2022.167207>
- Xia, Y., Chu, S., și Liao, Z.. (2020). Z-Scheme mechanism study of ternary BiPO₄/reduced graphene oxide/protonated g-C₃N₄ photocatalyst with interfacial electric field mediating for the effective

- photocatalytic degradation of tetracycline. *J Mater Sci: Mater Electron*, 31, 14886–14900. <https://doi.org/https://doi.org/10.1007/s10854-020-04050-x>
- Xia, Y., Zhu, B., Qin, X., Ho, W., și Yu, J. (2023). Zinc porphyrin/g-C₃N₄ S-scheme photocatalyst for efficient H₂O₂ production. *Chemical Engineering Journal*, 467, 143528. <https://doi.org/10.1016/j.cej.2023.143528>
- Xiao, D., Dai, K., Qu, Y., Yin, Y., și Chen, H. (2015). Hydrothermal synthesis of α-Fe₂O₃/g-C₃N₄ composite and its efficient photocatalytic reduction of Cr(VI) under visible light. *Applied Surface Science*, 358, 181–187. <https://doi.org/10.1016/j.apsusc.2015.09.042>
- Xiao, D., Siqiao, L., Liu, S., He, H., He, H., și Lu, J. (2016). One-step hydrothermal synthesis of photoluminescent carbon nitride dots derived from ionic liquids. *The Royal Society of Chemistry*, 40(1), 320–324. <https://doi.org/10.1039/C5NJ01717C>
- Xiao, M., Luo, B., Wang, S., și Wang, L. (2018). Solar energy conversion on g-C₃N₄ photocatalyst: Light harvesting, charge separation, and surface kinetics. *Journal of Energy Chemistry*, 27(4), 1111–1123. <https://doi.org/10.1016/j.jechem.2018.02.018>
- Xiao, M., Wang, Z., Luo, B., Wang, S., și Wang, L. (2019). Enhancing photocatalytic activity of tantalum nitride by rational suppression of bulk, interface and surface charge recombination. *Applied Catalysis B: Environmental*, 246, 195–201. <https://doi.org/10.1016/j.apcatb.2019.01.053>
- Xie, D., Zhang, S., Wu, T., He, M., Cai, Y., Zhao, P., și Cheng, F. (2022). Efficient RhB degradation using MnFe₂O₄/g-C₃N₄ composites under visible light irradiation. *Optical Materials*, 124, 111965. <https://doi.org/10.1016/j.optmat.2021.111965>
- Xie, Z., Feng, Y., Wang, F., Chen, D., Zhang, Q., Zeng, Y., Lv, W., și Liu, G. (2018). Construction of carbon dots modified MoO₃/g-C₃N₄ Z-scheme photocatalyst with enhanced visible-light photocatalytic activity for the degradation of tetracycline. *Applied Catalysis B: Environmental*, 229, 96–104. <https://doi.org/10.1016/j.apcatb.2018.02.011>
- Xing, H., Shi, J., Li, Y., și Wu, J. (2024). Visible light driven generation of dual active oxygen species on Zr-MOF/g-C₃N₄ photocatalyst for highly selective photocatalytic oxidation of sulfides to sulfoxides. *Inorganic Chemistry Communications*, 162, 112129. <https://doi.org/10.1016/j.inoche.2024.112129>
- Xu, D., Sun, F., Xu, Q., Shao, H., Liu, F., Wang, X., Ma, Q., Yu, W., Dong, X., și Yu, H. (2024). A visible-light-driven dual Z-scheme CeVO₄/g-C₃N₄/LaNiO₃ hierarchical nanostructure photocatalyst for effective removal of organic pollutants. *Materials Today Communications*, 39, 108721. <https://doi.org/10.1016/j.mtcomm.2024.108721>
- Xu, G., You, F., și Li, X.. (2021). La-Doped ZnO/g-C₃N₄ Heterojunction for Efficient Degradation of Organic Contamination Under Visible Light Irradiation. 31, 375–383. <https://doi.org/https://doi.org/10.1007/s10904-020-01779-0>
- Xu, J., și Ma, S. (2023). High-efficiency photocatalytic degradation of RhB by protonation of g-C₃N₄ with Ag-loaded TiO₂ nanofibers. *Journal of Crystal Growth*, 617, 127290. <https://doi.org/10.1016/j.jcrysgro.2023.127290>
- Xu, M., Wang, G., Li, H., Zhang, T., Li, J., Wang, Y., Peng, Y., și Si, W. (2024). Photocatalytic dye degradation by synergistically Cu LSPR and Schottky barrier enhanced Cu/gC₃N₄. *Catalysis Today*, 433, 114689. <https://doi.org/10.1016/j.cattod.2024.114689>
- Xu, Q., Cheng, B., Yu, J., și Liu, G. (2017). Making co-condensed amorphous carbon/g-C₃N₄ composites with improved visible-light photocatalytic H₂-production performance using Pt as cocatalyst. *Carbon*, 118, 241–249. <https://doi.org/10.1016/j.carbon.2017.03.052>
- Xu, Z., Zhong, J., Chen, J., Li, M., Zeng, L., și Yang, H. (2023). Construction of S-scheme Co₃O₄/g-C₃N₄ heterojunctions with boosted photocatalytic H₂ production performance. *Surfaces and Interfaces*, 38, 102838. <https://doi.org/10.1016/j.surfin.2023.102838>
- Xue, J., Jing, Y., Li, L., Yin, X., Xu, Z., Li, J., și Wang, Y. (2024). Fe–N bonds induced highly efficient Fe₃O₄/g-C₃N₄ heterojunction for electrocatalytic hydrogen evolution. *Colloids and Surfaces A: Physicochemical and Engineering Aspects*, 685, 133158. <https://doi.org/10.1016/j.colsurfa.2024.133158>
- Yadav, A., Gupta, S., Bhagat, B., Yadav, M., Dashora, A., Varma, R., Thorat, N., Patel, R., și Patel, N. (2022). Unraveling the synergy between oxygen doping and embedding Fe nanoparticles in gC₃N₄ towards enhanced photocatalytic rates. *Applied Surface Science*, 603, 154404. <https://doi.org/10.1016/j.apsusc.2022.154404>
- Yadav, T., Palma, J., Singh, D., și Michea, S. (2020). Facile synthesis and magnetic behavior of 1D g-C₃N₄. *Journal of Solid State Chemistry*, 290, 121539. <https://doi.org/10.1016/j.jssc.2020.121539>
- Yan, B. (2021). Metal-organic frameworks (MOFs), rare earth MOFs, and rare earth functionalized MOF hybrid materials. *Rare Earth Metal-Organic Framework Hybrid Materials for Luminescence Responsive Chemical Sensors*, 3-40. <https://doi.org/10.1016/B978-0-323-91236-5.00003-7>
- Yan, P., Jin, Y., Xu, L., Mo, Z., Qian, J., Chen, F., Yuan, J., Xu, H., și Li, H. (2022). Enhanced photoelectrochemical aptasensing triggered by nitrogen deficiency and cyano group simultaneously engineered 2D carbon

- nitride for sensitively monitoring atrazine. *Biosensors and Bioelectronics*, 206, 114144. <https://doi.org/10.1016/j.bios.2022.114144>
- Yan, W., Yan, L., și Jing, C. (2019). Impact of doped metals on urea-derived g-C₃N₄ for photocatalytic degradation of antibiotics: Structure, photoactivity and degradation mechanisms. *Applied Catalysis B: Environmental*, 244, 475-485. <https://doi.org/10.1016/j.apcatb.2018.11.069>
- Yan, Y., Yang, H., Yi, Z., Li, R., și Xian, T. (2020). Design of ternary CaTiO₃/g-C₃N₄/AgBr Z-scheme heterostructured photocatalysts and their application for dye photodegradation. *Solid State Sciences*, 100, 106102. <https://doi.org/10.1016/j.solidstatesciences.2019.106102>
- Yan, Z., Wang, X., Fei, R., Zhu, R., Zhao, J., și Wang, W. (2024). Mn-S chemical bond mediated Z-scheme photocatalyst boosting efficient H₂ evolution with apparent quantum yield exceeding 32% under visible light. *Chemical Engineering Journal*, 491, 152153. <https://doi.org/10.1016/j.cej.2024.152153>
- Yang, B., Bu, H., și Liu, X. (2021). Tunable electron property induced by B-doping in g-C₃N₄. *RSC Advances*, 11(26), 15695–15700. <https://doi.org/10.1039/DRA00149C>
- Yang, F., Yan, L., Zhang, B., He, X., Li, Y., Tang, Y., Ma, C., și Li, Y. (2019). Fabrication of ternary NaTaO₃/g-C₃N₄/G heterojunction photocatalyst with enhanced activity for Rhodamine B degradation. *Journal of Alloys and Compounds*, 805, 802-810. <https://doi.org/10.1016/j.jallcom.2019.07.052>
- Yang, H. (2021). A short review on heterojunction photocatalysts: Carrier transfer behavior and photocatalytic mechanisms. *Materials Research Bulletin*, 142, 111406. <https://doi.org/10.1016/j.materresbull.2021.111406>
- Yang, H., Yang, B., Chen, W., și Yang, J. (2022). Preparation and Photocatalytic Activities of TiO₂-Based Composite Catalysts. *Catalysts*, 12(10), 1263. <https://doi.org/10.3390/catal12101263>
- Yang, J., Song, H., Wu, J., și Zhu, X. (2023). Ag nanoparticle-modified P-doped tubular g-C₃N₄ for enhanced degradation of organic pollutants. *Inorganic Chemistry Communications*, 153, 110827. <https://doi.org/10.1016/j.inoche.2023.110827>
- Yang, K., Venkataraman, M., Wiener, J., & Militky, J. (2022). Photoluminescence PCMs and their potential for thermal adaptive textiles. *Multifunctional Phase Change Materials*, 255-277. <https://doi.org/10.1016/B978-0-323-85719-2.00006-7>
- Yang, Q., Li, R., Wei, S., și Yang, R. (2022). Schottky functionalized Z-scheme heterojunction photocatalyst Ti₂C₃/g-C₃N₄/BiOCl: Efficient photocatalytic H₂O₂ production via two-channel pathway. *Applied Surface Science*, 572, 151525. <https://doi.org/10.1016/j.apsusc.2021.151525>
- Yang, W., Sun, K., Wan, J., Ma, Y., Liu, J., Zhu, B., Liu, L., & Fu, F. (2022). Boosting holes generation and O₂ activation by bifunctional NiCoP modified Bi₄O₅Br₂ for efficient photocatalytic aerobic oxidation. *Applied Catalysis B: Environmental*, 320, 121978. <https://doi.org/10.1016/j.apcatb.2022.121978>
- Yang, Y., Guo, Y., Liu, F., Yuan, X., Guo, Y., Zhang, S., Guo, W., și Huo, M. (2013). Preparation and enhanced visible-light photocatalytic activity of silver deposited graphitic carbon nitride plasmonic photocatalyst. *Applied Catalysis B: Environmental*, 142-143, 828-837. <https://doi.org/10.1016/j.apcatb.2013.06.026>
- Yang, Y., Kang, L., și Li, H. (2019). Enhancement of photocatalytic hydrogen production of BiFeO₃ by Gd³⁺ doping. *Ceramics International*, 45(6), 8017-8022. <https://doi.org/10.1016/j.ceramint.2018.12.150>
- Yang, Y., Niu, W., Dang, L., Mao, Y., Wu, J. S., și Xu, K. D. (2022). Recent Progress in Doped g-C₃N₄ Photocatalyst for Solar Water Splitting: A Review. *Front. Chem.*, 10, 955065. <https://doi.org/10.3389/fchem.2022.955065>
- Yang, Y., și Bian, Z. (2021). Oxygen doping through oxidation causes the main active substance in g-C₃N₄ photocatalysis to change from holes to singlet oxygen. *Science of The Total Environment*, 753, 141908. <https://doi.org/10.1016/j.scitotenv.2020.141908>
- Yang, Y., Yang, F., Li, Z., Zhang, N., și Hao, S. (2021). Z-scheme g-C₃N₄/C/S-g-C₃N₄ heterostructural nanotube with enhanced porous structure and visible light driven photocatalysis. *Microporous and Mesoporous Materials*, 314, 110891. <https://doi.org/10.1016/j.micromeso.2021.110891>
- Yao, S., He, J., Gao, F., Wang, H., Lin, J., Bai, Y., Fang, J., Zhu, F., Huang, F., și Wang, M.. (2023). Highly Selective Semiconductor Photocatalysis for CO₂ reduction. *J. Mater. Chem. A*, 11(24), 12539–12558. <https://doi.org/10.1039/d2ta09234d>
- Yentekakis, I. V., și Dong, F. (2020). Grand Challenges for Catalytic Remediation in Environmental and Energy Applications Toward a Cleaner and Sustainable Future. *Frontiers in Environmental Chemistry*, 1, 554309. <https://doi.org/10.3389/fenvc.2020.00005>
- Yi, J., Chen, Y., Lai, D., Lv, B., Wu, X., și Jing, G. (2024). Spherical Bi₂O₃/ATO catalyst with N₂ pre-reduction electrocatalytic reduction of CO₂ to formic acid. *Journal of Environmental Sciences*, 140, 331-340. <https://doi.org/10.1016/j.jes.2023.11.009>
- Yu, B., Meng, F., Khan, M. W., Qin, R., și Liu, X. (2019). Facile synthesis of AgNPs modified TiO₂@g-C₃N₄ heterojunction composites with enhanced photocatalytic activity under simulated sunlight. *Materials Research Bulletin*, 121, 110641. <https://doi.org/10.1016/j.materresbull.2019.110641>

- Yu, H., Ma, Q., Gao, C., Liao, S., Zhang, Y., Quan, H., și Zhai, R. (2023). Petal-like g-C₃N₄ Enhances the Photocatalyst Removal of Hexavalent Chromium. *Catalysts*, 13(3), 641. <https://doi.org/10.3390/catal13030641>
- Yue, X., Yi, S., Wang, R., Zhang, Z., și Qiu, S. (2016). Cadmium Sulfide and Nickel Synergetic Co-catalysts Supported on Graphitic Carbon Nitride for Visible-Light-Driven Photocatalytic Hydrogen Evolution. *Scientific Reports*, 6(1), 1-9. <https://doi.org/10.1038/srep22268>
- Zahra, T., Gassoumi, A., Gouadria, S., Abdullah, M., Alharbi, F., Aman, S., și Farid, H. M. T. (2024). Facile fabrication of BiFeO₃/g-C₃N₄ nanohybrid as efficient electrode materials for supercapacitor application. *Diamond and Related Materials*, 144, 110927. <https://doi.org/10.1016/j.diamond.2024.110927>
- Zaman, S., Khan, I., Zhang, F., Khan, S., Khan, A., Khan, S., Sadiq, S., Rafiq, M., Saghir, S., și Sun, X. (2023). Synthesis of mediator free hollow BiFeO₃ spheres/porous g-C₃N₄ Z-scheme photocatalysts for CO₂ conversion and Alizarin Red S degradation. *Materials Science in Semiconductor Processing*, 162, 107534. <https://doi.org/10.1016/j.mssp.2023.107534>
- Zelić, I., Povijač, K., Gilja, V., Tomašić, V., & Gomzi, Z. (2022). Photocatalytic degradation of acetamiprid in a rotating photoreactor - Determination of reactive species. *Catalysis Communications*, 169, 106474. <https://doi.org/10.1016/j.catcom.2022.106474>
- Zhang, C., Huang, Y., Zhao, B., Yu, Y., Yu, Y., și Zhang, B. (2022). CuOx clusters decorated TiO₂ for photocatalytic oxidation of nitrogen in air into nitric oxide under ambient conditions. *Journal of Catalysis*, 409, 70-77. <https://doi.org/10.1016/j.jcat.2022.03.017>
- Zhang, F., Li, Z., și Zhao, F. (2023). Editorial: Advanced micro/nano materials for electrochemical energy conversion and application. *Frontiers in Energy Research*, 10, 1047160. <https://doi.org/10.3389/fenrg.2022.1047160>
- Zhang, H., Liu, J., Xu, T., Ji, W., și Zong, X. (2023). Recent Advances on Small Band Gap Semiconductor Materials (≤ 2.1 eV) for Solar Water Splitting. *Catalysts*, 13(4), 728. <https://doi.org/10.3390/catal13040728>
- Zhang, H., Yu, F., Wang, Y., Yin, L., Li, J., Huang, J., Kong, X., și Feng, Q. (2021). Building {0001} and {101⁻1} facet heterojunctions on hexagonal pyramid CdS single crystals with high photoactivity and photostability for hydrogen evolution. *Chemical Engineering Journal*, 426, 130777. <https://doi.org/10.1016/j.cej.2021.130777>
- Zhang, J., Li, J., He, J., He, Y., Wang, Z., Li, S., Chai, Z., și Lan, K. (2024). Conversion of Z-Scheme to type-II in dual-defective V₂O₅/C₃N₄ heterostructure for durable hydrogen evolution. *Next Materials*, 4, 100105. <https://doi.org/10.1016/j.nxmate.2024.100105>
- Zhang, J., Lv, J., Dai, K., Liang, C., și Liu, Q. (2018). One-step growth of nanosheet-assembled BiOCl/BiOBr microspheres for highly efficient visible photocatalytic performance. *Applied Surface Science*, 430, 639-646. <https://doi.org/10.1016/j.apsusc.2017.02.101>
- Zhang, J., Zhao, Y., Qi, K., și Liu, S. (2024). CuInS₂ quantum-dot-modified g-C₃N₄ S-scheme heterojunction photocatalyst for hydrogen production and tetracycline degradation. *Journal of Materials Science și Technology*, 172, 145-155. <https://doi.org/10.1016/j.jmst.2023.06.042>
- Zhang, J., Zheng, Y., Zheng, H., Jing, T., Zhao, Y., și Tian, J.. (2022). Porous Oxygen-Doped g-C₃N₄ with the Different Precursors for Excellent Photocatalytic Activities under Visible Light. *Materials* 15(4), 1391. <https://doi.org/10.3390/ma15041391>
- Zhang, K., Chen, X., Tong, Y., Zhang, H., Zeng, H., Ling, J., și Zhang, M. (2024). Quantum capacitance induced by electron orbital reconstruction of g-C₃N₄/Co₃O₄ heterojunction: Improving electrochemical performance. *Journal of Colloid and Interface Science*, 663, 478-490. <https://doi.org/10.1016/j.jcis.2024.02.174>
- Zhang, K., Sun, X., Wang, H., Ma, Y., Huang, H., și Ma, T. (2024). Interfacial engineering of Bi₂MoO₆-BaTiO₃ Type-I heterojunction promotes cocatalyst-free piezocatalytic H₂ production. *Nano Energy*, 121, 109206. <https://doi.org/10.1016/j.nanoen.2023.109206>
- Zhang, L., Wu, J., Xu, H., Li, H., Liu, X., Song, Y., și Cui, Y. (2024). Photocatalytic hydrogen evolution and tetracycline degradation over a novel Z-scheme Ni-MOF/g-C₃N₄ heterojunction. *Colloids and Surfaces A: Physicochemical and Engineering Aspects*, 686, 133297. <https://doi.org/10.1016/j.colsurfa.2024.133297>
- Zhang, L., Zhang, R., Zhang, S., și Sun, P. (2024). Synthesis of potassium-modified g-C₃N₄/LaFeO₃ nanocomposites as efficient visible-light photocatalytic for indole degradation. *Optical Materials*, 150, 115231. <https://doi.org/10.1016/j.optmat.2024.115231>
- Zhang, L., Zhou, X., Liu, S., Liu, H., Zhu, S., Mao, Y., Yang, Q., Zhu, S., Zhang, C., Wang, T., și Wang, C. (2023). Two birds, one stone: Rational design of Bi-MOF/g-C₃N₄ photocatalyst for effective nitrogen fixation and pollutants degradation. *Journal of Cleaner Production*, 425, 138912. <https://doi.org/10.1016/j.jclepro.2023.138912>

- Zhang, M., Xing, M., Dong, B., Zhang, H., Sun, X., Li, Q., Lu, X., Mo, J., și Zhu, H.. (2023). Thermal Polymerisation Synthesis of g-C₃N₄ for Photocatalytic Degradation of Rhodamine B Dye under Natural Sunlight. *Water*, 15, 2903. <https://doi.org/https://doi.org/10.3390/w15162903>
- Zhang, R., Jian, W., Yang, Z.-D., și Bai, F.-Q.. (2020). Insights into the photocatalytic mechanism of the C₄N/MoS₂ heterostructure: A first-principle study. *Chin. Chem. Lett.*, 31(9), 2319–2324. <https://doi.org/10.1016/J.CCLET.2020.04.055>
- Zhang, S., Li, J., Zeng, M., Zhao, G., Xu, J., Hu, W., și Wang, X.. (2013). In situ synthesis of water-soluble magnetic graphitic carbon nitride photocatalyst and its synergistic catalytic performance. *ACS Appl. Mater. Interfaces*, 5(23), 12735–12743. <https://doi.org/10.1021/AM404123Z>
- Zhang, W., Ma, Y., Zhu, X., Wang, L., Ye, J., Hou, X., Liu, S., Lu, M., Tian, H., și Hu, X. (2022). In situ synthesis of α-Fe₂O₃/LaFeO₃ modified with g-C₃N₄ and Ti₃C₂ for construction of multiple Z-scheme/Schottky heterojunctions as an efficient visible-light photocatalyst for Cr (VI) reduction and organic pollutants removal. *Journal of Alloys and Compounds*, 913, 165217. <https://doi.org/10.1016/j.jallcom.2022.165217>
- Zhang, Y., Fang, M., Qian, X., Zhang, L., Gu, P., Liu, Y., și Yang, H.. (2021). Isotype junctioned nanotubes and nanosheets of g-C₃N₄ for enhanced visible-light driven photocatalytic H₂O₂ production. *Journal of Materials Research*, 36(17), 3495–3505. <https://doi.org/10.1557/S43578-021-00392-2>
- Zhang, Y., Liu, J., Wu, G., și Chen, W.. (2012). Porous graphitic carbon nitride synthesized via direct polymerization of urea for efficient sunlight-driven photocatalytic hydrogen production. *Nanoscale*, 4(17), 5300–5303. <https://doi.org/10.1039/C2NR30948C>
- Zhang, Y., Wan, J., Zhang, C., și Cao, X. (2022). MoS₂ and Fe₂O₃ co-modify g-C₃N₄ to improve the performance of photocatalytic hydrogen production. *Scientific Reports*, 12(1), 1–12. <https://doi.org/10.1038/s41598-022-07126-2>
- Zhang, Z., Zhang, M., Li, F., Tian, J., și Yu, C. (2021). Fabrication, characterization of O doped g-C₃N₄ materials via a green ascorbic acid-assisted calcination route. *Solid State Sciences*, 115, 106605. <https://doi.org/10.1016/j.solidstatesciences.2021.106605>
- Zhao, L., Zhang, L., Lin, H., Nong, Q., Cui, M., Wu, Y., și He, Y. (2015). Fabrication and characterization of hollow CdMoO₄ coupled g-C₃N₄ heterojunction with enhanced photocatalytic activity. *Journal of Hazardous Materials*, 299, 333–342. <https://doi.org/10.1016/j.jhazmat.2015.06.036>
- Zhao, W., Li, Y., Zhao, P., Zhang, L., Dai, B., Xu, J., Huang, H., He, Y., și Leung, D. Y. (2021). Novel Z-scheme Ag-C₃N₄/SnS₂ plasmonic heterojunction photocatalyst for degradation of tetracycline and H₂ production. *Chemical Engineering Journal*, 405, 126555. <https://doi.org/10.1016/j.cej.2020.126555>
- Zhao, W., Xie, L., Zhang, M., Ai, Z., Xi, H., Li, Y., Shi, Q., și Chen, J. (2016). Enhanced photocatalytic activity of all-solid-state g-C₃N₄/Au/P25 Z-scheme system for visible-light-driven H₂ evolution. *International Journal of Hydrogen Energy*, 41(15), 6277–6287. <https://doi.org/10.1016/j.ijhydene.2016.02.148>
- Zhao, W., Zhang, J., Zhu, F., Mu, F., Zhang, L., Dai, B., Xu, J., Zhu, A., Sun, C., și Leung, D. Y. (2019). Study the photocatalytic mechanism of the novel Ag/p-Ag₂O/n-BiVO₄ plasmonic photocatalyst for the simultaneous removal of BPA and chromium(VI). *Chemical Engineering Journal*, 361, 1352–1362. <https://doi.org/10.1016/j.cej.2018.12.181>
- Zhao, X., Guan, J., Li, J., Li, X., Wang, H., Huo, P., și Yan, Y. (2021). CeO₂/3D g-C₃N₄ heterojunction deposited with Pt cocatalyst for enhanced photocatalytic CO₂ reduction. *Applied Surface Science*, 537, 147891. <https://doi.org/10.1016/j.apsusc.2020.147891>
- Zhao, X., Zhang, Y., Li, F., Wang, Y., Pan, W., și Leung, D. Y. (2021). Salt-air template synthesis of Na and O doped porous graphitic carbon nitride nanorods with exceptional photocatalytic H₂ evolution activity. *Carbon*, 179, 42–52. <https://doi.org/10.1016/j.carbon.2021.04.030>
- Zhao, Z., Wang, C., Ping, Y., Fan, C., Wang, S., Zhang, H., și Wang, D. (2024). Ru@MOF@H-C₃N₄ heterojunction for visible light photocatalytic nitrogen fixation. *Journal of Photochemistry and Photobiology A: Chemistry*, 447, 115255. <https://doi.org/10.1016/j.jphotochem.2023.115255>
- Zheng, X., Cai, C., Lu, S., Xu, M., Chen, W., și Yang, F. (2024). Construction of novel dual Z-scheme g-C₃N₄/Ag₂MoO₄/AgBr heterojunction for efficient degradations of RhB dye and tetracycline hydrochloride under visible-light. *Inorganic Chemistry Communications*, 162, 112227. <https://doi.org/10.1016/j.inoche.2024.112227>
- Zheng, Y., Dong, J., Huang, C., Xia, L., Wu, Q., Xu, Q., și Yao, W. (2019). Co-doped Mo-Mo₂C cocatalyst for enhanced g-C₃N₄ photocatalytic H₂ evolution. *Applied Catalysis B: Environmental*, 260, 118220. <https://doi.org/10.1016/j.apcatb.2019.118220>
- Zhong, H., Yang, C., Fan, L., Fu, Z., Yang, X., Wang, X., și Wang, R.. (2019). Dyadic promotion of photocatalytic aerobic oxidation via the Mott–Schottky effect enabled by nitrogen-doped carbon from imidazolium-based ionic polymers. *RSC Energy și Environmental Science*, 12(1), 418. <https://doi.org/10.1039/C8EE02727G>

- Zhong, W., Wang, D., Jiang, C., Lu, X., Zhang, L., și Cheng, X. (2020). Study on Visible Light Catalysis of Graphite Carbon Nitride-Silica Composite Material and Its Surface Treatment of Cement. *Crystals*, 10(6), 490. <https://doi.org/10.3390/crust10060490>
- Zhou, D., Chen, Z., Yang, Q., Shen, C., Tang, G., Zhao, S., și Dong, X. (2016). Facile Construction of g-C₃N₄Nanosheets/TiO₂Nanotube Arrays as Z-Scheme Photocatalyst with Enhanced Visible-Light Performance. *Chem. Cat Chem*, 8(19), 3064–3073. <https://doi.org/10.1002/cctc.201600828>
- Zhou, L., Hu, K., Dong, T., Wang, Q., Huang, H., Lu, C., Kou, J., și Xu, Z. (2021). Carbon ring and molecular scaffold co-doped g-C₃N₄ heterostructural nanosheets for highly efficient hydrogen evolution. *Materials Research Bulletin*, 144, 111482. <https://doi.org/10.1016/j.materresbull.2021.111482>
- Zhou, Y., Lv, W., Zhu, B., Tong, F., Pan, J., Jirong, B., Zhou, Q., & Qin, H.. (2019). Template-Free One-Step Synthesis of g-C₃N₄ Nanosheets with Simultaneous Porous Network and S-Doping for Remarkable Visible-Light-Driven Hydrogen Evolution. 7(6), 5801–5807. <https://doi.org/10.1021/ACSSUSCHEMENG.8B05374>
- Zhou, Y., Zhang, L., Huang, W., Kong, Q., Fan, X., Wang, M., și Shi, J. (2016). N-doped graphitic carbon-incorporated g-C₃N₄ for remarkably enhanced photocatalytic H₂ evolution under visible light. *Carbon*, 99, 111-117. <https://doi.org/10.1016/j.carbon.2015.12.008>
- Zhu, B., Xia, P., Li, Y., Ho, W., și Yu, J. (2016). Fabrication and photocatalytic activity enhanced mechanism of direct Z-scheme g-C₃N₄/Ag₂WO₄ photocatalyst. *Applied Surface Science*, 391, 175-183. <https://doi.org/10.1016/j.apsusc.2016.07.104>
- Zhu, B., Zhou, J., Ni, L., și Diao, G. (2021). Synthesis and characterization of P-doped g-C₃N₄ nanosheet hybridized ZnS nanospheres with enhanced visible-light photocatalytic activity. *Journal of Solid State Chemistry*, 305, 122703. <https://doi.org/10.1016/j.jssc.2021.122703>
- Zhu, D., și Zhou, Q. (2021). Nitrogen doped g-C₃N₄ with the extremely narrow band gap for excellent photocatalytic activities under visible light. *Applied Catalysis B: Environmental*, 281, 119474. <https://doi.org/10.1016/j.apcatb.2020.119474>
- Zhu, J., He, J., Hu, L., și Da, L. (2019). All-solid-state Z-scheme WO₃/HTiNbO₅-NS heterojunctions with enhanced photocatalytic performance. *Journal of Solid State Chemistry*, 276, 104-113. <https://doi.org/10.1016/j.jssc.2019.04.026>
- Zhu, X., Han, S., Feng, W., Kong, Q., Zhihong, D., Wang, C., Lei, J., & Yi, Q.. (2018). The effect of heat treatment on the anatase–rutile phase transformation and photocatalytic activity of Sn-doped TiO₂ nanomaterials. *RSC Adv.*, 8(26), 14249–14257. <https://doi.org/10.1039/C8RA00766G>
- Zhu, Y., Wan, T., Wen, X., Chu, D., și Jiang, Y. (2019). Tunable Type I and II heterojunction of CoOx nanoparticles confined in g-C₃N₄ nanotubes for photocatalytic hydrogen production. *Applied Catalysis B: Environmental*, 244, 814-822. <https://doi.org/10.1016/j.apcatb.2018.12.015>
- Zhu, Y., Wang, T., Xu, T., Li, Y., și Wang, C. (2019). Size effect of Pt co-catalyst on photocatalytic efficiency of g-C₃N₄ for hydrogen evolution. *Applied Surface Science*, 464, 36-42. <https://doi.org/10.1016/j.apsusc.2018.09.061>
- Zilli-Tomita, H., Saucedo-Lucero, J., Suárez-Toriello, V., Rangel-Mendez, J., Avalos-Borja, M., și Arcibar-Orozco, J. (2024). Carbon-supported g-C₃N₄ photocatalyst for the treatment of vapor isobutanol as odorous VOC. *Sustainable Chemistry for the Environment*, 6, 100084. <https://doi.org/10.1016/j.scenv.2024.100084>